

V TOMTO SEŠITĚ

Náš interview	441
Perspektivy druhého TV programu v ČSSR	442
Přehled schematických značek	443
Ctenář se ptájí	445
Jak na to	445
Nové součástky	446
Stavebnice mladého radioamatéra	447
Dětský přijímač Magnet	448
Tranzistorový osciloskop	449
Číslicová výbojka Tesla ZM 1020	454
Anténa Triple-S	456
Obsah ročníku 1969	459
Obvody s tranzistory UJT	465
Superhet T-5 Viro	468
Autohlídka	469
Konvertor pro 145 MHz (dokončení)	472
Polotranzistorový transceiver	474
Soutěže a závody	477
Naše předpověď	478
DX	479
Cetili jsme	479
Nezapomeňte, že	480
Inzerce	480

Na str. 457 a 458 jako vyjímatelná příloha „Programovaný kurz základů radioelektroniky“.

Na str. 463 a 464 jako vyjímatelná příloha „Malý katalog tranzistorů“.

AMATÉRSKÉ RADIO

Vydává vydavatelství MAGNET, Praha 1, Vladislavova 26, telefon 234355-7. Šéfredaktor ing. František Smolík, zástupce Lubomír Březina. Redakční rada: K. Bartoš, ing. J. Čermák, K. Dohnátk, ing. L. Hloušek, A. Hofhans, Z. Hradíský, ing. J. T. Hyán, K. Krbec, K. Novák, ing. O. Petráček, dr. J. Petránek, ing. J. Plzák, M. Procházka, ing. K. Pytner, ing. J. Vacák, J. Ženíšek. Redakce Praha 2, Lublaňská 57, tel. 223630. Ročně vyjde 12 čísel. Cena výtisku 5 Kčs, pololetní předplatné 30 Kčs. Rozšířuje PNS, v jednotkách ozbrojených sil vydavatelství MAGNET, administrace Praha 1, Vladislavova 26. Objednávky přijímá každá pošta i doručovatel. Dohledací pošta Praha 07. Objednávky do zahraničí využívají PNS, vývoz tisku, Jindříška 14, Praha 1. Tiskne Poligrafia 1, n. p., Praha. Inzerci přijímá vydavatelství MAGNET, Vladislavova 26, Praha 1, tel. 234355-7, linka 294. Za původnost přispěvku ručí autor. Redakce rukopis vrátí, bude-li vyzádán a bude-li připojená frankovaná obálka se zpětnou adresou.

Toto číslo vyšlo 6. prosince 1969.

© Vydavatelství MAGNET, Praha

náš interview A R

s ing. Zdeňkem Tučkem, pracovníkem Výzkumného ústavu sdělovací techniky A. S. Popova, o schematických značkách, zvyklostech a normách při kreslení schémát ze slaboproudé techniky.

K čemu vlastně slouží schematické značky a proč se tolik dbá na jejich jednotnou úpravu a jednotný tvar?

Schematické značky jsou základním vyjadřovacím prostředkem v elektrotechnice. Umožňují, aby technik mohl své myšlenky co nejjednodušší „dát na papír“. Je proto samozřejmé, že různé funkce částí elektrického obvodu je třeba vyjadřovat ustáleným způsobem, jinak by si technici navzájem nerozuměli. Takové případu jsou v historii tohoto oboru známý. Jeden klasický případ: původní schematickou značkou odporu byla klikačka čára, která znázorňovala vinutí drátového odporu. Značka tohoto typu se po dlouhá léta udržovala např. v amerických normách, z nichž přešla i do britských norem. Potíž byla v tom, že v německé elektrotechnice byla tato klikačka čára zvolena jako symbol vinutí – vznikl typický případ, kdy jeden myslí vinutí, druhý odpór; nebyla-li symbolika předem známa, nerozuměli si. Podobně tomu bylo i se schematickou značkou cívky. Aby se předešlo podobným případům, musela se celé véci chropit normalizace, a to normalizace mezinárodní.

Jak se jmenuje orgán, který se zabývá normalizací schematických značek v mezinárodním měřítku? Jsou jeho rozhodnutí závazná pro všechny země na světě?

Schematické značky se řeší v Mezinárodní elektrotechnické komisi (I.E.C.), v její pracovní komisi č. 3. Také Československo je v komisi zaštupeno. Otázky normalizace schematických značek se plně sledují jak na úrovni průmyslu, tak i na úrovni Úřadu pro normalizaci a měření (UNM). Výsledky se vydávají v podnikových nebo státních normách. Podniková normalizace státní normy předbíhá, neboť je třeba, aby ve státní normě byla zakotvena značka, která je nejen mezinárodně doporučena, ale i ověřena v praxi. Mezinárodní elektrotechnická komise doporučuje používání značek, které se v její komisi projednají – její usnesení však nejsou závazná, i když je žádoucí, aby je respektovalo co nejvíce států.

Jaký je vztah mezi státní a podnikovou normou? Nejsou dvě normy v této oblasti nezádoucí? Která z norem je pak závazná?

Jak jsem již řekl, předbíhá podniková normalizace normalizaci státní. Tak např. hned po válce, když vznikl n. p. Tesla, začalo se pracovat na základních schematických značkách pro „slaboproud“; jako výsledek této práce vyšla později podniková norma Tesla, která dala do pořádku základní obrázkové písmo pro schémata. Ve Výzkumném ústavu telekomunikací pak vznikla obdobná norma schematických značek pro telekomunikace, propracovaná zejména



z hlediska potřeb telefonářské techniky. Teprve mužem později se začalo pracovat na normě vyšší úrovně – státní. Přitom se do státní normy přejímaly zpočátku ty nejjednodušší a nejzákladnější značky z obecné elektrotechniky a v další etapě pak i značky ze slaboproudé elektrotechniky. Vznikla tak norma ČSN 34 5505 z roku 1960, která byla schválena v roce 1961. Tato norma byla v pozdějších letech doplněna modernizačním dodatkem. Norma je doporučená, přitom je však v jejím úvodu klauzule vyzývající organizace, které nemohou některé z normalizovaných značek z vážných důvodů používat, aby na výrobu novou značkou a důvod k její změně oznámili Úřadu pro normalizaci a měření, aby se při modernizaci normy mohlo přihlížet i k potřebám jednotlivých závodů.

Stručně lze říci, že podniková norma nemá nahrazovat jakoukoli jinou normu, tedy ani státní, ale že ji má vhodným způsobem doplňovat a zpřesňovat pro jednotlivá použití.

Vratme se ještě k mezinárodním doporučením. S tím, co jste dosud uvedli o práci mezinárodní komise, nesouhlasíš současný stav v kreslení především nových značek polovodičových prvků – ty si kreslí prakticky každý po svém.

Tento stav je všeobecně znám. Nebudu se touto tematikou podrobně zabývat, neboť – i když by snad bylo zájmem seznámit se se všemi okolnostmi kolem kreslení a normalizování schematických značek – nesouvisí to přímo s tématem našeho rozhovoru. Velmi stručně lze říci, že začátek snahy po důsledné mezinárodní normalizaci spadá vlastně do doby, kdy se již objevily tranzistory – v té době se teprve začínalo jednat o kreslení základních značek pro elektrotechniku – odporu, kondenzátorů, cívek apod. V současné době však skončily i práce na mezinárodních doporučeních pro kreslení polovodičové symboliky, takže je vidět, že za velmi krátkou dobu se udělal i na tomto poli óbrovský kus práce. (Pozn. red. – Částečně se to projevuje i v kreslení schematických značek, jak je budeme používat od č. 1 příštího ročníku AR).

Jaké jsou nejmarkantnější změny v kreslení schematických značek podle nových doporučení Mezinárodní elektrotechnické komise?

Nejvýraznější je změna v kreslení polovodičových diod. Mezinárodní doporučení navrhuje používat symbol jen z čar, bez dosud obvyklého vyčerňování trojúhelníku. Obecně by se dalo říci, že změny, které přicházejí po mezinárodní linii, kresbu zjednodušují. Vede to současně ke zmenšení pracnosti při kreslení schémat. Naše domácí normy se však rozcházejí s mezinárodními doporučeními v tloušťce používaných čar. Mezinárodní doporučení vychází z předpokladu, že celé schéma se má kreslit čarami stejně tloušťky – u nás však budeme i nadále používat ke zlepšení přehlednosti schémat a ke zvýraznění některých součástek čary nestejně tloušťky (např. pro elektrody kondenzátoru jsou a budou čary tlustší než např. spojovací čary apod.). Vycházíme totiž z toho, že schéma se kreslí jednou, ale čte se třeba tisíckrát, takže všechno, co přispívá k jeho přehlednosti, je zcela na místě a nemělo by se v tomto ohledu šetřit. Odstupňování tloušťky čar kromě toho usnadňuje i tzv. globální čtení schématu a přispívá tím i k snadnějšímu a především rychlejšímu pochopení činnosti nakresleného obvodu.

Co byste mohli říci ke kreslení nových prvků, např. integrovaných obvodů?

V současné době jsou především dvě oblasti, v nichž je třeba zavést „pořádek“ v kreslení značek – je to především celá oblast počítací techniky, logické funkce a potom i např. integrovaná elektronika, kde se dodnes používají nejrůznější symboly.

Kromě toho by bylo třeba zpracovat a navzájem skloubit mnoho připomínek z praxe, které se týkají otázky, jak co nejvhodněji skloubit požadavky na vlastní symboliku (která má převážně vyjadřovat funkci součástky) a vyjádření technologického provedení té které součástky. K tomuto problému je třeba podotknout, že ve všech případech, kdy není nutné zdůraznit určité konkrétní konstrukční uspořádání, volíme při kreslení vždycky všeobecnou značku součástky.

Jsou v tomto oboru ještě nějaké další novinky?

Ano, dostali jsme návrh na nové mezinárodní značení hodnot součástek ve schématech. Protože se návrh dost značně liší od dosud používané praxe, neuvažujeme zatím o jeho důsledném zavedení ani do naší technické literatury, ani do nějakého závazného ustanovení. Nově vydaná norma však uvádí vedle starého značení i toto nové, neboť dojde-li k rozšíření tohoto nového způsobu značení ve světě, existuje dohoda, že i nás podnik na výrobu součástek (Tesla Lanškroun) bude nové typy součástek opatřovat novým značením. Technickou verejnost bychom pak podrobné a včas s novým značením hodnot součástek seznámili. V žádném případě se však pro příští rok neuvažuje o zavedení této nové symboliky v našich odborných časopisech. (Jako technickou informaci přineseme podrobnější výklad nového značení během prvního pololetí příštího roku. – Pozn. red.).

Také se začíná pracovat na jednotné písmenové symbolice pro popis schémat, která by se dala používat v celosvětovém měřítku – ovšem v této otázce k jednotnosti asi ještě dlouho nedojde, neboť je-li např. elektronka v naší literatuře označována E (začáteční písmeno.

název), jsou např. v anglosaské literatuře běžné dva názvy, tube a valve, takže je třeba volit mezi písmenem T a V. Jednotlivé státy však nejsou zatím ochotny vzdát se svých zavedených zkrátek. Jen pro zajímavost – v návrhu jednotného světového značení se připouští pro součástky až třípísmenový znak, z něhož první písmeno by mělo celosvětovou platnost a další by mohla brát v úvahu dosavadní národní značení. Příkladem by mohlo být třeba značení elektronky; celosvětový znak pro elek-

tronku by byl např. V a u nás bychom mohli za první, doporučený celosvětový znak dát další písmeno podle našich dosavadních zvyklostí, tj. E. Celý znak by pak byl VE. Značení pro tranzistor by pak bylo např. VT. Toto značení je však zatím hudbou budoucnosti.

Děkujeme za interview. K jeho doplnění uveřejňujeme na str. 443 a 444 základní schematické značky, jak je budeme používat v našem časopise od prvního čísla příštího roku (s výjimkou několika článků, které byly připraveny do tisku již dříve).

Perspektivy druhého televizního programu v ČSSR

Správa radiokomunikací v Praze uspořádala ve spolupráci s Domem techniky ČSVTS Praha a Výzkumným ústavem pošt a telekomunikací seminář, na němž přes 200 účastníků z řad vedoucích pracovníků průmyslu, spojů a dalších institucí hovořilo o hlavních problémech druhého televizního programu.

Ing. Vl. Caha, známý odborník v oboru antén, ukázal v úvodní přednášce nejen principy návrhu a způsoby konstrukce antenních prvků a soustav pro pásmo 470 až 890 MHz, ale upozornil i na zajímavé problémy statického a dynamického namáhání stožáru a věží vysílačů. Nemá-li dojít ke zhoršení příjmu v okrajových oblastech, nesmí výkyv stožáru ani za vichřice překročit 0,3 stupně. Některé typy věží vykazují při větru určité rychlosti nebezpečné vibrace, které je třeba tlumit několikanovými hmotami zavěšenými mezi hydraulickými tlumiči.

Ing. Ant. Altman, spoluautor návrhu čs. sítě vysílačů pro druhý program, vysvětlil hlavní zákonitosti řízení vln ve IV. a V. pásmu a metodiku návrhu sítě vysílačů, při níž se u každého vysílače počítá poměr užitečného signálu k rušivým signálům ve dvanácti směrech a respektuje se rušení pocházející od vysílačů na vlastním kanále, na kanálech sousedních a na kanále zrcadlovém. Výpočet se prováděl na samočinném počítací. Výsledkem je projektovaná síť 59 základních vysílačů pro ČSSR s rádem dalších vysílačů doplňkových.

Ing. Ivan Dérer, autor návrhu čs. sítě radioreléových spojů, vysvětlil zásady projektování sítě pro přenosy televizních signálů pro účely distribuční, příspěvkové a pro účely mezinárodních přenosů a tranzitů. Na základě úvahy o potřebné spolehlivosti sítě odvodil jednak požadavky na jednotlivá zařízení, jednak optimální usporádání tras s možnostmi vzájemného zálohování.

Ing. Pavel Gregora, známý odborník z provozu vysílačů ze Správy radiokomunikací, hovořil o problémech řízení, kontroly provozu, automatizace a dálkového ovládání vysílačů II. programu. Dospěl k velmi zajímavým závěrům o optimální míře automatizace, podmíněné technickou a technologickou úrovni výrobku a podmínkami provozu.

V diskusi, která následovala po jednotlivých přednáškách i na závěr celého semináře, se ovšem hovořilo nejen o obecné vědecké problematice, ale i o konkrétních možnostech a termínech výstavby. I když se zpočátku ozývaly kritické hlasy na adresu Tesly, spojů a často i na adresu stavebních podniků, je potěšitelné, že diskuse nesklozula do mezirezortních polemik. Většina účastníků si zřejmě byla vědoma, že potíže a nedostatky ve všech zúčastněných organizacích mají do značné míry společné

příčiny. Záleží především na konsolidaci celého našeho státního hospodářství, budeme-li schopni dokončit výstavbu sítě druhého programu již do roku 1975 nebo až do r. 1980. První vysílač této sítě budou ovšem postaveny v příštím roce a první vysílač – pražský – bude uveden do provozu 1. 5. 70 na kmotku 495,25 MHz (obraz). Radioreléové spojce oblastního typu v polovodičovém provedení, jejichž rychlý vývoj je nad naše sily, budeme vyrábět v licenci. Všechny zúčastněné organizace mají zájem urychlit výstavbu druhého televizního programu, neboť jsou si vědomy, že tento program bude mít nejen velký význam kulturní a hospodářský, ale že také bude tvorit nutný předpoklad k zavedení barevné televize. Ing. J. Vackář, CSc

Obraz se pohybuje

S tímto označením vady byl dán do opravy televizní přijímač zahraniční výroby. Obvyklá výměna elektronky PCL85 na snímkovém rozkladu neměla úspěch, stejně jako přezkoušení všech kondenzátorů, přicházejících v úvahu. Protože obrazová synchronizace byla velmi labilní, přezkoušel opravář oddělovací stupeň synchronizačních pulsů jak stejnosměrným měřením, tak pomocí osciloskopu. Integrovaný synchronizační impuls měl již na vstupu poměrně malou výšku. Proto jej opravář sledoval až k řidící mřížce koncového stupně obrazového zesilovače, kde byl velmi malý a měl zkreslený průběh.

Otevření odstíněného pouzdra demodulátoru ukázalo konečně chybu. Odpór 220 Ω, přes nějž se dostávalo kladné stejnosměrné napětí na demodulační diodu OA160, měl studený spoj. Pokud chybělo napětí, měnil se pracovní bod diody tak, že synchronizační impuls obrazu byl silně ořezán a dobrá synchronizace nebyla vůbec možná. Při teplotních změnách se měnil přechodový odpór špatného spoje, takže obrazová synchronizace občas vypadala. Podobně synchronizace vypadala v případě poklesu siťového napětí. Sž

Podle Funkschau 5/1969

PŘIPRAVUJEME PRO VÁS

Ctyřkanálová proporcionalní souprava RC

Přehled schematických značek

Náš dnešní interview s ing. Zd. Tučkem dal také podnět k tomu, abychom ujednotili kreslení schémat v našem časopise a přizpůsobili schematické značky platným normám. Doplňujeme proto interview přehledem základních schematických značek, jak je budeme používat v AR i RK od 1. ledna 1970 (s výjimkou některých článků, které byly připraveny do tisku již dříve). V některých případech do konce trochu předbíháme dobu (např. při kreslení diod) a zavádíme značky, které sice nejsou ještě normalizovány, ale budou pojaty do nově připravované státní normy. Současně prosíme všechny naše spolupracovníky, aby i oni ve svých příspěvcích vycházeli z tohoto přehledu. V příštím čísle uveřejníme přehled nejpoužívanějších písmenových symbolů, který bude rovněž vycházet z nejnovějších norm a zvyklostí.

VŠEOBECNÉ ZNAČKY

1. stejnosměrný proud
2. střídavý proud
3. střídavý proud tónového kmitočtu
4. vf proud
5. střídavý a stejnosměrný proud
6. uzemnění
7. spojení s kostrou nebo kovovým krytem
8. kovová konstrukce spojená se zemí
9. nafiditelnost, nastavitelnost nástrojem
10. měnitelnost ovládacím prvkem
11. vnitřní nelineární závislost na veličině V (změna souhlasná s veličinou $V = +V$, změna nesouhlasná $= -V$)

SPOJOVÁNÍ, OHRAŇIČENÍ, STÍNĚNÍ, VODÍČE, VEDEŇ

12. elektrické spojení
13. nenelektrické spojení (mechanické spřážení)
14. ohraňení souboru prvků nebo přístrojů
15. stínění
16. stínici kryt
17. stínici kryt spojený s kostrou
- 18a, b. stíněný vodič
19. souose vedení
20. souběžné vedení (dvoulinka)
- 21a, b, c. stíněná dvoulinka
22. vodič spojení nerozribitelné
23. vodič spojení rozpojitelné
24. svorka

PASIVNÍ SOUČÁSTKY

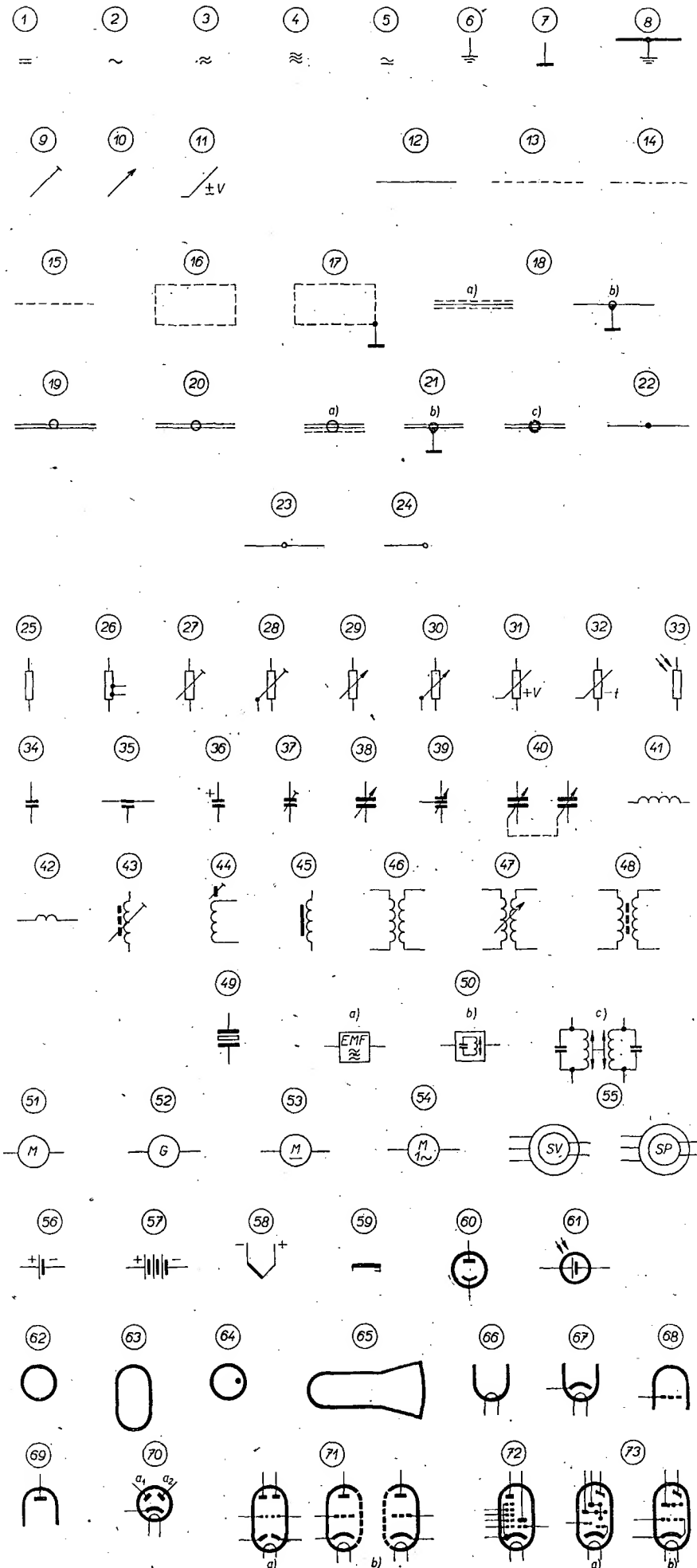
25. odpor, impedance (všeobecná značka)
26. odpor s odbočkami
27. nafiditelný odpór (nástrojem)
28. nafiditelný odpór se třemi vývody
29. odpor měnitelný vnitřním ovládacím prvkem
30. měnitelný odpór se třemi vývody (potenciometr)
31. odpor měnič se souhlasně s veličinou V
32. odpor zmenšující se se zvětšující se teplotou (termistor)
33. fotoodpor
34. kondenzátor (všeobecná značka)
35. průchodkový kondenzátor
36. elektrolytický kondenzátor
37. kondenzátor nafiditelný nástrojem
38. ladící kondenzátor
39. diferenciální kondenzátor
40. dvojitý ladící kondenzátor
41. indukčnost, čívka (všeobecná značka)
42. čívka pro KV nebo vazební čívka (čívka pro první rozsah KV má 3 obložky, pro druhý rozsah KV 4 obložky, pro střední vlny 5 obložek, pro DV 6 obložek, používá se především při kreslení vstupních čivek)
43. čívka s feritovým nebo železovým jádrem s nastavitelnou indukčností
44. čívka s doladovacím jádrem s možností doložování nástrojem
45. čívka s jádrem z feromagnetického materiálu
46. indukční vazba
47. indukční vazba měnitelná
48. mf transformátor
49. krystal
- 50a. obecná značka pásmové propusti s elektromechanickým obvodem
- 50b. elektromechanický filtr na magnetostríkční bázi (všeobecná značka)
- 50c. podrobná schematická značka elektromechanického filtru na magnetostríkční bázi

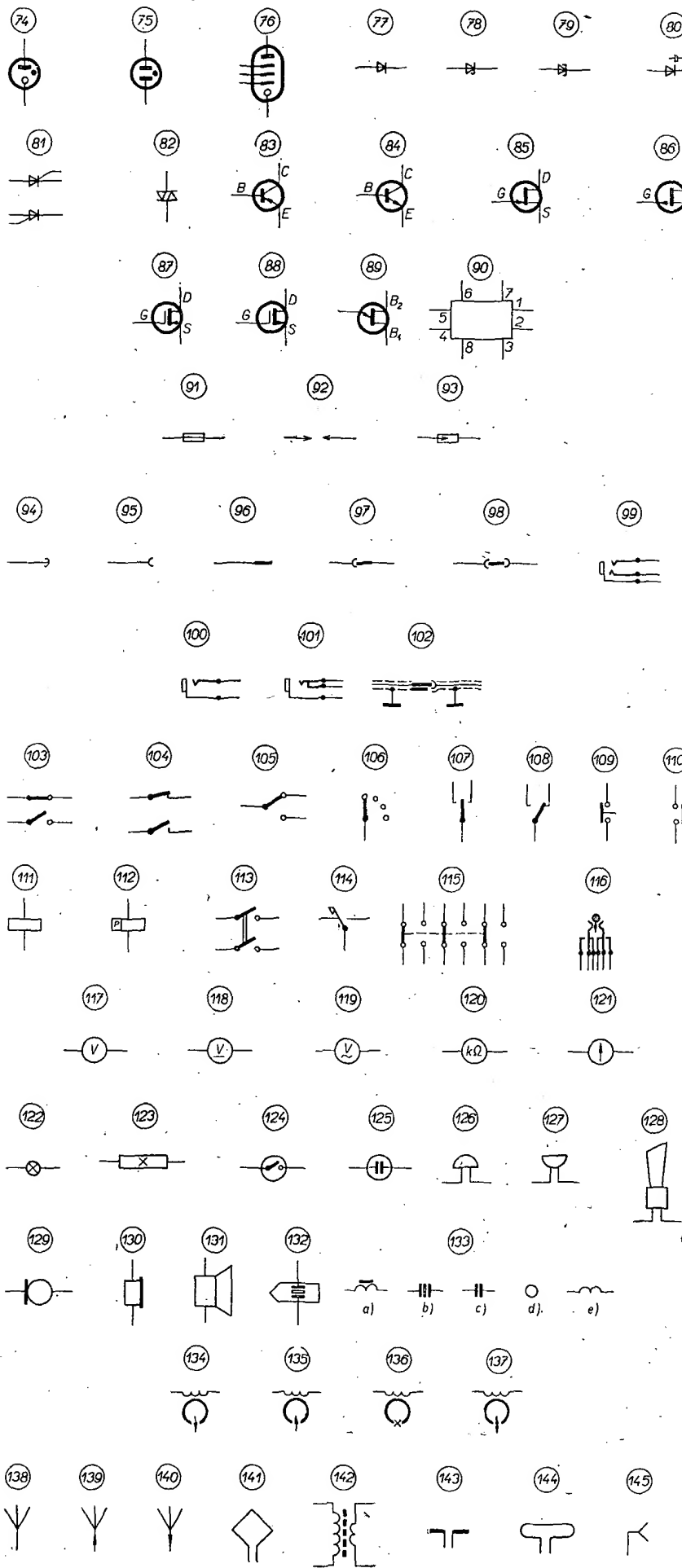
MOTORY A GENERÁTORY (STROJE)

51. motor (všeobecná značka)
52. generátor (všeobecná značka)
53. stejnosměrný motor
54. jednofázový motor
55. selsyn (SV — selsyn vysílač, SP — selsyn přijímač)

ČLÁNKY, AKUMULÁTOŘE

56. galvanický článek
57. baterie
58. termoclektrický článek





59. článek z dvojkovou
60. fotoelektrický článek (vakuová fotonka)
61. hradlový článek (hradlová fotonka)

USMĚŘNOVAČE A AKTIVNÍ SOUČÁSTKY

62. baňka elektronky
63. baňka několikaelektrodotové elektronky
64. baňka elektronky plněné plynem
65. baňka obrazovky
66. přímožhavená katoda
67. nepřímožhavená katoda
68. mřížka elektronky
69. anoda elektronky
70. dvojitá nepřímožhavená dioda
71. dvojitá trioda (podle a nebo b)
72. trioda-heptoda s pátem mřížkou spojenou s katodou uvnitř baňky
73. indikátor vyládění (magické oko) — a) indikátor vyládění s dvojí citlivostí, b) indikátor vyládění
74. plynem plněná výbojka se studenou katodou
75. plynem plněná stabilizační výbojka
76. stabilizační výbojka (s pěti elektrodami)
77. suchý polovodičový usměřňovač (selenový, kuproxový, germaniový, křemikový; proud teče ve směru šípky)
78. Zenerova dioda
79. tunelová dioda
80. kapacitní dioda (varikap)
81. tyristor, řízená polovodičová dioda (typu n nebo p)
82. polovodičová tetroda (triac)
83. tranzistor $p-n-p$
84. tranzistor $n-p-n$
85. tranzistor FET typu n
86. tranzistor FET typu p
87. tranzistor MOSFET typu n
88. tranzistor MOSFET typu p
89. tranzistor UJT (tranzistor s jedním přechodem)
90. integrovaný obvod

JISTICÍ ČLÁNKY

91. pojistka proudová
92. jiskřičte
93. bleskojistka

SBĚRAČE, ZÁSUVKY, SVÍRKY

94. sběrač
95. zásuvka, zdiřka (všeobecná značka)
96. vidlice, kolík (všeobecná značka)
97. zásuvkové spojení
98. zásuvková spojka
99. třípolová svírka
100. svírka, např. pro sluchátko
101. rozpinaci svírky (konektor)
102. souosý konektor
- 103.
- 104.
- 105.
- 106.
- 107.
- 108.
- 109.
- 110.
- 111.
- 112.
- 113.
- 114.
- 115.
- 116.
- 117.
- 118.
- 119.
- 120.
- 121.
- 122.
- 123.
- 124.
- 125.
- 126.
- 127.
- 128.
- 129.
- 130.
- 131.
- 132.
- 133.
- 134.
- 135.
- 136.
- 137.
- 138.
- 139.
- 140.
- 141.
- 142.
- 143.
- 144.
- 145.

96. vidlice, kolík (všeobecná značka)
97. zásuvkové spojení
98. zásuvková spojka
99. třípolová svírka
100. svírka, např. pro sluchátko
101. rozpinaci svírky (konektor)
102. souosý konektor

ZAPÍNACÍ A ROZPÍNACÍ KONTAKTY, RELÉ

103. spinač jednopólový, všeobecná značka (sepnutý, rozepnutý)
104. kontakty slaboproudého relé (sepnutý, rozepnutý)
105. přepínací kontakt
106. řadič
107. přepínací kontakt relé se střední polohou
108. přepínací kontakt relé
109. rozpinaci tlačítka
110. spinaci tlačítka
111. cívka relé
112. cívka polarizovaného relé
113. dvoupólový spinač (mechanicky spřažený)
114. telegrafní klíč
115. tlačítková souprava
116. telefonní přepínací tlačítka
117. měřidlo veličiny V
118. měřidlo stejnosměrné veličiny V
119. měřidlo střídavé veličiny V
120. kilohmmeter
121. měřidlo s nulou uprostřed

OPTICKÁ NÁVĚSTI, ZVUKOVÁ NÁVĚSTI, ELEKTROAKUSTICKÉ PŘÍSTROJE

122. žárovka (všeobecná značka)
123. závorka
124. startér závorky
125. indikátní doutnavka
126. zvonek
127. bzučák
128. houkačka
129. mikrofon
130. sluchátko
131. reproduktor
132. přenoska (krystalová)
133. systémy: a) elektromagnetický, b) krystalový, c) kondenzátorový, d) uhlíkový, e) elektrodynamický cívkový
134. magnetofonová hlava nahrávací
135. magnetofonová hlava reprodukční
136. magnetofonová hlava mazací
137. magnetofonová hlava univerzální

ANTÉNY

138. anténa (všeobecná značka)
139. vysílací anténa
140. přijímací anténa
141. rámová anténa
142. feritová anténa s vazebním vinutím
143. dipol
144. skládaný dipol
145. směrová anténa

Ctenáři se ptají...

Mám sovětský tranzistorový přijímač Něva. Potřeboval bych vyměnit ladici kondenzátor, neboť má zkrat mezi elektrodami a nemohu zjistit jeho údaje (M. Važan, Lipt. Mikuláš).

Ladici kondenzátor má kapacitu $2 \times 210 \text{ pF}$, doladovací tímry jsou 3 až 12 pF.

Přímá náhrada by byla pravděpodobně možná některým z výrodejnicích kondenzátorů do našich přijímačů; jde ovšem o to sehnat takový, který by byl shodný i rozmerově.

Jaká je počáteční a konečná kapacita ladícího kondenzátoru z přijímače Doris? Kdy bude vydán ceník maloobchodních cen radioamatérských součástek a materiálu? (P. Cengel, Košice).

Kapacita ladícího kondenzátoru je 96 + 176 pF (konečná), jiné údaje bohužel neznáme.

Ceník radioamatérského materiálu by slibován již mnohem dříve, dokonce na něj brala jedna pražská prodejna záznamy. V současné době je však takový stav, že žádná organizace nehodlá v dohledné době ceník vydat. (Dotazovali jsme se na příslušných místech v říjnu t. r.).

Prosím o sdělení vlastností tranzistorů (vyjmenováno asi 10 různých typů). Můžete uveřejnit přehled barevného označování odpórů a kondenzátorů? (M. Pech, Osek u Duchcova).

Jak jsme již před časem upozorňovali, redakce nemá k dispozici zahraniční katalogy tranzistorů, především ne amerických a japonských výrobců. Dříve jsme podobné dotazy předávali našemu spolupracovníkovi; ten však nyní dlel katalog, který vycházel z pokračování v AR. Práce mu zabírala takřka čas, že je zcela vyloučeno, aby se navíc ještě zabýval vyhledáváním údajů polovodičových součástek pro jednotlivé čtenáře. Je nám opravdu lito, že nemůžeme tomuto ani dalšímu čtenářstvu vyhovět, není však v našich silách tento problém vyřešit.

Pokud jde o barevné značení odpórů a kondenzátorů, řídí se téměř zásadami: barevné pruhy bývají obvykle čtyři; první bývá ten, který je blíže ke kraji součástky. První a druhý pruh (nebo tecká) vyjadřují číselnou velikost odporu, třetí barevný pruh je násobitelem. Čísla odpovídající jednotlivým barevám (první dva pruhy) a násobitelem (třetí pruh) jsou přehledně v tabulce. Čtvrtý pruh označuje toleranci součástek – zlatá barva = tolerance 5 %, stříbrná 10 %.

Bližší údaje najdete např. v Kalendáři sdělovací techniky 1963, Ročence sdělovací techniky (str. 153) atd. Návod ke zhotovení jednoduché pomůcky ke čtení hodnot barevně značených odpórů byl uveřejněn v AR 11/67, str. 328.

Barevný odstín	Císlice	Násobitel
(první a druhý pruh)(první a druhý pruh)(třetí pruh)		
černá	0	1
hnědá	1	10
červená	2	10 ²
oranžová	3	10 ³
žlutá	4	10 ⁴
zelená	5	10 ⁵
modrá	6	10 ⁶
fialová	7	10 ⁷
šedá	8	10 ⁸
bílá	9	10 ⁹

Můžete mi sdělit náhrady... (vyjmenováno několik diod). Zajímalo by mne také, kde lze získat starší čísla AR. (L. Havlíček, Kladno).

K první části dotazu platí odpověď k předcházejícímu dotazu. K druhé otázce lze říci jen to, že neexistuje jiná cesta k získání starších čísel AR kromě inzerátu, neboť redakce, administrace ani PNS žádá starší čísla AR nemají. A nechcete-li o nová čísla přijít, je výhodnější si časopis předplatit.

Jaký vnitřní odpor má měřidlo DHR 3, 100 µA? (Z. Stránský, Hostinné).

Protože tyto dotazy dostáváme již dlouhou dobu ve velkém počtu, uvádíme přehled vnitřních odpórů všech měřidel DHR.

DHR 8:	500 µA	— 150 Ω,
	200 µA	— 800 Ω,
	100 µA	— 1 350 Ω,
	50 µA	— 6 000 Ω.
DHR 5:	500 µA	— 250 Ω,
	200 µA	— 970 Ω,
	100 µA	— 3 500 Ω až 3 900 Ω,
	50 µA	— 3 500 Ω až 3 900 Ω.
DHR 3:	500 µA	— 180 Ω,
	200 µA	— 450 Ω,
	100 µA	— 1 150 Ω.

Maloobchodní ceny polovodičových součástek

(Dokončení)

Germaniové tranzistory p-n-p		
GC507	18,50	OC169
GC508	23,—	OC170

GC509	26,—	OC170kv	46,—
GC515	13,50		
GC516	16,—		
GC517	18,50		

Germaniové vysokofrekvenční mesa tranzistory p-n-p

GF502	72,—	GF505	58,—
GF503	61,—	GF506	48,—
GF504	76,—	GF507	113,—

Germaniové nf tranzistory p-n-p středního výkonu

GC500	26,—	GC510	32,—	GC510K	36,—
GC501	37,—	GC511	31,—	GC511K	35,—
GC502	80,—	GC512	27,—	GC512K	31,—

Germaniové nf tranzistory n-p-n středního výkonu

GC520	36,—	GC520K	41,—
GC521	35,—	GC521K	39,—
GC522	30,—	GC522K	35,—

Germaniové výkonové tranzistory

4 W	12 W	50 W			
OC30	48,—	OC26	68,—	2NU74	130,—
2NU72	34,—	OC27	115,—	3NU74	150,—
3NU72	37,—	2NU73	36,—	4NU74	140,—
4NU72	42,—	3NU73	40,—	5NU74	205,—
5NU72	46,—	4NU73	47,—	6NU74	160,—
				5NU73	53,—
				6NU73	57,—
				7NU73	62,—

Křemíkové tranzistory n-p-n pro nf zesilovače
KC507 47,—

KC508	38,60
KC509	43,50

Křemíkové vysokofrekvenční a spinaci tranzistory n-p-n

KF503	51,—
KF504	67,—
KF506	49,—
KF507	42,—
KF508	62,—

Křemíkové výkonové tranzistory n-p-n

KU601	110,—
KU602	140,—
KU605	370,—
KU606	300,—
KU607	414,50

Subminiaturní germaniová fotonka

10PN40	51,—
--------	------

Křemíkové fotonky

1PP75	50,—
KP101	83,—

Tranzistor řízený polem

KF520	51,40
-------	-------

Lineární integrované obvody

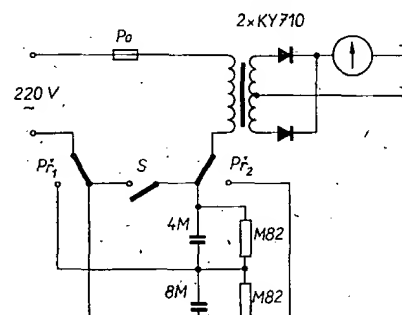
MAA115	87,—
MAA125	45,80
MAA145	57,50
MAA225	63,30

(b3)

2 Jak nati AR'69

Nabíječ akumulátorů

Potřeboval jsem nabíječ akumulátorů a rozhodl jsem se, že si jej postavím podle AR 2/68. Protože se mi však nepodařilo získat použitý přepínač, použil jsem dva páčkové jednopólové přepínače a jeden jednopólový spínač. Schéma



Nové součástky

Tmelené drátové odpory

Použití. – Tmelené drátové odpory slouží pro všeobecné použití podle technických podmínek.

Provedení. – Odporový drát je navinut na keramickém tělisku, chráněn je vrstvou silikonového tmelu. Vývody jsou měděné, pocínované. Odpory jsou vhodné i pro plošné spoje. Rozměry jsou na obrázku.

Rady jmenovitých hodnot a dovolené tolerance podle ČSN 35 8011:

E12 pro odpory s tolerancí $\pm 10\%$,
E24 pro odpory s tolerancí $\pm 5\%$,
 $\pm 2\%$, $\pm 1\%$.

Odpory se vyrábějí v řadě podle ČSN 35 8106.

Tepelný činitel nesmí být větší než $\pm 200 \cdot 10^{-6}/^{\circ}\text{C}$.

Rozsah provozních teplot: $-40 \text{ }^{\circ}\text{C}$ až $+100 \text{ }^{\circ}\text{C}$.

Elektrická pevnost: 750 V, 50 Hz.

Výrobce: Tesla Lanškroun.

Stav výroby: poloprovod.

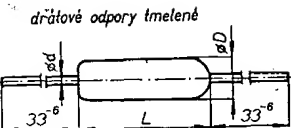
Technické údaje tmelených odporů

Typové označení	Jmenovité zatižení	Dovolená tolerance	Rozsah hodnot	Rozměry [mm]		Váha [g]
				$\varnothing d$	$\varnothing D \times L$	
TR 520	1 W	$\pm 10\%$ $\pm 5\%$ $\pm 2\%$ $\pm 1\%$	2,2 Ω ... 3,9 k Ω 10 Ω ... 4,3 k Ω 33 Ω ... 4,3 k Ω 51 Ω ... 4,3 k Ω	0,8	6 \times 20	1,2
TR 521	2 W	$\pm 10\%$ $\pm 5\%$ $\pm 2\%$ $\pm 1\%$	2,2 Ω ... 4,7 k Ω 10 Ω ... 5,1 k Ω 10 Ω ... 5,1 k Ω 51 Ω ... 5,1 k Ω	0,8	7 \times 20	1,6
TR 522	4 W	$\pm 10\%$ $\pm 5\%$ $\pm 2\%$ $\pm 1\%$	4,7 Ω ... 22 k Ω 10 Ω ... 24 k Ω 33 Ω ... 24 k Ω 100 Ω ... 43 k Ω	1	9 \times 33	6,0
TR 523	6 W	$\pm 10\%$ $\pm 5\%$ $\pm 2\%$ $\pm 1\%$	4,7 Ω ... 33 k Ω 10 Ω ... 43 k Ω 33 Ω ... 43 k Ω 100 Ω ... 43 k Ω	1	9 \times 50	7,5
TR 524	8 W	$\pm 5\%$ $\pm 2\%$ $\pm 1\%$	10 Ω ... 33 Ω ... 62 k Ω 100 Ω ...	1	12 \times 50	15,0

Pro typ TR 524 je největší přípustné napětí 600 V

Technické údaje smaltovaných odporů

Typové označení	Jmenovité zatižení	Dovolená tolerance	Rozsah hodnot	Rozměry [mm]		Váha [g]
				$\varnothing d$	$\varnothing D \times L$	
TR 635	1 W	$\pm 20\%$ $\pm 10\%$ $\pm 5\%$	2,2 Ω ... 10 Ω ... 1,5 k Ω 22 Ω ...	0,8	5,5 \times 20	0,7
TR 636	2 W	$\pm 20\%$ $\pm 10\%$ $\pm 5\%$	2,2 Ω ... 6,8 Ω ... 2,2 k Ω 30 Ω ...	0,8	7 \times 20	1,2
TR 510	6 W	$\pm 20\%$ $\pm 10\%$ $\pm 5\%$	5,6 Ω ... 5,6 Ω ... 6,8 k Ω 10 Ω ...	1	9 \times 33	3,9
TR 511	10 W	$\pm 20\%$ $\pm 10\%$ $\pm 5\%$	10 Ω ... 10 Ω ... 12 k Ω 10 Ω ...	1	9 \times 50	5,9
TR 512	15 W	$\pm 20\%$ $\pm 10\%$ $\pm 5\%$	10 Ω ... 10 Ω ... 22 k Ω 10 Ω ...	1	12 \times 50	12,6



Smaltované drátové odpory

Použití. – Smaltované drátové odpory jsou vhodné k všeobecnému použití.

Provedení. – Odporový drát je navinut na keramickém tělisku, chráněn je vrstvou smaltu s nízkým bodem tavení. Vrstva neslouží jako izolace! Vývody jsou měděné, pocínované. Rozměry jsou na obrázku.

Rada jmenovitých hodnot podle ČSN 35 8011:

E6 pro odpory s tolerancí $\pm 20\%$,

E12 pro odpory s tolerancí $\pm 10\%$,

E24 pro odpory s tolerancí $\pm 5\%$.

(Po předcházející dohodě s výrobcem). Odpory se vyrábějí v řadě podle ČSN 35 8106.

Tepelný činitel nesmí být větší než $\pm 200 \cdot 10^{-6}/^{\circ}\text{C}$.

drátové odpory smaltované



Rozsah provozních teplot: $-55 \text{ }^{\circ}\text{C}$ až $+125 \text{ }^{\circ}\text{C}$.

Největší přípustné napětí: 500 V.

Výrobce: Tesla Lanškroun.

Výroba: sériová.

Integrované obvody pro univerzální použití

S integrovanými obvody lze realizovat náročné elektronické soustavy v relativně malém prostoru. Obvykle se vyrábějí základní funkční obvody, z nichž se sestavuje příslušné zařízení na deskách s plošnými spoji, výjimečně se vyrábějí speciální složitější celky podle přání zakazníka. V prvním případě připomíná zařízení tranzistorovou verzi (a to i pokud jde o rozměry a váhu), druhý způsob je výrobně náročný a vhodný jen pro velké série.

Nevýhody obou variant chce odstranit firma Texas Instruments tzv. digitální diferenciální analyzátory (DDA). U prvků TA-0007 je na křemíkové destičce vytořeno současně 128 klopních obvodů a 646 hradlových obvodů typu negovaného logického součtu (NAND). Jednotlivé obvody jsou proměněny na poloautomatické zařízení. Výsledek zaznamená počítač a ten také rozhodne, které klopné a logické obvody budou využity a určí optimální způsob jejich propojení, aby integrovaný obvod měl ty vlastnosti, které zakazník požaduje. Podle obrázku propojovací soustavy, který počítač vytvoří na stímkou obrazovky, se vyrábí fotolitografické masky. Vnitřní propojení je rešené dvourstvovou metalizací.

Jako typická aplikace je v [1] uveden funkční blok číslicového radiolokátoru, který převádí diskrétní informaci o poloze antény na číselný údaj, vyjadřující sinus a cosinus odměru. Během jedné otáčky antény přehledového radiolokátoru je zpracováno 6 432 pulsů úhlové informace a jeden synchronizační impuls, indikující refereční směr. Sinus a cosinus odměru je vyjádřen v dvojkové soustavě desetimístným číslem a je k dispozici na vývodech integrovaných obvodů v paralelním kódě.

Celý tento funkční blok, který v obvyklém provedení obsahuje stovky tranzistorů, vystačí se dvěma integrovanými obvodů, z nichž každý má podobu čtvrtové destičky o délce strany asi 60 mm a se 156 vývody. S jedním obvodem lze realizovat např. dvacetimístný reverzní synchronní čítač. Výrobce uvádí, že tyto stavební prvky mohou pracovat s kmitočtem hodinových pulsů do 2 MHz. Napájecí napětí je 5 V, příkon 2,5 W. Přípustný teplotní rozsah je -55 až $+125 \text{ }^{\circ}\text{C}$.

Zajímavé jsou i dodací podmínky a cena. Protože jde o vývojové vzorky, dodávají se jednomu zakazníkovi nejvýše čtyři integrované obvody v ceně po 750 dolarech. Tříměsíční dodací lhůtu pokládá výrobce patrně za nezvykle dlouhou, protože ji žádá vývojový výrobce.

Zdá se, že toto řešení zachovává výhody hromadné výroby a přitom může uspokojit i speciální požadavky zakazníka. Proto je lze pokládat za perspektivní.

Ing. Milan Staněk, CSc

Literatura

- [1] New Products: Unquestionably LSI. Informace firmy Texas Instruments Inc., Electronics 42 (1969), č. 17, str. 145.

Setkáváme se podvanácté a tedy naposledy v tomto roce pod tímto titulkem. Proto se pokusíme shrnout obsah všech jedenácti předcházejících částí „Stavebnice mladého radioamatéra“, vybrat z nich některé poznatky nebo zkušenosti a říci si, jak pod tímto titulkem pokračovat v příštím roce.

V deseti letošních číslech AR bylo po-
psáno 26 různých modulů; v AR 7/69
byl návod na zhrození skřínky pro při-
stroje, které lze z modulů sestavit. Naše
vlastní praxe i ohlasy čtenářů ukázaly,
že některé moduly jsou velmi užitečné
a praktické, jiné méně. K ziskání pří-
bližného přehledu o zájmu čtenářů jsme
pozadali radioklub Smaragd o přesné
vyčíslení počtu prodaných destiček
s plošnými spoji pro popisované moduly.
Nejzádanější byl modul MNF1 – uni-
verzální nízkofrekvenční zesilovač. Od-
povídá to i naší praxi, protože jsme jej
již několikrát použili do různých kon-
strukcí. Všechny moduly MNF1 až
MNF6 tvoří nejzádanější skupinu. Na-
opak např. modul MPP1 s elektrome-
chanickým filtrem nemá takový odbytek
proto, že tyto filtry již dlouho nejsou
k dostání. Pro snadnější orientaci uve-
řejňujeme přehled jednotlivých modulů
s udáním označení, funkce, typu destičky
s plošnými spoji a čísla AR, v němž byl
návod uveřejněn.

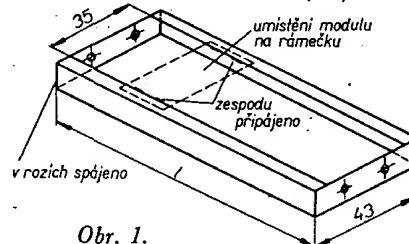
I mechanická konstrukce přístrojů
s moduly byla dále vyvýjena a upravena
proti popisu v AR 7/69. Nosné příčky,
které bylo třeba připájet rovnoběžně ke
skřínce, byly nahrazeny rámečkem, kte-
ré se ke skřínce uchycuje čtyřmi šroubkami
M 3 (obr. 1). Je tedy možné skřínu na-
lakovat, protože na ni není třeba pájet.

Seznam modulů uveřejněných ve Stavebnici mladého radioamatéra 1969

Modul	Funkce	Plošné spoje	Uveřejněno v
MNF1	univerzální nf zesilovač s IO	Smaragd MNF1	AR 1/69
MNF2	koncový nf zesilovače 150 mW	Smaragd MNF2	AR 2/69
MNF3	impedanční převodník s tranzis- torem FET	Smaragd MNF3	AR 2/69
MAU1	zpětnovazební detektor (audion)	Smaragd MAU1	AR 3/69
MRF1	reflexní stupeň	Smaragd MRF1	AR 3/69
MNG1	nf oscilátor s fáz. čtyřpolém	Smaragd MNG1	AR 4/69
MDT1	diodový detektor	Smaragd MDT1	AR 4/69
MZD1	stabilizační obvod	Smaragd MZD1	AR 4/69
MMF1	mezifrekvenční zesilovač	Smaragd MMF1	AR 5/69
MPP1	elektromechanický filtr	Smaragd MPP1	AR 5/69
MMF2	mezifrekvenční zesilovač s filtrem	Smaragd MMF2	AR 5/69
MNF4	koncový nf zesilovač 2 W	Smaragd MNF4	AR 6/69
MPK1	pásmový nf korektor	Smaragd MPK1	AR 6/69
MSM1	směšovací stupeň	Smaragd C45	AR 8/69
MCO1	cívka oscilátoru	Smaragd C46	AR 8/69
MVF1	vf zesilovač (jednostupňový)	Smaragd C45	AR 8/69
MCZ1	cívka zesilovače	Smaragd C46	AR 8/69
MSR1	superreakční detektor 27 MHz	Smaragd MSR1	AR 9/69
MNF5	nf selektivní vybavovač s relé	Smaragd MNF5	AR 9/69
MSM2	balanční směšovač	Smaragd MSM2	AR 10/69
MDP1	nf dolní propust	Smaragd MDP1	AR 10/69
MNF6	univerzální nf zesilovač (jednostupňový)	Smaragd C45	AR 10/69
MVO1	vf oscilátor	Smaragd C45	AR 11/69
MCO2	cívka oscilátoru (sériový obvod)	Smaragd C46	AR 11/69
MVF2	vf oddělovací stupeň	Smaragd C45	AR 11/69
MCZ2	paralelní rezonanční obvod	Smaragd C46	AR 11/69

Rámeček lze kromě toho snadno vyjmout, moduly na něj namontovat, propojit mimo skříňku a teprve po uvedení do chodu připevnit rámeček do skřínky. Rámeček ohneme z pásku plechu a vahu spájime. Je třeba ovšem pamatovat na to, že moduly budeme k rámečku pájet; proto musí být rámeček z pocívaného nebo alespoň pozinkovaného plechu.

I když u některých návodů byla uvedena bloková schémata přístrojů sestavených z modulů jako příklad použití, nebyl nikde konstrukční návod na takový přístroj. Bylo to zámerně; účelem seriálu zatím bylo získat základní sortiment modulů pro většinu běžných radio-technických obvodů. A tím se dostáváme k programu pro příští rok. Seriálu zůstane název „Stavebnice mladého ra-
matérá“: železný pocívaný nebo pozinkovaný plech
tl. 0,5+0,8 mm



Obr. 1.

dioamatéra“. Budeme se v něm zabývat podrobnými konstrukčními návody na přístroje sestavované výhradně z modulů. Bude-li nám nějaký modul chybět, zhotovíme si jej. Zvláštností jednotlivých návodů bude, že budou zpracovány v několika variantách; je to umožněno právě konstrukcí z modulů. Tak např. bude popsána konstrukce nízkofrekvenčního zesilovače; výměnou, přidáním nebo ubráním některých modulů bude možné měnit nízkofrekvenční výkon, citlivost zesilovače, vstupní impedanci, korekce, zdvojením sestavit stereofonní zesilovač apod. Návody budou většinou předpokládat, že jednotlivé moduly máte již sestaveny a vyzkoušeny. Pokud je budete stavět znovu, vezměte si na pomoc letošní ročník AR; popis již jednou popsánych modulů nebudeme opakovat. Abychom vyšli všem zajemcům o stavbu přístrojů vstříc, zajistili jsme u radioklubu Smaragd, že bude ještě po celý příští rok vyrábět destičky s plošnými spoji pro všechny popsáne moduly a že bude vyrábět některé popsáne moduly i kompletní, tj. osazené součástkami a funkčně vyzkoušené. Seznam těchto modulů i s cenami bude uveřejněn v prvním čísle příštího roku.

Proto nejvíce obtíže při amatérské konstrukci přístrojů působí většinou zhotovení skřínky, bude se radioklub Smaragd snažit zajistit i výrobu skřínek asi v takovém provedení, jaké bylo popsáno v AR 7/69. I o tom budete včas informováni.

V uveřejňovaných návodech se budeme snažit přísně dodržovat jakousi vlastní normalizaci. Bude spočívat např. v jednotnosti napájení, v používání stejných konektorů pro různé přístroje a pro stejné funkce, přičemž rozdíl mezi jednotlivými vývodůmi nebo napájení na kontaktech konektoru bude vždy stejně apod.

To je tedy stručná informace o tom, jak si představujeme v příštím roce seriál „Stavebnice mladého radioamatéra“. Věříme, že s ním budete i nadále spokojeni a těšíme se na shledanou v příštím roce 1970.

VÍTE CO JE PROPIROT?

Pravděpodobně nikoli, protože jde o novinku, kterou uvádí na trh národní podnik Obchodní tiskárny Kolín, závod Hradištko pod Medníkem. A přece je to něco, bez čeho si svou práci nebudete moci ani představit. Jde totiž o moderní pomůcku k vytváření nápisů, značek, číslic, obrazců, rastrů, k popisování stupnic měřicích přístrojů atd. Právě v radioamatérské praxi, kde je třeba popisovat různorodé a nápisům se vztýkající materiály, je zhotovení i jednoduché značky či stupnice často neřešitelným problémem, pokud se chceme aspoň vzdáleně přiblížit profesionálnímu vzhledu. A že nedokonale provedené písmo dokáže úplně zkazit dojem z přístroje jinak znamenitého, je jistě každému známo z vlastní trpké zkušenosti. Na rozdíl od pracného fotografování vystříhaných písmenek (popř. shánění známého v tiskárně) je popisování jakéhokoli materiálu Propisotem tak jednoduché a rychlé, že je to první překvapení pro každého, kdo se dosud namáhal s jinými metodami. Druhé překvapení

Propisot

Obr. 1.

pak spočívá v perfektní jakosti nápisu, který jen odborník rozezná od skutečného tisku (obr. 1).

Propisot patří do skupiny tzv. propisovacích obtisků, jaké se pod značkami Transotype, Letraset, Letter-press, Alfac aj. vyrábějí již několik let (ovšem jen v zahraničí, takže psát o nich dříve by znamenalo zbytečně dráždit naše čtenáře). V podstatě jde o fólie z průsvitné plastické hmoty, na nichž jsou sítotiskem naneseny potefné číslice, písmena, značky atd. Na obr. 2 je např. fólie s značkami Transotype, vyráběné v NSR. Fólie se prostě přiloží na popisované místo a písmeno nebo značka se několikrát přetře dřevěným tříčem (obr. 2), nebo propisovačkou, tužkou apod. Tím se písmeno odloží od fólie a přilepí k popisovanému předmětu. Stejným způsobem přeneseme druhý znak atd., až je celý nápis hotov. Stačí jej pak fixovat buď přejetím nehtu přes hladký papír, anebo speciálním lakem.

I když domácí výrobek zatím nedosahuje všech vynikajících vlastností špičkových zahraničních značek, zejména pokud jde o ostrost hran znaků, jsou praktické zkušenosti s ním velmi příznačné. Na drsných materiálech, např. na papíře, lze obtisk tak pevně, že jej lze měkkou prýží lehce přemazávat. Naproti tomu tvrdou prýží nebo čepelkou můžeme odstranit chyběně nanesený znak; ještě lépe poslouží vatička navlhčená benzinem. Pokud nepoužijeme fixační lak, je vhodné pokrýt písmo na hladkých materiálech průhlednou fólií, např. tenkým organickým sklem. Pokud se při popisování průhledných materiálů přenesne na podklad i trochu lepkavé pryskyřice z okolí znaku, odstraníme nečistotu vatičkou namočenou v líhu.

Písmo má černou barvu; v zahraničí se pro některé účely vyrábějí i obtisky bílé, červené, modré a žluté. Potřebujeme-li bílé písmo na černém podkladě, postupujeme tak, že nápis zhotovíme na průhlednou fólii, např. celofán, a okopírujeme jej na tvrdý fotografický papír. Tímto způsobem lze nápisu i libovolně rozmniozovat.

Praktická použitelnost této pomůcky závisí samozřejmě i na výběru různých velikostí a řezů písma, číslic, značek apod. Ten je u zahraničních výrobků velmi bohatý. U nás se s výrobou teprve začíná, a proto jsou k dispozici pouze některé základní druhy písma. Doufáme, že se výběr brzy rozšíří; velmi žádoucí by např. bylo, aby výrobce pamatoval i na některá nejběžnější řecká písmena, např. Ω , μ aj., a na nejdůležitější matematické značky (chybí např. + a —).

Zajímavé je, že výrobce může dodávat i speciální archy s libovolnými značkami podle dodaných předloh; pokud si zájemce objedná aspoň 100 kusů. Zde se tedy přímo nabízí možnost, jak odstranit pracné kreslení elektronických schémat pomocí nedokonalých šablon. Najde se některá iniciativní organizace, která by byla ochotna sestavit a uvést na trh (třeba jen prostřednictvím zásilkové služby) archy se značkami elektronik;

Obr. 2.

tranzistorů, cívek a jiných elektrotechnických součástek?

Z uvedeného popisu je jistě zřejmé, že propisovací obtisky Propisot představují neobvyčejně cennou a všeobecně použitelnou pomůcku v pracovně radioamatéra. Zbývá jen doufat, že se co nejdříve objeví v našich obchodech.

Zdeněk Tomášek



Dětský přijímač Magnet

V minulém čísle jsme přinesli v rubrice „Čtenáři se ptají“ odpověď Mechaniky Teplice na naší žádost o poskytnutí schématu přijímače Magnet, který Mechanika Teplice dodala na trh a který se v současné době prodává v některých prodejnách Elektro. Odpověď nás přilákala, neboť dotazů na zapojení, vlastnosti a další technické údaje přijímače stále přibývají. Proto nám přišlo vhod, že jeden z našich spolupracovníků poslal redakci článek s podrobnými údaji o přijímači Magnet, takže můžeme uspokojit všechny zájemce o koupi nebo případnou stavbu jednoduchého reflexního přijímače.

Technické údaje

Přijímaný rozsah: střední vlny.

Příjem na vnitřní anténu: jedna silná stanice v celém pásmu.

Nf výkon: nebyl měřen, asi 40 mW max.

Osazení: tranzistory 155NU70, 2 × 104NU71, dioda GA201.

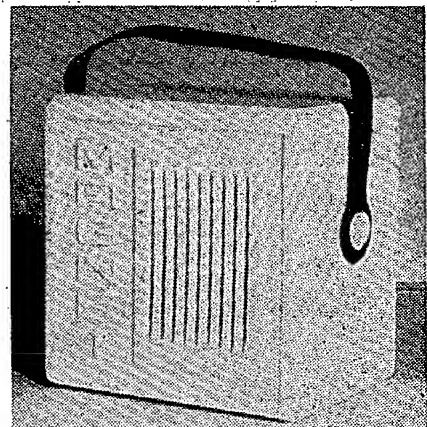
Napájení: plochá baterie (4,5 V).

Rozměry skřínky: 75 × 56 × 75 mm.

Popis činnosti

Schéma přijímače je na obr. 1. Vysokofrekvenční signál se přijímá feritovou anténou FA. K ladicímu vinutí feritové antény je připojen ladicí kondenzátor C_L (miniaturní typ WN 70400) s kapacitou 380 pF. Vazební vinutí feritové antény je spojeno jednak přes kondenzátor 22 nF se „zemí“ přijímače, jednak (vývod 3) s bází vstupního tranzistoru. Pracovní bod vstupního tranzistoru T_1 (155NU70) je nastaven odporem v bázi 0,22 M Ω . V kolektoru druhého tranzistoru je pracovní odpor v sérii s primárním vinutím neladěného vf transformátoru Tr_{vf} , z jehož sekundárního vinutí jde vf signál na detekční diodu, která jej detekuje. Vf signál a po detekci nf signál se zesiluje tranzistory T_1 a T_2 a přivádí se na potenciometr hlasitosti P . Zbytek vf signálu po detekci prochází přes kondenzátor 22 nF (z vývodu 4 feritové antény) k emitoru T_1 (okruh musí být uzavřen). Vstupní tranzistory zesilují tedy vf signál i nf signál po detekci.

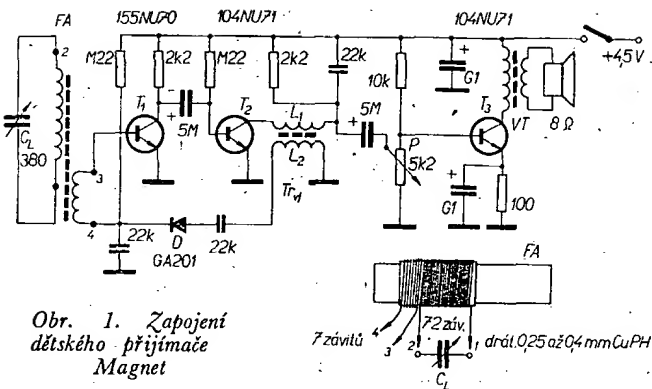
Výkonové nf zesílení obstarává tranzistor T_3 , zapojený jako zesilovač třídy A. Jako pracovní odpor je v kolektoru T_3 zapojeno primární vinutí výstupního transformátoru VT . Sekundární vinutí má jako zatěžovací odpor reproduktor s impedancí 8 Ω (typ ARZ081).



Poznámky ke konstrukci

Přijímač není vůbec selektivní, v praxi stejně dobře poslouží krystalka s nf zesilovačem. Citlivost přijímače je rovněž velmi malá. Jako napájení lze použít napětí 3 až 9 V s prakticky stejným výsledkem. Vlastnosti přijímače se zlepší použitím rámové antény uspořádané tak, že skříňka přijímače ovineme několika závitými dráty; jeden jeho konec uzměníme a na druhý připojíme anténu. Přesto, že jde o zámerně velmi jednoduchý přijímač určený jako dětská hračka, s vynaloženými prostředky se jistě dála vymyslet konstrukce, která by splňovala poněkud vyšší nároky.

Koncepcie mechanického uspořádání je nejjednodušší, jakou si lze představit. Deska s plošnými spoji nese všechny součásti (obr. 2). Pro vf neladěný transformátor je do desky přinýtován držák a transformátor je v něm přilepen. Po celé délce je připevněna i feritová anténa.



Obr. 1. Zapojení dětského přijímače Magnet

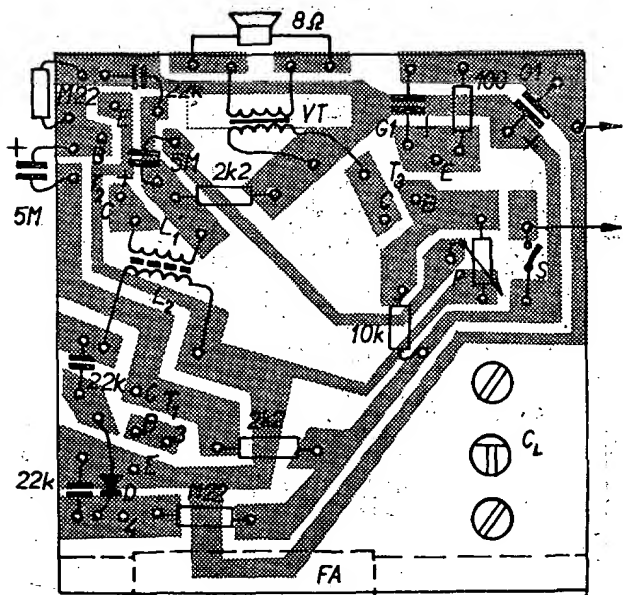
Výstupní transformátor je na feritovém jádru, které je zasunuto do výrezu v desce s plošnými spoji a přilepeno. Ladící kondenzátor je k desce přišroubován dvěma šroubkami M3. Reproduktor je do skřínky přilepen (!).

Použité součástky

Všechny odpory jsou miniaturní, na nejmenší zařízení. Všechny kondenzátory (kromě elektrolytických) jsou keramické, polštářkové na 40 V. Elektrolytické kondenzátory jsou typy do plošných spojů pro napětí 6 V.

Potenciometr hlasitosti je typ se spinačem z přijímače Zuzana (5,2 kΩ). Reproduktor je miniaturní, typ ARZ081, 8 Ω. Feritová anténa je na zkráceném trámečku (délka stejná jako délka des-

Obr. 2. Deska s plošnými spoji přijímače Magnet (RK Smaragd nevyrábí!)



tičky s plošnými spoji). Počet závitů a druh drátu je na obr. 1. Neladěný výstupní transformátor je na hrničkovém jádru o \varnothing 14 mm (ferokart), cívka L_1 má asi 220 z drátu o \varnothing 0,08 mm CuP, cívka L_2 asi 90 z stejného vodiče. Cívky L_1 a L_2 jsou vedle sebe.

Výstupní transformátor je na feritovém jádru EE o rozměrech 20 × 4,8 mm

se středním sloupkem 4,6 × 4,6 mm. Cívky výstupního transformátoru jsou vinuté přímo na střední sloupek transformátoru (bez kostřičky). Sekundární vinutí je vesmír, má asi 80 z drátu o \varnothing 0,3 mm CuPH, primární vinutí má asi 1 000 z drátu o \varnothing 0,1 mm CuP. Ladící kondenzátor je typu WN 704 00, 280 pF.

Transistorový OSCILOSKOP

Václav Otýš

Popisovaný přístroj je výsledkem snahy o konstrukci jednoduchého a spolehlivého osciloskopu osazeného křemíkovými tranzistory. Byl postaven speciálně pro použití při stavbě digitálních souprav při dálkovém řízení modelů, jeho použití je však mnohem širší. Možnost jednorázového spouštění časové základny a stejnosměrný zesilovač jsou velmi důležité při měření pulsních a spínacích obvodů. Malý příkon osciloskopu umožňuje i napájení z jiného zdroje, např. z automobilového akumulátoru přes jednoduchý tranzistorový měnič.



Technická data

Napájení: síť 220 V, 50 Hz, příkon 8 W.
Časová základna: spouštěná nebo stálá, rozsah čas. zákl. 100 ms/cm až 10 μ s/cm (tj. asi 2 Hz až 20 kHz).
Vertikální zesilovač: stejnosměrný,

kmitočtový rozsah 0 až 100 kHz (při poklesu -2 dB a v každé poloze vstupního děliče); citlivost 0,2 až 20 V/cm; vstupní odpor 80 kΩ (0,2 až 2 V/cm), 680 kΩ (2 až 20 V/cm).
Rozměry: 110 × 130 × 280 mm.
Váha: asi 3 kg.

Celkové schéma osciloskopu je na obr. 1. Probereme si postupně činnost jednotlivých obvodů.

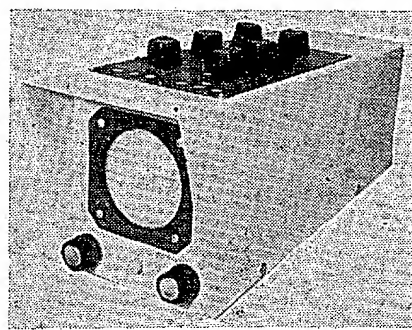
Časová základna

Zdrojem napětí pilovitého průběhu pro časovou základnu je obvod s tranzistory T_3 a T_4 . Tranzistory tvoří generátor vyrábějící napětí pilovitého prů-

běhu o amplitudě 150 V, které se přivádí přímo na vychylovací destičky obrazovky. Tím odpadne nutnost použití horizontálního zesilovače, který by v tomto případě musel být stejnosměrný, protože při nepravidelném spouštění časové základny se mění stejnosměrná složka signálu. Tranzistor T_3 slouží současně jako zesilovač synchronizačních pulsů.

Funkci generátoru časové základny si vysvětlíme na zjednodušeném schématu (obr. 2).

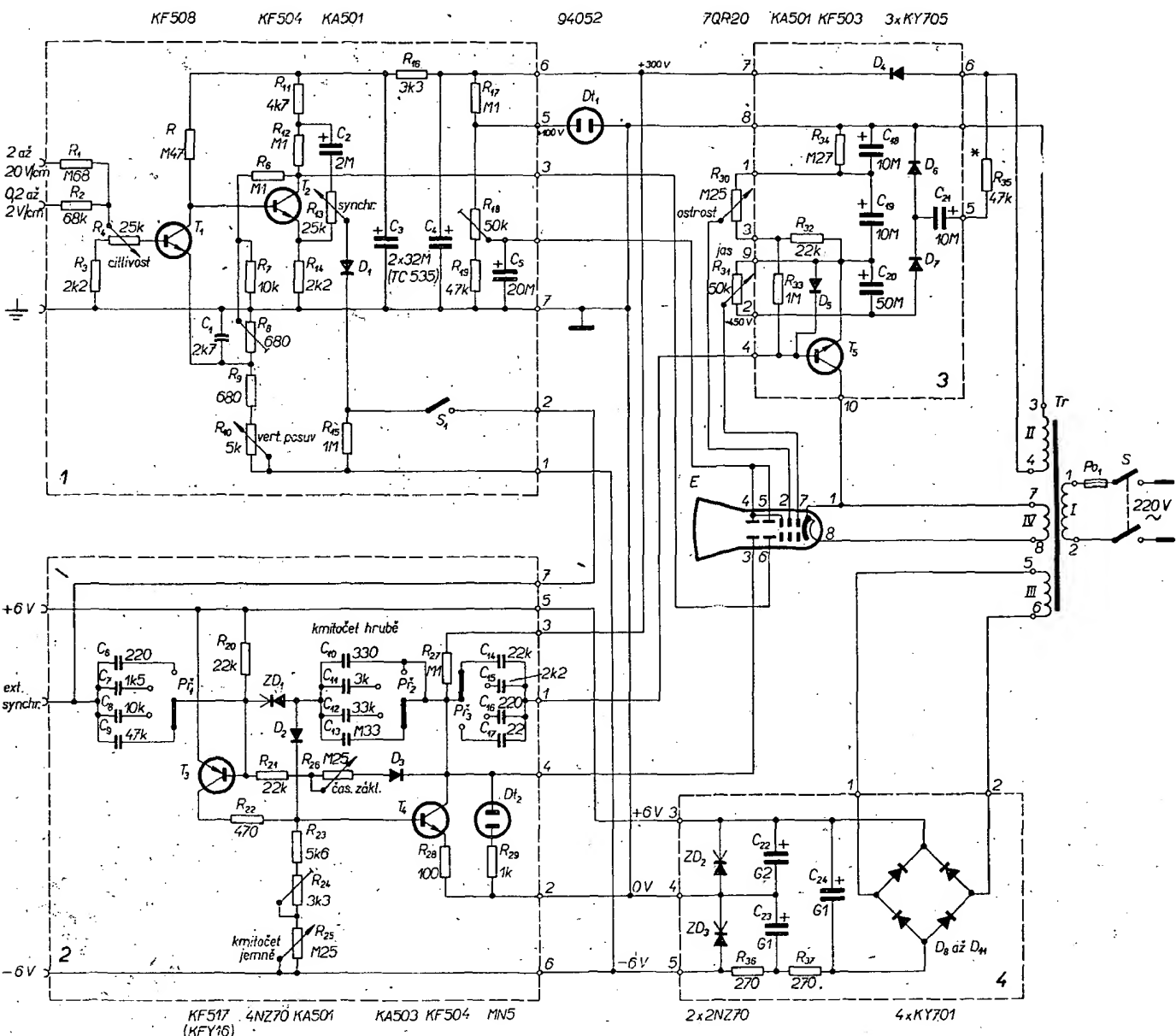
Základem generátoru je tranzistor T_4 , zapojený jako integrační zesilovač se zpětnou vazbou uzavřenou přes kondenzátor C a diodu D . Za předpokladu, že proudové zesílení tranzistoru T_4 je dostatečně velké, bude proud báze tranzistoru T_2 malý a lze jej (vzhledem k proudu tekoucímu odporem P ze zdroje -6 V) při objasňování funkce obvodu zanedbat. Nabíjecí proud kondenzátoru C , který je v tom případě určen jen velikostí odporu P , je tedy konstantní a napětí na kondenzátoru a tím i na kolektoru tranzistoru T_4 narůstá lineárně (napětí na bázi tranzistoru se prakticky nemění). Dosáhne-li velikost napětí na kolektoru tranzistoru T_4 zápalného na-



Výhradním
na obálku AR

pěti doutnavky D_{t2} , dojde k jejímu zapálení a napětí na kolektoru se rychle zmenší. Pokles napětí se přenese kondenzátorem C a přes Zenerovu diodu ZD otevře tranzistor T_3 . Proudem tranzistoru T_3 se otevře i tranzistor T_4 a způsobí vybití kondenzátoru C . Po vybití kondenzátoru se začne tranzistor T_4 opět zavírat a celý děj se opakuje.

Zápalné napětí doutnavky D_{t2} je asi 150 V. Doutnavka plní současně funkci stabilizátoru amplitudy napětí pilovitého průběhu a tím i šířky obrazu na obrazovce osciloskopu. Navíc doutnavka chrání tranzistor T_4 před případným napěťovým přetížením, k němuž by mohlo dojít, neboť obvody jsou napájeny ze zdroje +300 V, zatímco dovolené kolektorové napětí tranzistoru T_4 (KF504) je jen 160 V. Poměrně velké napájecí napětí +300 V je nutné pro ziskání napětí lineárního pilovitého průběhu.

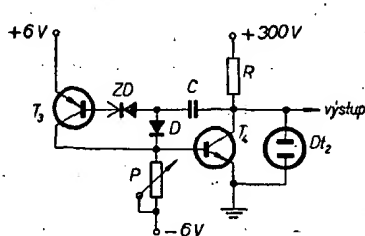


Obr. 1. Celkové schéma osciloskopu (T_1 má být KC508, neoznačený odpor v kolektoru T_1 je R_8)

Způsob synchronizace a spouštění časové základny jsou zřejmě z celkového schématu osciloskopu (obr. 1). Má-li být časová základna spouštěna synchronizačními pulsy, nastaví se potenciometrem R_{26} taková velikost proudu tekucího z kolektoru tranzistoru T_4 do báze tranzistoru T_3 , aby oba tranzistory zůstaly po vybití vazebního kondenzátoru otevřeny. Teprve kladným synchronizačním impulsem, přivedeným na bázi tranzistoru T_3 přes přepínač P_{T_1} a některý z kondenzátorů C_6 až C_9 , se tranzistor T_3 zavře a na kolektoru tranzistoru T_4 se začne vytvářet napětí pilovitého průběhu.

Rychlosť časové základny se nastavuje jednak přepínáním kondenzátorů C_{10} až C_{13} čtyřpolohovým přepínačem P_{T_2} (běžný vlnový přepínač), ednak plynule potenciometrem R_{25} v rozsahu větším než 1:10. Při přepínání rozsahů časové základny se přepínají současně i vazební kondenzátory synchronizačních pulsů C_6 až C_9 a kondenzátory C_{14} až C_{17} pro napájení zhášecího obvodu.

Zhášení paprsku při zpětném běhu časové základny obstarává tranzistor T_5 kličováním proudu katody obrazové elektronky E . Tranzistor T_5 je trvale otevřen proudem přes odpor R_{33} z napěti vzniklého úbytkem na odporu R_{32} . Při zpětném běhu časové základny se vytvoří derivaci vychylovacího napětí přivedeného kondenzátorem C_{14} až C_{17} na bázi tranzistoru T_5 záporný impuls, který způsobí zavření tranzistoru po dobu trvání zpětného běhu.



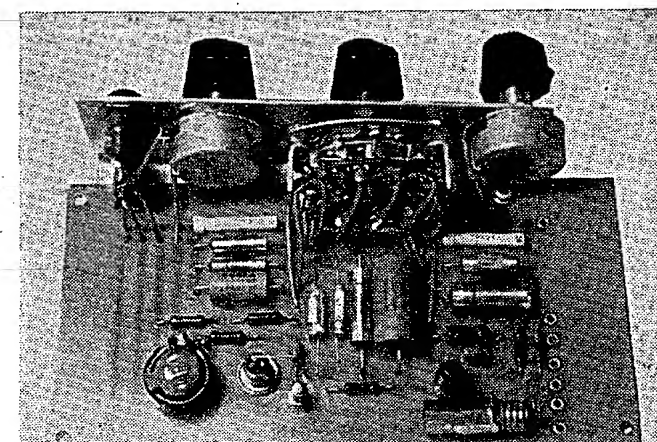
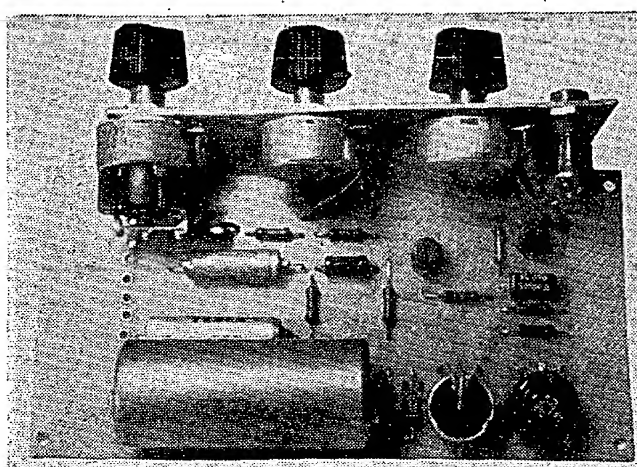
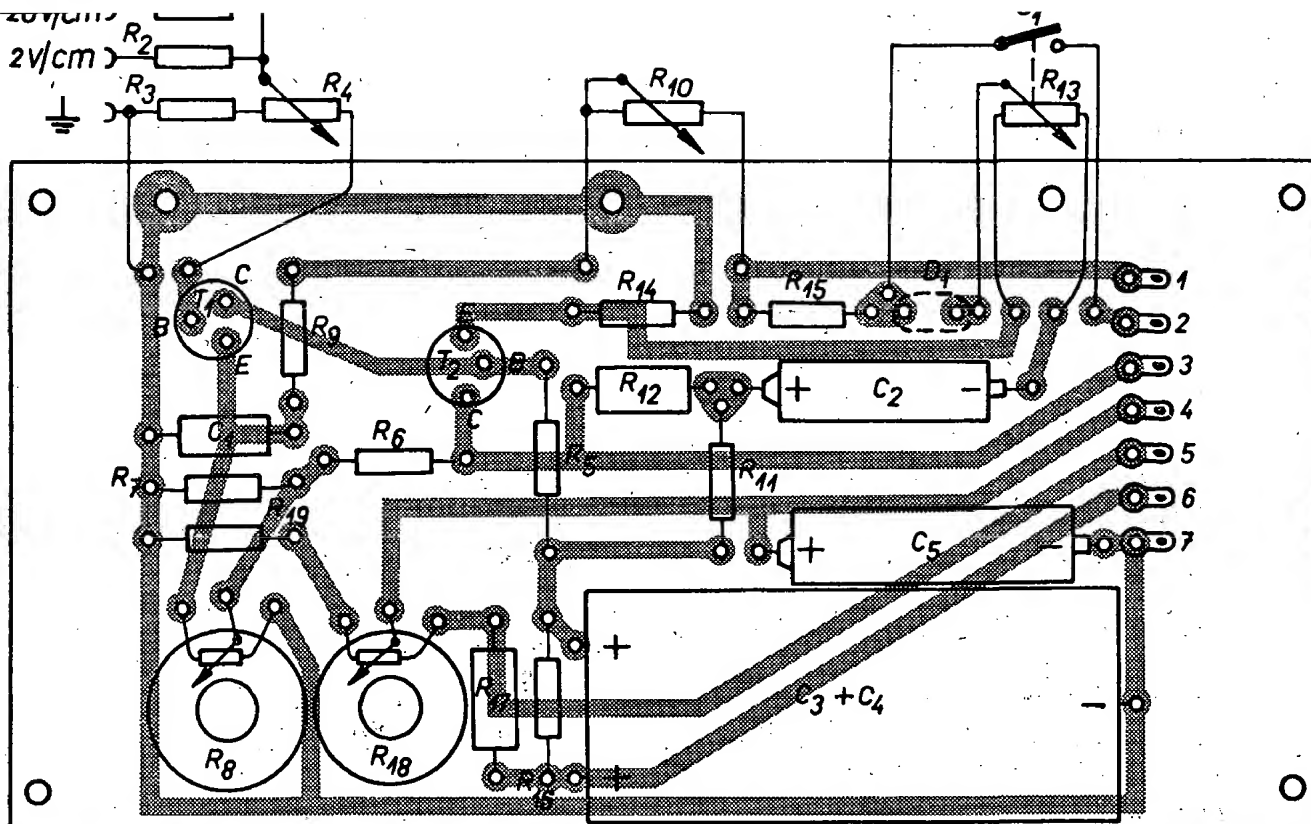
Obr. 2. Zjednodušené zapojení generátoru časové základny

Vertikální zesilovač

Požadavek stejnosměrného zesilovače klade velké nároky na stabilitu zapojení, zejména na jeho teplotní nezávislost. Tento problém lze nejsnadněji vy-

řešit symetrickým zapojením, které však vyžaduje dvojnásobný počet součástí. Proto jsem zvolil jednoduché zapojení zesilovače, jehož stabilita se zvětšuje zavedením silné záporné zpětné vazby. Dosažení velkého stupně záporné zpětné vazby umožňuje u tranzistorových zesilovačů velké napěťové zesílení tranzistorů.

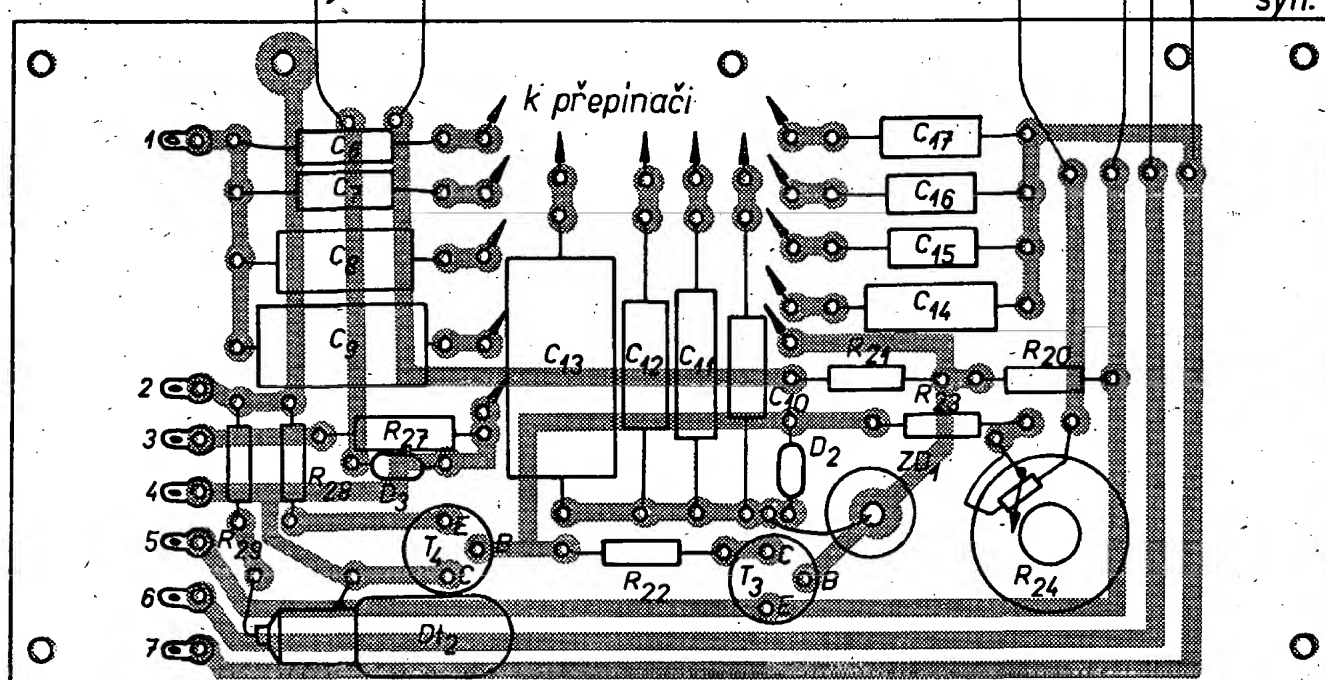
Tranzistory T_1 a T_2 jsou zapojeny jako běžný dvoustupňový zesilovač s přímou vazbou. Zápornou zpětnou vazbu tvoří odpor R_8 a její velikost se nastavuje potenciometrem R_8 . Odpor R_8 současně zmenšuje napájecí napětí zdroje na 150 V na kolektoru úplně zavřeného tranzistoru T_2 . Kondenzátor C_1 upravuje kmitočtovou charakteristiku zesilovače na vyšší kmitočty. Potenciometrem R_{10} se mění pracovní bod tranzistoru T_2 a tím se svisle posouvá obraz. Citlivost zesilovače a tím i celého osciloskopu se nastavuje plynule potenciometrem R_4 . Navíc je možné volit dva rozsahy citlivosti dvěma různými vstupy. Opačným zapojením potenciometru R_4 se zmenší vliv natočení potenciometru na svislý posuv obrazu. Potenciometr R_{13} slouží k nastavení velikosti synchronizačních pulsů při vnitřní synchronizaci a současně k volbě polarity synchronizačních pulsů. Je také sprázen

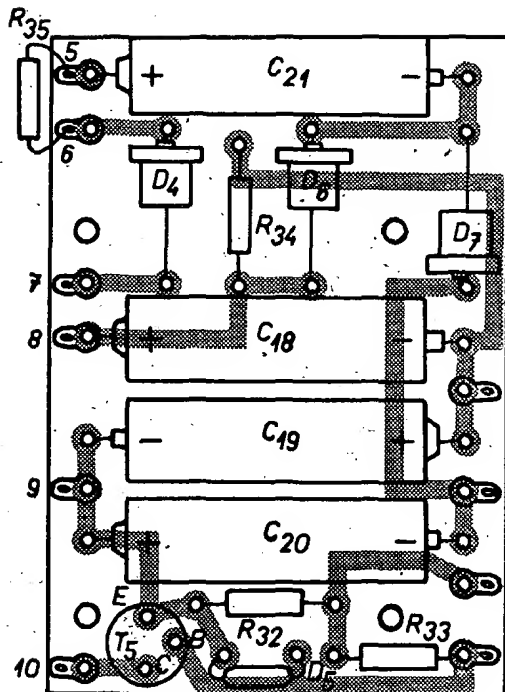


Obr. 3b. Konečný vzhled desky č. 1

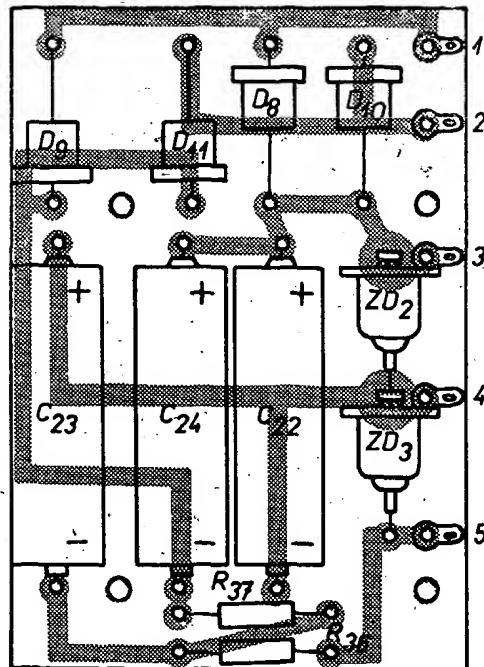
Obr. 4b. Konečný vzhled desky č.

Obr. 4a. Plošné spoje Smaragd C88 (deska č. 2)





Obr. 5. Plošné spoje Smaragd C89 (deska č. 3)



Obr. 6. Plošné spoje Smaragd C90 (deska č. 4)

se spínačem S_1 , jímž se vypíná vnitřní synchronizace. Aby bylo možné spouštět (synchronizovat) časovou základnu kladnými nebo zápornými hraňami pozorovaného signálu, jsou náptí přivedená na oba krajní vývody potenciometru R_{13} navzájem invertzí a podle polohy běžeče potenciometru dochází ke spouštění pulsů jedné nebo druhé polarity. Dioda D_1 propouští jen kladné synchronizační pulsy potřebné pro spouštění obvodu časové základny.

Na desce vertikálního zesilovače je umístěn také odporový dělič R_{17} , R_{18} , R_{19} k získání pevného předpěti pro vychylovací destičky. Toto náptí je stabilizováno doutnávkou D_{t1} , která současně slouží jako indikační zapnutí přístroje.

Napájení

Náptí -6 V a $+6$ V jsou stabilizována Zenerovými diodami ZD_2 a ZD_3 . Obě diody jsou napájeny společně, z jednoho vinutí transformátoru přes dvoucestný usměrňovač s diodami D_8 až D_{11} v Grätzově zapojení. Záporná větev je důkladně filtrována, aby se zabránilo pronikání brumu do zesilovače. Zdroj

$+6$ V musí mít malý vnitřní odpor pro proudové pulsy, proto je kondenzátor C_{22} připojen přímo paralelně k diodě ZD_2 .

Napětí $+300$ V se získává jednocestným usměrňením střídavého napětí z vinutí H_1 transformátoru. Ze stejného vinutí je napájen i zdvojovač napětí D_6 , D_7 pro získání anodového napětí obrazovky. Velikost tohoto napětí a tím i vychylovací citlivost obrazovky se nastavuje změnou odporu R_{35} .

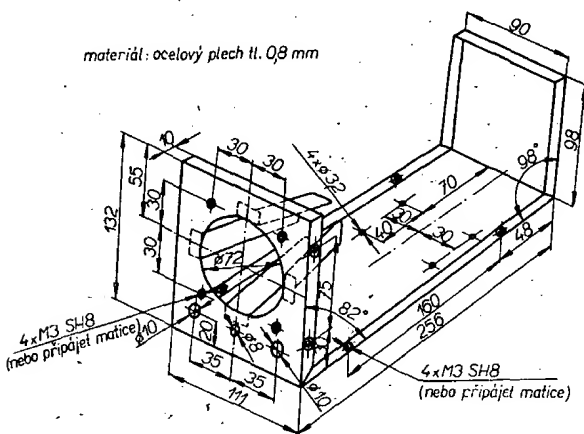
Mechanická konstrukce

Konstrukce osciloskopu se poněkud liší od běžného uspořádání. Neobvyklé je především umístění ovládacích prvků na horní stěně skřínky. Výhodou tohoto uspořádání je jednoduchost a malé rozložení přístroje při použití běžných součástí. Ovládací prvky (kromě potenciometru pro řízení jasu a ostrosti) a všechny zdiřky jsou umístěny na úhelnících pevně spojených s destičkami vychylovacích obvodů a s těmito destičkami tvoří funkční celky. Přívody k potenciometru, zdiřkám a přepinači jsou tedy velmi krátké. Výhodou také je, že připojení těchto součástí je snadné již při

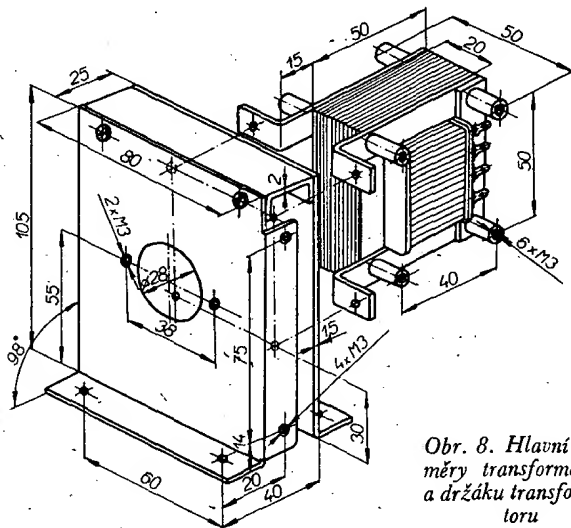
sestavování a zapojování jednotlivých desek s plošnými spoji (obr. 3 až 6).

Rušivý vliv rozpptylového pole síťového transformátoru je odstraněn vhodným umístěním a polohou transformátoru místo obvyklého stínění obrazovky. Transformátor je umístěn za obrazovkou tak, že osa vinutí je souběžná s osou obrazovky.

Kostru přístroje tvoří dolní část skříně (obr. 7). Na ní je přišroubován držák transformátoru, který nese současně i objímku obrazovky (obr. 8). Desky vychylovacích obvodů s ovládacími prvky jsou umístěny po obou stranách obrazovky a jsou přichyceny šroubkami M3 k držáku transformátoru a k přední stěně skřínky. Desky napájecích obvodů jsou připevněny distančními sloupky přímo k transformátoru. Na přední stěně jsou ze zadu připájeny pásky s nalepenou plstí, které drží obrazovku a úhelník s objímkou doutnavky D_{t1} . V obou dolních rozích přední stěny jsou umístěny potenciometry, z nichž levý je potenciometr R_{31} pro nastavování jasu (se síťovým spínačem) a pravý je potenciometr R_{30} pro ostření obrazu. Před obrazovkou je organické sklo s vyrytým rastrem, zasažené v tmavém rámečku.

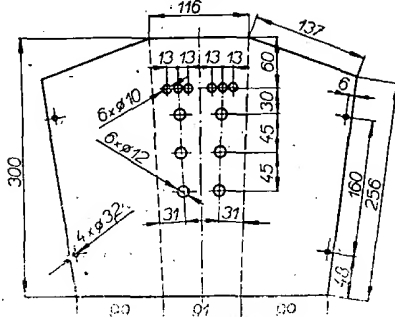


Obr. 7. Hlavní rozměry dolní části skříně



Obr. 8. Hlavní rozměry transformátoru a držáku transformátoru

materiál: ocelový plech tl. 0,8 mm



Obr. 9. Napřímený tvar pláště skříně

Skříň je uzavřena jednoduchým pláštěm (obr. 9), který vpředu přečnívá a tvoří tak stíničko proti vnějšímu osvětlení obrazovky. Horní části pláště je opatřena štítkem s vyznačením funkcí jednotlivých ovládacích prvků a zdířek. Knoflíky ovládacích prvků jsou z magnetosonu Sonet-duo. Maska obrazovky je na obr. 10, uspořádání jednotlivých dešek s plošnými spoji a umístění v přístroji na obr. 11.

Součástky

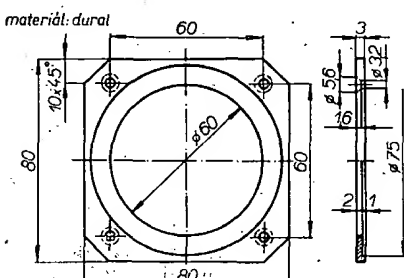
Tranzistory

Obvody jsou navrženy s dostatečnou bezpečností, s ohledem na možné rozptyly v parametrech tranzistorů, především jejich proudového zesílení. To znamená, že všechny zakoupené tranzistory, pokud se jejich hodnoty pohybují v tolerancích uvedaných katalogem, by mely v zapojení vyhovět. Přesto je vhodné tranzistory předem změřit a podle jejich skutečných vlastností určit, který tranzistor bude na kterém místě nejlépe vyhovovat. Při výběru tranzistorů je třeba se řídit těmito zásadami: tranzistor T_2 a T_4 musí snést kolektorové napětí větší než 160 V. Největší proudové zesílení by mely mít tranzistory T_4 a T_1 .

Tranzistory KF517 a KFY16 nejsou v současné době v prodeji. Protože však je již delší dobu n. p. Tesla Rožnov běžně vyrábí a dodává podnikům, doufám, že se co nejdříve objeví i na trhu. Tyto tranzistory je možné nahradit prakticky jakýmkoli křemíkovým tranzistorem typu p-n-p, který má povolený špičkový průvod báze alespoň 30 mA. V nouzi vyhoví i germaniový tranzistor, např. GC508 (s co nejmenším I_{EB0}) s diodou KA501 zapojenou do emitorového přívodu, podle obr. 12. Použitím germaniového tranzistoru se však poněkud zhorší stabilita časové základny.

Zenerovy diody

Diody ZD_2 a ZD_3 mají mít napětí 6 V při proudu asi 20 mA. Napěti diody ZD_1 má být co nejmenší, ale takové, aby při 6 V netekl diodou proud větší než 5 μA .



Obr. 10. Maska obrazovky

Tab. 1.

Vinutí	Vývody	Počet závitů	ϕ [mm] a druh drátu
I	1-2	2 500	0,125 CuP
II	3-4	3 320	0,18 CuP
III	5-6	250	0,2 CuP
IV	7-8	78	0,5 CuP

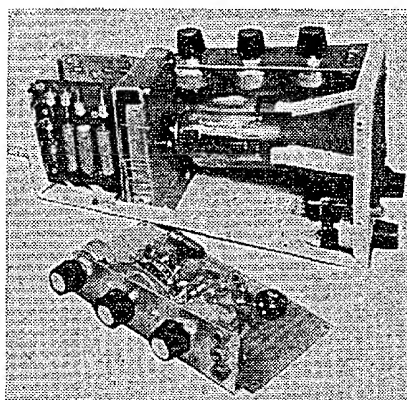
Doutnavky

Doutnavka Dt_1 je běžná indikační doutnavka typu 94052 s napětím 100 až 110 V.

Doutnavka Dt_2 má zásadní význam pro obvod generátoru časové základny a proto je nutné ji pečlivě vybrat. Nejlepší se osvědčila doutnavka MN5 (nebo dostupnější RN500). Lze použít i jiný typ, důležité je dodržet zápalné napětí 150 až 160 V a zhášecí napětí co nejméně, nejméně o 20 V menší než napětí zápalné.

Transformátor

Transformátor je navinut na jádře z plechů EI20 (plechy lze získat rozebráním síťového transformátoru ST63), průřez středního sloupku je 20×20 mm. Počty závitů jednotlivých vinutí jsou v tab. 1.



Obr. 11. Vnitřní uspořádání osciloskopu

Ostatní součástky

Kondenzátor C_{22} je na napětí 6 V, $C_{23} - 12$ V, $C_{24} - 25$ V, $C_{20} - 50$ V, $C_5 - 100$ V a zbyvající elektrolytické kondenzátory jsou na napětí 350 V. Kondenzátor C_3 , C_4 je dvojitý TC 535 32 + 32 μF .

Z ostatních kondenzátorů by mely být C_{14} až C_{17} na napětí 600 V, nejméně však 400 V.

Kondenzátory C_{10} až C_{13} , které určují kmitočet časové základny, musí být přesně vybrány.

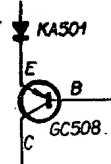
Odpory R_{12} , R_{17} , R_{27} jsou typu TR 153, všechny ostatní TR 152.

Potenciometry jsou lineární typu TP280 (R_{13}) a TP281 (R_{31}).

Místo odporových trimrů jsou použity malé potenciometry: R_8 , R_{24} - TP680, R_{18} - TP180 se zkráceným hřidelem a zárezem pro šroubovák.

Poznámky ke stavbě a uvádění do chodu

Jednotlivé funkční celky (destičky, transformátor apod.) jsou propojeny zapojovacím drátem s izolací PVC. Vodiče je možné vést ve svazku a, žádný nemusí být stíněn.



Obr. 12. Náhrada křemíkových tranzistorů p-n-p germaniovými

Objímka obrazovky je natočena tak, že klíč směřuje doprava při pohledu zadu.

Při správném zapojení a použití dobrých součástí spočívá uvádění do chodu jen v nastavení a ocejchování přístroje.

Po zapnutí přístroje, nastavení jasu a zaostření stopy nejdříve (potenciometrem R_{18}) posuneme stopu paprsku v horizontálním směru tak, aby byla uprostřed obrazovky. Přitom svislý posuv vyrovnáváme potenciometrem R_{10} . Pak upravíme odporem R_{35} délku stopy paprsku podle rastrova na 5 cm. Přesné nastavení kmitočtu časové základny a zesílení vertikálního zesilovače děláme v krajních polohách potenciometrů R_{25} a R_4 . Kmitočet časové základny nastavujeme potenciometrem R_{24} na jednom z rozsahů (v jedné poloze přepínače P_1) porovnáním s vnějším napětím známého kmitočtu, např. síťovým napětím. Citlivost vertikálního zesilovače nastavíme potenciometrem R_8 . Pro porovnání lze použít vnitřní zdroj +6 V nebo -6 V.

* * *

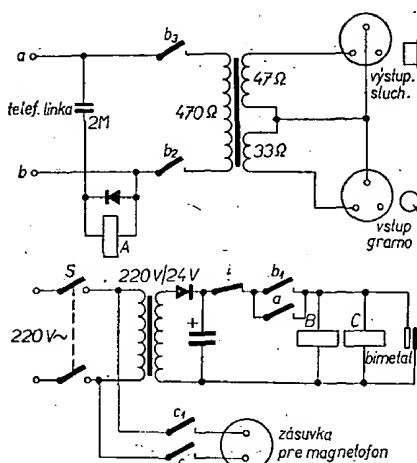
Automatický vybavovač telefonních hovorů

Mnoho raz sme so závislou čitali v technických časopisoch, že na západě si môže majiteľ telefónu kúpiť zariadenie, ktoré za neho telefonný hovor vybaví. Takéto zariadenie bude zaiste drahé, aj keď sa bude vyrábať u nás.

Tento malý „zázrak“ sa mi podarilo zhotoviť z niekoľkých relé a spolu s magnetofónom znamenie funguje. Jeho služby ocení zvlášť ten, kto sa pohybuje mimo dosah telefonného přístroje a v čase jeho „nezvestnosti“ by mu mohli ujsť dôležité odkazy.

K stavbe automatu potrebujeme 2 ks telefonného relé asi $1\ 000\Omega$, telefonný transformátor s troma vinutiami (používaný v starších telefonních přístrojoch), relé na 24 V so silovými kontaktami, bimetál, kondenzátor $2\ \mu\text{F}$, dve diody KY701 až 705 a transformátor 220 V/24 V. Po zapojení súčiastok podľa schématu (obr. 1) pripojime magnetofón, ktorý má dva korekčné zesilovače (B46, B43), alebo iný štvorstopý magnetofón s prídavným zesilovačom (B42, B4, B3) dvomi šnúrami na telefonný transformátor tak, že z jedného vinutia pôjde signál do magnetofónu a bude sa nahrávať napr. na stopu č. 1 a zo stopou č. 3 bude sa prehrávať už vopred nahovorený text, ktorý sa v transformátore transformuje do

linky a tým k volajúcemu účastníkovi. Funkčne teda magnetofón zapneme tak, že jedna stopa bude zapojená na nahrávanie (č. 1) a druhá stopa bude prehrávať. Na páos si vopred nahovoríme text (na stopu č. 3), napr.: „Tu je 320-23, nie som doma, telefón za mňa vybavuje magnetofón“ atď. Zariadenie pripojíme na telefónne vedenie samostatne, alebo paralelne s telefónnym prístrojom. Ak je telefónny aparát zavesený, činnosť automatu to neovplyvní. Ak účastník vytvári naše číslo, vyzváňacím prúdom pritiahne na okamžik relé A v obvode: telefónna linka „a“ - kondenzátor $2\text{ }\mu\text{F}$ - relé A - telefónna linka „b“. V prípade, že automat je zapnutý do siete, relé A zapoji relé B v obvode: zdroj - kontakt bimetalu - kontakt relé A - relé B - zdroj. Relé B sa trvale pridrží samodržným kontaktom b_1 a zároveň kontaktami b_2 , b_3 uzavre stejnosmerný obvod pre telefónnu linku cez pripojený hovorový transformátor. Volajúci účastník to zaregistrova ako zdvihnutie telefónu.



Obr. 1.

Zároveň s relé B však pritiahne aj relé C, ktoré je pripojené paralelne k relé B. To svojimi kontaktami c_1 , c_2 pripojí sieť do magnetofónu, ktorý sa rozbehne a začne prehrávať text, ktorý sme už predtým nahovorili. Cez kontakt bimetalu a b_1 je však zapojený aj obvod vinutia bimetalu, ktorý sa začne zahrievať. Po nahriatiu rozpoji svoj kontakt, tým i relé B a C a magnetofón sa zastaví. V mieste pásku, kde sa magnetofón zastavil, však už môžeme mať nahraný iný text a celý cyklus sa môže opakovať. Čas, za ktorý bimetal vypne, sa môže nastaviť buď najustavaním kontaktov, alebo odporom zapojeným do série s bimetalom. Stačí, keď ho riastavíme na 1 až 1,5 minúty. Doba nahriatia však kolísie v rozmedzí niekoľkých sekúnd podľa napäcia v sieti; lepšie by bolo použiť namiesto neho klopňový obvod, ktorý preklopí na signál nahraný na pásku. Vtedy by zastavenie bolo presné na centimeter, ale bolo by aj drahšie. Bimetal vo väčšine prípadov vyhovie.

Pri prepínani funkcie magnetofónu treba dať pozor, aby nezostalo stlačené stop-tlačítko, lebo magnetofón by sa sice zapol, ale nerozbehol.

Miloslav Kotulič

Císlicová výbojka

Tesla ZM1020

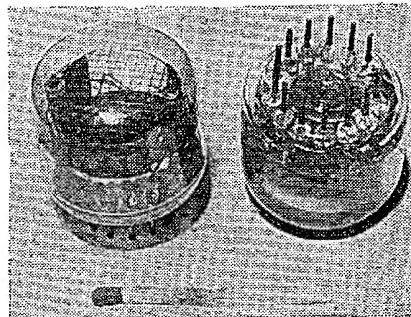
J. Deutsch, OK1FT

Již několik let se vyrábějí k různým vědeckým a technickým účelům číslicové přístroje s přímou indikací. Jmenujme např. čítače pulsů pro laboratoře jaderné techniky nebo jiné čítače pulsů odvozených z fyzikálních veličin, určené k měření nebo řízení výrobních zařízení. Jistě si vzpomenete na některý z takových čítačů, u nichž se číslice znázorňovaly doutnavkami podobnými indikačním „neonkám“. Pro každý řadu čísla bylo nutné použít deset takových doutnavek, takže pro šest řádu to bylo sedesát doutnavek, umístěných obvykle po deseti pod sebou na panelu přístroje. Doutnava byla zakryta okénkem s průsvitnou číslicí. Čtení nebylo příliš přehledné, protože jednotlivé číslice byly v různých výškách nad základnou přístroje a byly příliš malé.

Od těch dob bylo vyvinuto mnoho různých druhů indikačních zařízení. Jsou to např. elektromechanicky překlápné desky s číslicemi v jednom pouzdru. Tento způsob je vhodný tam, kde jde o velké číslice a ne příliš velké změny jednotlivých čísel. Rychlejší jsou indikátory, v nichž se jednotlivé číslice promítají z malého diafilozitivu na matnici. Takové indikátory se vyrábějí s číslicemi velkými několik centimetrů. U dalšího druhu indikátoru vytvářejí jednotlivé číslice svítící body (prohlubně s drsným povrchem) na tenkých destičkách z čiré organické hmoty s velkým indexem lomu světla. Světlo se zavádí do některé hrany destičky. Deset takových destiček s příslušnými žárovkami je umístěno nad sebou v jednom pouzdru. V poslední době se v některých zemích využívají a začínají vyrábět indikátory čísel, písmen a znaků, které obsahují plošku sestavenou ze svítících bodů, vytvořených malými svítivými polovalodičovými diodami. V pouzdru je také vestavěn dekódér (monolitický integrovaný obvod), který podle signálu na jeho vstupu zapne příslušné diody, které pak vytvoří svítící znak.

V tomto článku se však chci zabývat číslicovou výbojkou, protože je u nás dosažitelná a je z uvedených indikátorů pravděpodobně nejlevnejší. Kromě toho má proti ostatním výhodu dlouhé životnosti a značné spolehlivosti, protože neobsahuje žádné pohyblivé součásti ani žárovky. Znaky jsou poměrně dobře čitelné i z větší vzdálenosti a díky barevnému filtru na baňce i za přímého denního světla.

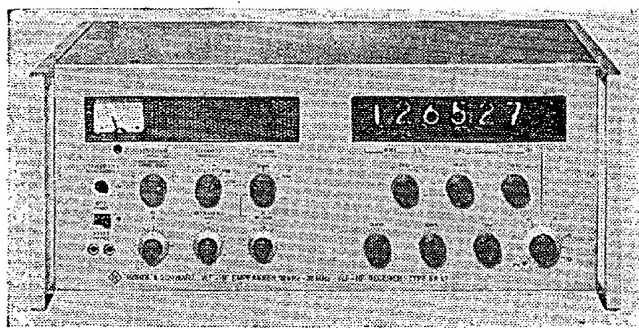
Teprve tyto indikátory umožnily konstrukci mnoha laboratorních a technických přístrojů v nejrůznějších obozech. Velmi známé jsou číslicové měřicí přístroje pro napětí, proud a odpor, dále čítače pulsů a z nich odvozené měříče kmitočtu, času, rychlosti otáčení točivých strojů, počítadla při navijení cívek, odporů, textilních a papírenských výrobků, zařízení pro řízení výrobních postupů, zařízení pro zpracování dat, kancelářské počítací stroje, váhy apod. Jedno z nejnovějších zařízení, které bude zajímat amatéry vysílače, je komunikační přijímač EK47 firmy Rohde & Schwarz, v němž se číslicové výbojky používají místo obvyklé stupnice (obr. 1). Nastavený kmitočet je indikován přímo v šesti řádech číselci vysokými 16 mm. Jednotlivé číslice se přepínají současně při nastavování syntetizéru (dekadicky přepínatelný oscilátor, pracující na základě syntézy jednotlivých kmitočtů odvozených ze stabilního krystalového oscilátoru). Další zajímavý přístroj též firmy, který



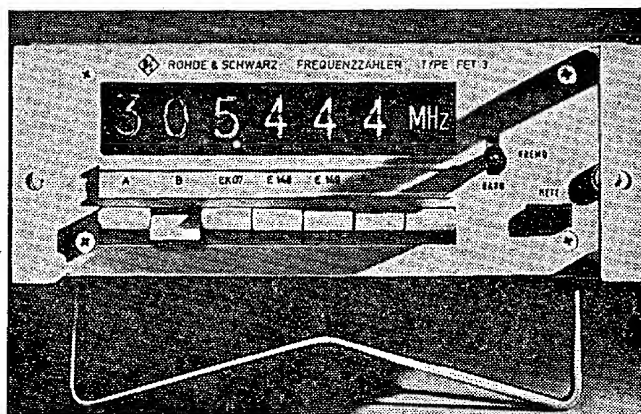
také používá číslicové výbojky, je měřič kmitočtu FET3 pro přijímače. Připojuje se k výstupu oscilátoru přijímače a udává kmitočet oscilátoru korigovaný o mf kmitočet v šesti řádech v rozsahu 10 kHz až 350 MHz s rozlišovací schopností 100 Hz do 35 MHz a 1 kHz nad 35 MHz (obr. 2).

Zmínil jsem se jen velmi stručně o několika druzích indikátorů a o několika možnostech jejich praktického použití. Dále popisovaná číslicová výbojka ZM1020 nebude jedinou u nás vyráběnou. V nejbližší době se k ní přidruží ještě typ ZM1030 a ZM1080. První má tvar novalové elektronky, je vysoká 49 mm, její průměr je 22 mm a číslice 0 až 9 (15 mm vysoké) jsou čitelné při pohledu na bok baňky. Druhá je uspořádána podobně, je vysoká 47,5 mm, průměr je 19 mm a číslice 0 až 9 jsou 13 mm vysoké. Tato výbojka má 13 drátových vývodů.

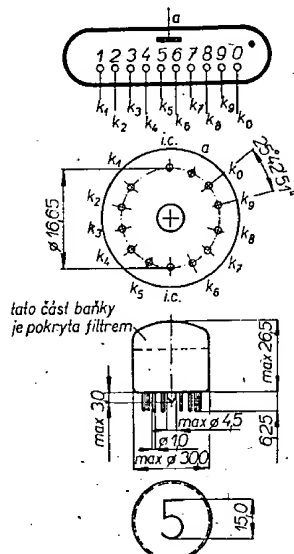
Číslicová výbojka ZM1020 je ekvivalentem zahraničních číslicových výbojek se stejným označením. Rozměry a uspořádání se podobají výbojce TESLA 10TU26 [1]. Její rozměry jsou na obr. 3 a elektrické údaje v tab. I. Elektrodotový systém, tj. anoda a deset katod ve tvaru čísel 0 až 9, jsou izolovaně uspořádány na skleněné patce nad sebou. Patka má 13 kolíků a její zapojení je rovněž na obr. 3. Anoda má tvar sitky a je umístěna nad svíticími katodami. Výbojka je plněna směsi netečných plynů s dalšími přísadami, které prodlužují životnost výbojky a stabilizují její zápalné napětí. Celní oblast baňky, již se pozorují číslice, má na vnější straně lakový oranžový filtr, který zvětšuje kontrast a tím zlepšuje čitelnost. Za průměrných světelných podmínek jsou 15 mm vysoké číslice čitelné ještě ze vzdálenosti asi 10 m. Většinou se však výbojky ZM1020 používají v přístrojích, u nichž se s takovými vzdálenostmi čtení nepočítá. Vnitřní uspořádání je voleno tak, aby proudy jednotlivých čísel - katod, které musí mít pochopit-



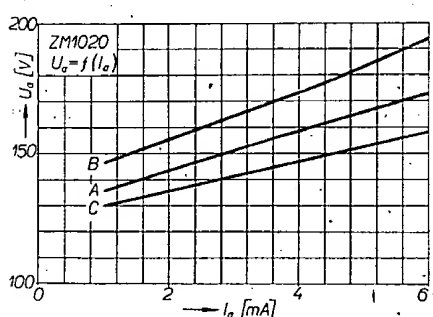
Obr. 1. Komunikační přijímač Rohde & Schwarz



Obr. 2. Měřic kmitočtu pro přijímače

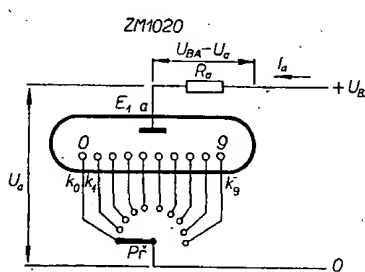


Obr. 3. Rozměry a zapojení patice číslicové výbojky Tesla ZM1020



Obr. 4. Anodové napětí U_a v závislosti na anodovém proudu I_a jedné dráhy číslicové výbojky ZM1020.

A - jmenovitá charakteristika (teplota baňky 0 až +25 °C),
 B - mezní charakteristika (teplota okolo +70 °C),
 C - mezní charakteristika (teplota baňky 0 °C)



Obr. 5. Jednoduché zapojení číslicové výbojky s přepínačem. Svítí katoda k_0 , ostatní nesvítí

telně různý tvar a jsou různě vzdáleny od anody, byly pokud možno stejně.

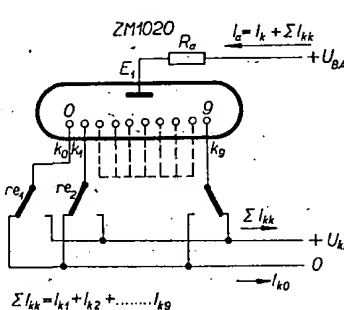
Jedna katoda číslicové výbojky (spolu s anodou) pracuje podobně jako např. známá stabilizační výbojka. Důležitým údajem pro provoz je v první řadě největší zápalné napětí mezi anodou a kteroukoliv katodou U_{az} . Napětí napájecího zdroje U_{BA} musí být i za nejnepravidlivějších provozních podmínek větší než 160 V (tab. 1). Stejně jako stabilizační výbojka, nesmí se ani číslicová výbojka připojit bezprostředně k napájecímu zdroji, protože by se po zapálení výboje příliš velkým proudem mezi anodou a katodou zničila. Do série s výbojkou se proto zapojuje odpor R_a , který proud výbojkou omezuje na bezpečnou velikost. Vhodným místem pro připojení tohoto odporu je vývod anody, protože pak jediný odpor omezuje proud při provozu kterokoli katody. Při volbě velikosti tohoto odporu vycházíme z charakteristiky na obr. 4 a přihlížíme k rozsahu povoleného anodového proudu (stejnosměrného) I_a z tab. 1, tj. 1 až 3 mA. Přitom s výhodou volíme co největší napájecí napětí U_{BA} , což přispívá k dobré funkci výbojky během celé doby života. Obvyklé napájecí napětí je 200 až 300 V. Odpor vypočítáme tak, že na charakteristice určíme bod příslušné zvolenému jmenovitému anodovému proudu I_a podle charakteristiky A na obr. 4 a na svislé ose zjistíme anodové napětí U_a (napětí mezi anódou a katodou). Rozdíl mezi napájecím napětím zdroje U_{BA} a anodovým napětím U_a dělený anodovým proudem je rovný sériovému odporu R_a . Jmenovitou velikost odporu R_a jsme vypočítali při použití jmenovité číslicové

výbojky. V praktickém zapojení se budou proudy u jednotlivých výbojek a jednotlivých číslic mírně lišit od předpokládané hodnoty. Zakreslime-li do sítě charakteristik na obr. 4 přímkou o oporu R_a , vidíme, jaké změny I_a (popřípadě U_a) se dají očekávat při různých teplotách okolí a při změně U_{BA} a R_a .

Nejjednodušší zapojení číslicové výbojky, které se používá také ke zkoušení výbojek, je na obr. 5. Přepínač P se ovládá ručně, nebo může být nahrazen jiným mechanickým nebo elektronickým zařízením. Všechno, co jsem dosud o provozu číslicové výbojky uvedl, platí jen tehdy, jsou-li nesvítící katody z obvodu odpojeny. V praxi je však častější jiný způsob přepínání jednotlivých číslic (obr. 6). Svítící katoda je připojena na záporný pól zdroje U_{BA} a ostatní katody se připojí na pomocný zdroj kladného předpěti U_{kk} . Tím je

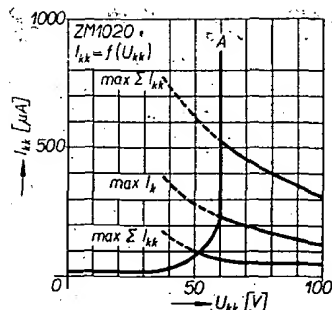
Tab. 1. Údaje číslicové výbojky Tesla ZM1020

Provozní údaje	
Výška číslic:	15 mm
Indikované číslice:	1 2 3 4 5 6 7 8 9 0
Anodový proud I_a jmenovitý:	2 mA
Minimální napětí napájecího zdroje U_{BA} :	170 V
Minimální anodový proud I_a :	1 mA
Maximální anodový proud I_a :	3 mA
Vrcholový anodový proud při napájení nevyhlazeným, dvoucestně usměrněným napětím I_{av} :	6 mA
Zhášecí napětí U_a min:	118 V
Absolutní mezní údaje	
Anodové zápalné napětí U_a min:	160 V
Anodový proud I_a min:	1 mA, stejnosměrný, usměrněný, střídavý a pulsní
Vrcholový anodový proud I_{av} max:	2 mA
(při vrcholovém anodovém proudu větším než 6 mA mohou svítit přívody ke katodám uvnitř baňky)	10 mA
Teplota okolí t_a :	-50 °C až +70 °C



Obr. 6. Zapojení číslicové výbojky s přepínačem a zdrojem předpětí U_{kk} . Svítí katoda k_0 , ostatní nesvítí. Katody k_2 až k_8 jsou připojeny ke kontaktem přepínače re_3 až re_9 . Poloha této nezakreslených přepínačů je stejná jako u re_2 , popř. re_{10}

(kontakt re_1 je zakreslen v opačné poloze)

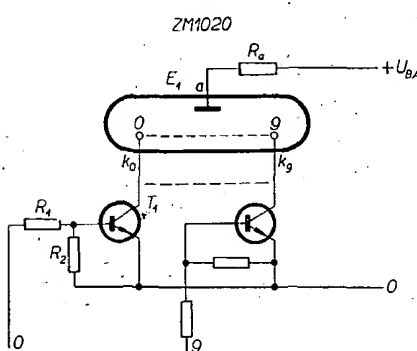


Obr. 7. Závislost proudu nesvítící katody I_{kk} , resp. součtu proudu ΣI_{kk} všech nesvítících katod na napětí U_{kk} . A – křivka omezuje jmenovitý pracovní bod číslicové výbojky. Jmenovitý pracovní bod musí ležet vpravo od křivky A.

napětí mezi nesvítícími katodami a anodou menší než zápalné napětí U_{az} a katody se nemohou rozsvítit. Napětí U_{kk} musí být ovšem dostatečně velké. Jako minimum se uvádí 60 V; takové napětí zaručuje, že viditelný výboj kolem nesvítících katod (tzv. pozadí) ještě neruší. Napětí U_{kk} nesmí být také příliš velké, protože pak se nesvítící katody stanou oproti svítící katodě anodami. Tím je napětí U_{kk} omezeno asi na max. 120 V. V praxi se často používá předpětí $U_{kk} = 100$ V. Provozní podmínky taktéž přepínané číslicové výbojky jsou zřejmě z charakteristik na obr. 7. Nesvítícími katodami teče určitý malý proud I_{kk} , všechny nesvítícími katodami jejich součet ΣI_{kk} . Tento proud se s zmenšujícím předpětím U_{kk} zvětšuje a tím zesiluje „pozadí“, které zhoršuje čitelnost. V charakteristice je zakreslena křivka A, která omezuje jmenovitý pracovní bod pro vhodné provozní podmínky. Tento pracovní bod má při jmenovitých provozních podmínkách ležet vždy vpravo od křivky A. Proud I_{kk} má stejný směr jako proud svítící katody I_k . Sériovým odporem v anodovém přívodu teče nejen proud I_k , ale také součet proudů I_{kk} . K tomu je třeba přihlížet při návrhu odporu R_a a proud I_k v tomto zapojení musíme měřit vždy v přívodu ke svítící katodě.

Dosud jsme předpokládali, že napájecí napětí U_{BA} je stejnosměrné. Číslicová výbojka ZM1020 je však vhodná i pro napájení nevyhlazeným dvoucestně usměrněným napětím. Pro takový průběh napájecího napětí je povolen maximální vrcholový proud 10 mA.

Otočné nebo tlacítkové přepínače se



Obr. 8. Zapojení číslicové výbojky se spínacími tranzistory

pro složitější účely použití nahrazují elektronickými spínači. U nás se k tomuto účelu hodí spínací výbojky se studenou katodou a tranzistory s větším mezním kolektorovým napětím. Protože spínací výbojky vyžadují vstupní signál několik desítek voltů, je snazší pracovat s tranzistory. Jednoduché zapojení elektronických spínačů je na obr. 8. V přívodu každé katody číslicové výbojky je zapojen v sérii s dráhou anoda-katoda výbojky tranzistor n-p-n. Vede-li tranzistor, je příslušná katoda spojena se záporným pólem zdroje U_{BA} a příslušná katoda svítí. Je samozřejmé, že ostatní tranzistory musí být zavřeny. Odpór R_1 omezuje proud báze I_B na povolenou velikost, obvykle menší než je mezní, přitom však dostatečnou pro dosažení potřebného proudu I_C při minimálním proudovém zesílení tranzistoru. Odpór R_2 mezi bází a emitem zaručuje velké mezní napětí mezi kolektorem a emitorem. Napětí U_{kk} na vypnutých katodách může být stabilizováno pomocným zdrojem asi 100 V, k jehož kladné svorce jsou připojeny kolektorové odpory všech tranzistorových spínačů. V praxi se však ukazuje, že tento odpór a pomocný zdroj nejsou nutné a napětí U_{kk} se samočinně nastavuje podle mezin

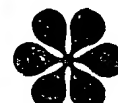
ního napětí použitých tranzistorů a proudu I_{kk} příslušné nesvítící katody. Při použití tranzistoru KF504 je takto získané napětí U_{kk} asi 100 V, při použití tranzistoru KF503 asi 60 V. Napětí U_{BA} je 200 až 250 V, odpór $R_a = 15$ až 27 k Ω . Na obr. 8 nejsou proto zakresleny kolektorové odpory.

Je tedy zřejmé, že k přepínání číslic pro jednu číslicovou výbojku je třeba deseti spínacích tranzistorů. Některé zahraniční firmy proto vyrábějí monolitické integrované obvody, které obsahují nejen 10 spínacích tranzistorů, ale někdy i tzv. dekodér. Dekodér je totiž u číslicových přístrojů s indikací téměř vždy nutný, neboť signál pro spínání číslicové výbojky nebývá k dispozici v kódů „1 z 10“⁴, ale je zakódován jiným způsobem. Dekodery bývají sestaveny z diodových nebo jiných hradel, je však možné zapojit spinací tranzistory tak, aby současně působily jako dekodér.

Literatura

- [1] Kubát, A., Deutsch, J.: Indikační výbojka TESLA 10TU26. Slaboproudý obzor 22 (1961), č. 7, str. 412.

ANTÉNA TRIPLE-S

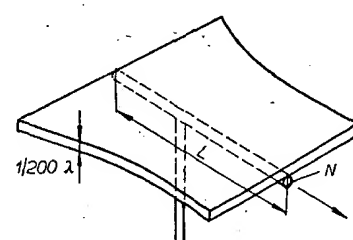


Juraj Bartok

V minulom roku sa v niektorých zahraničných časopisoch objavili stručné zprávy o pozoruhodných anténach, ktorých názov sa zväčša uvádzá ako „Triple - S“. Americká inštitúcia E. N. F. F. dala tejto antene tiež názov Sgual-Sgual-Sgual. Tento názov si netrúfa preložiť ani prekladateľ v maďarskom časopise Rádiotechnika a preto zostaňme u názvu „Triple - S“.

Pri popise funkcie antény sa autor zmieňuje o tom, že napr. zisk antény typu Yagi je do určitej miery závislý od jej dĺžky. Tiež vieme, že pridaním 4 až 5 prvkov je vzostup zisku nepatrný, avšak pri veľkom počte pridaných prvkov sa zisk antény začne predsa pozoruhodne zväčšovať. Pracovníci americkej vedeckej inštitúcie E. N. F. F. venovali veľkú pozornosť otázkam zvyšovania zisku antény, a to z dôvodov veľmi praktických. Vychádzali z úvahy, že keď by napr. umiestnili vedľa seba napr. milión prvkov, že by to bolo prakticky nerealizovateľné. Keď bysme však počet prvkov zvýšili z milióna na nekonečné množstvo, tak problém sa zaraz stáva riešiteľným. Potom totiž stačí vyrezat z kovového materiálu obrazec podobajúci sa lichobežníku, pričom jeho bočné strany sú mierne zakrivené (obr. 1). Krivky vznikajú pospájaním koncových bodov myšlených prvkov antény Yagi pre príslušný televízny kanál. Laboratórne merania potvrdili, že pri takomto tvaru antény sa rezonancia objaví asi o 5 až 7 % nižšie, ako by to v skutečnosti malo byť. Z tohto dôvodu je dôležité všetky strany o 5 až 7 %. zmeniť na obrazci, prv než ho vyrežeme z príslušného vodivého materiálu.

V tabuľke uvádzam vzťahy medzi dĺžkou nosnej stredovej vodorovnej trubky a ziskom. Merania sa prevádzali pri kmitočte 270 MHz (1,10 m). Potvrdilo sa, že zisk sa približuje k úrovni 20 dB



Obr. 1. Kovová anténa „Triple - S“. N – nošná vodorovná tyč

Tab. 1. Závislosť dĺžky L antény na zisku pri 270 MHz

L [m]	Zisk
1,54	16 dB
1,76	18 dB
1,98	19 dB
2,00	19,3 dB
4,05	19,7 dB

SPRÁVNÉ ODPOVĚDI NA KONTROLNÍ TESTY

kvadrantu úplné soustavy skupin charakteristik, převodní charakteristiky se zobrazí do (2) kvadrantu. Ve třetím a čtvrtém kvadrantu, kde by se zobrazila funkce y_1 , se za předpokladu $I_g = 0$ nezobrazuje žádná charakteristika.

U vakuových elektronek se někdy zobrazuje ještě funkce y_2 v souřadnicové soustavě U_x , U_a s parametrem I_a ; zakresluje se do (v tomto případě volného) čtvrtého kvadrantu. Tato skupina charakteristik o nich se nebude bližě zmiňovat, se označuje jako skupina charakteristik izoproudových nebo izoamperových.

S typickým průběhem výstupních (anodových) a převodních charakteristik základních vakuových elektronek lze se iž seznámit - viz např. obr. 66, 75, 76. Podobně padé proud mřížky I_m místo výstupního napětí U_2 čtyřpólu budeme psát symbol pro napětí mezi (1) a katodou elektronky. tj. anodové napětí U_a . Výstupním proudem I_a pak bude anodový proud (2) (obr. 133).

Charakteristické rovnice vakuové triody budou mít potom tvar:

$$I_g = y_1 (U_g, U_a), \\ I_a = y_2 (U_g, U_a).$$

Odpovědi: (1) anodu, (2) druhého, (3) převodních.

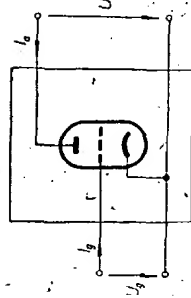
2.13.10.2 Soustavy charakteristik základních vakuových elektronek

Za běžných podmínek pracují vakuové triody vždy se záporným mřížkovým přepadem P (tzw. klidové mřížkový přepad). Za této podmínky proletí elektronky emisované katodou triody mřížkovou přímo ke kladné (1) triodi na záporné mřížce se nezachytí prakticky žádný elektron. Mřížkový proud je tedy zanedbatelný malý, takže charakteristické rovnice, typu y , přejdou na tvar:

$I_g = 0,$
 $I_a = y_2 (U_g, U_a).$

V tomto případě samozřejmě funkci y_1 nezobrazujeme; ze čtyř skupin úplné soustavy charakteristik čtyřpólu (obr. 123, 124) kréslíme jen skupinu výstupních (u vakuových elektronek jím obvykle říkáme anodové) charakteristik a skupinu charakteristik převodních. Výstupní (anodové) charakteristiky se zobrazují do prvního

$$\Delta I_1 = y_{11} \Delta U_1 + y_{12} \Delta U_2, \\ \Delta I_2 = y_{21} \Delta U_1 + y_{22} \Delta U_2.$$



Obr. 133.

to případě můžeme psát místo obecně výjádřeného vstupního napětí U_1 čtyřpólu napětí na vstupních svorkách triody, tj. napětí mezi jíž mřížkou a katodou U_{ak} (v dalsím budeme zkraceně psát jen U_a). Vstupním proudem I_i čtyřpólu bude v našem případě proud mřížky I_m , místo výstupního napětí U_2 čtyřpólu budeme psát symbol pro napětí mezi (1) a katodou elektronky. tj. anodové napětí U_a . Výstupním proudem I_a pak bude anodový proud (2) (obr. 133).

Charakteristické rovnice vakuové triody budou mít potom tvar:

Odpovědi: (1) anodou, (2) druhého, (3) převodních.

2.13.10.3 Linearizované náhradní obvody základních vakuových elektronek

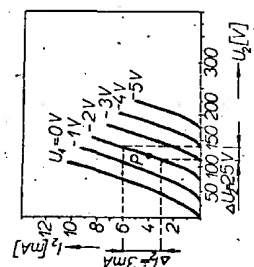
Víme, že při malých změnách obvodových veličin čtyřpólu (pracovní bod se pohybuje v malém úseku charakteristiky) lze místo obecných charakteristických rovnic, popisujících čtyřpól obecněji, použít tzv. rovnice linearizované a podle nich popřípadě nakreslit linearizované náhradní (1) čtyřpóly. To platí i pro elektronky. Popohybují se pracovní bod elektronky během lejšího provozu v dostatečně malém okolí klidového pracovního bodu, je možné elektronku považovat za odporový čtyřpól nahradit jejím linearizovaným náhradním obvodem. Postup linearizace těchto náhradních obvodů jsme již poznali.

Vycházejme z příslušné soustavy linearizovaných charakteristických rovnic. Protože vakuovou elektroniku popisujeme zpravidla pomocí charakteristických rovnic y , vymezených I_g se rovná vystupnímu proudu ΔI_{12} se rovná $\Delta I_{12} = 4I'_{12} + \Delta I''_{12}$. Cílem $\Delta I''_{12}$ se v našem případě rovná $h_{12} \Delta I_{11}$, člen $\Delta I''_{12}$ se rovná (3). Je jasné že obvod, který by odpovídal poslední rovnici (6), může tvorit jeden paralelní spojení dvou prvků (obr. 128c). Nyní již zbyvá zakreslit do náseho náhradního obvodu podle obr. 128c jednotlivé

Kontrolní test 2-49: A - Výraz $\Delta U_1 = 0$ vyjadřuje skutečnost, že změny vystupního napětí jsou nulové, že se výstupní napětí nemění. Tuto skutečnost (ze samozřejmě vyjádřit také formulaci, že výstupní napětí U_a je stálé, konstantní, tedy $U_a = \text{konst.}$)

B 2), C 1).

Kontrolní test 2-50: A - Parametr y_{11} nelze ze skupiny výstupních charakteristik určit. B - Rášení je nazámeno na obr. 129.
C - 2).



Obr. 129.

členy mezi svorkami m , m' , n , n' , x , x' a polen ΔU_1 (4). Mezi svorky m , m' bude připojen prvek, popsaný výrazem $\Delta U_1 = h_{12} \Delta I_{11}$. Fyzikálně lze zrejmě o lineární odpor h_{12} , na němž průtokem proudu ΔI_{11} vznikne právě dílčí napětí ΔU_{11} . Změna napětí ΔU_{11} = $h_{12} \Delta I_{11}$ na svorkách n , n' není závislá na změně vstupního napětí ΔU_{12} . Znázornime ji jako zdroj napětí o velikosti $h_{12} \Delta U_2$ (přesněji její můžeme - vzhledem k tomu, že jeho napětí závisí na změnách napěťovém zdrojovém), jehož řídicí vlastnosti vystupního napětí ΔU_2 - nazývajíme závislým výstupním částí náhradního obvodu (obr. 128d);

Výstupní část náhradního obvodu tvoří dvě výstupní svorky x , x' ; protéká proudem $\Delta I'_{12} = h_{12} \Delta I_{11}$. Znázornime její proudovým zdrojem zapojeným mezi svorky x , x' zdrojem proudem $h_{12} \Delta I_{11}$, tj. zdrojem řízeným vstupním proudem ΔI_{12} . Mezi svorky y , y' je výstupní část náhradního obvodu - výstupní část matematický popisuje rovnice (5). Na levé straně této rovnice je znána vstupního napětí, na pravé straně součet dvou výrazů, lejíž význam může být rovněž jediné napětí. Výstupní napětí U_1 se může fyzikálně rovnat jediné součtu nějakých dvou dílčích (1); mohli bychom to vyjádřit např. pomocí symbolu $\Delta U_1 = \Delta U_{11} + \Delta U''_{12}$, přičemž člen $\Delta U''_{12}$ i se našem případě rovná součinu $h_{12} \Delta I_{11}$, člen $\Delta U''_{12}$ se pak rovná (2). Výstupní část náhradního obvodu bude tedy tvořit sériově spojení dvou prvků (obr. 128c).

Pokračujeme sestavováním výstupní části náhradního obvodu. Výstupní část je matematicky popsána rovnici (6). Fyzikálně tato rovnice udává, že změna vystupního proudu ΔI_{12} se rovná součtu nějakých dvou dílčích proudů - můžeme to vyjádřit např. ve tvare $\Delta I_{12} = 4I'_{12} + \Delta I''_{12}$. Cílem $\Delta I''_{12}$ se v našem případě rovná $h_{12} \Delta I_{11}$, člen $\Delta I''_{12}$ se rovná (3). Je jasné že obvod, který by odpovídal poslední rovnici (6), může tvorit jeden paralelní spojení dvou prvků (obr. 128c). Nyní již zbyvá zakreslit do náseho náhradního obvodu podle obr. 128c jednotlivé

Postup sestavování náhradního obvodu s parametry y je shodný s postupem, který jsme si popsal při určování náhradního obvodu s parametry h . Opět zažneme tím, že si napíšeme příslušné linearizované (1); v našem případě to budou rovnice s parametry typu y :

$$\Delta I_1 = y_{11} \Delta U_1 + y_{12} \Delta U_2, \\ \Delta I_2 = y_{21} \Delta U_1 + y_{22} \Delta U_2. \quad (7), \\ \Delta I_3 = y_{12} \Delta U_1 + y_{22} \Delta U_2. \quad (8),$$

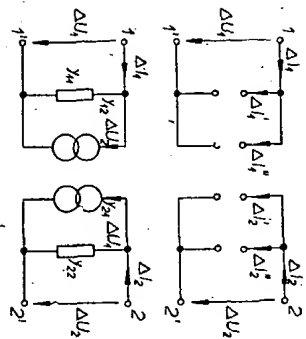
s výhodou používání náhradního obvodu čtyřpolu

trv tvaru Π (obr. 131), který obsahuje jediný závislý proudový zdroj.

V tomto náhradním obvodu jsou použity parametry, které jsme označili symboly Y ; souvisí (že to dokázat pomocně jednoduchým matematickým odvozením) se základními diferenciálními parametry Y podle těchto převodních vztahů:

$$Y_1 = Y_{11} + Y_{12}; \quad Y_2 = Y_{22} + Y_{12}; \quad Y_3 = -Y_{12}; \quad Y_4 = Y_{21} - Y_{12}.$$

Odpovědi: (1) proudové,



Obr. 130.

Rovnice (7) popisuje vstupní část sestavovaného náhradního obvodu, rovnice (8) popisuje (2) část náhradního obvodu. Fyzikálně je význam obou rovnic obdobný – ΔI_1 i ΔI_2 se rovnají podle těchto rovnic součtu dvou dílčích proudu. Jak vstupní sítka i vystupní části sestavovaného náhradního obvodu budou tedy mít vždy dvě paralelní větve – obr. 130.

Pokuste se nyní samostatně nakreslit úplný lineárnizovaný náhradní obvod čtyřpolu s parametry Y . Tepře potom pokračujte v dalším čtení!

Srovnejte si nyní výsledek, k němuž jste samostatně došli; se správným náhradním obvodem na obr. 130. Ve vstupní části náhradního obvodu s parametry Y je paralelně k lineárnímu odporu s vodivostí y_1 zapojen závislý proudový zdroj $Y_{11} \Delta U_1$, jehož řídící veličinou je (3) . Ve vstupní části náhradního obvodu je zapojen paralelně k lineárnímu odporu s vodivostí y_1 (4) závislý zdroj proudu $Y_{12} \Delta I_1$.

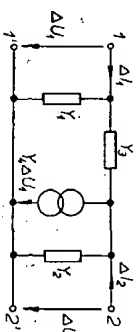
Odpovědi: (1) charakteristické rovnice, (2) vý-

stupní, (3) ΔU_1 , (4) ΔI_1 .

Podle povahy imaginární složky jB – může mít charakter kapacitní nebo induktivní.

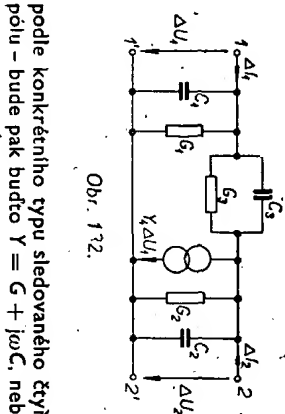
$Y = G + jB$.

Obecně můžeme komplexní admittanční parametry vyjádřit jako součet příslušné vodivosti G a zdánlivé vodivosti jB .



Dosud uvedené náhradní obvody čtyřpolů parametry Y obsahuje jeden napěťový zdroj a jeden proudový zdroj; náhradní obvod s parametry Y obsahuje dva zdroje.

Vedle těchto náhradních obvodů se můžeme v praxi setkat ještě s dalšími druhými náhradními obvodů. Poměrně často se např.



Obr. 132.

podle konkrétního typu sledovaného čtyřpolu – bude pak buďto $Y = G + j\omega C$, nebo $Y = G - j \frac{1}{\omega L}$.

I když se pravděpodobně v běžné amatérské praxi s komplexními admittančními parametry nesetkáme zcela běžně, ukážme si, že i tranzistory povázané konkrétní příklad. Víme, že vysokofrekvenčního tranzistoru AFY16 (Telefun-

A. Čtyřpolý dělící na lineární a nelineární. Řešení lineárních čtyřpolů je snazší, že je lze řešit i kmitočtu 200 MHz komplexní čtyřpolové admittanční parametry. Uvádí např. vstupní vodivost $G = 28 \text{ mS}$, $B = -24 \text{ mS}$; výstupní vodivost $G = 0.09 \text{ mS}$, $B = 1.9 \text{ mS}$ atd.

Pro vysokofrekvenční aplikace čtyřpolů se překreslují i jejich náhradní zapojení tak, že se v nich počítá s komplexními diferenčními parametry. Tak např. náhradní obvod podle obr. 131 se může rozpisat na G_1 a C_1 , G_2 a C_2 , G_3 a C_3 .

Odpovědi: (1) Π , (2) vodivost.

KONTROLNÍ TEST 2-51

A. Čtyřpolý dělící na lineární a nelineární. Řešení lineárních čtyřpolů je snazší, že je lze řešit i kmitočtu 200 MHz komplexní čtyřpolové admittanční parametry. Uvádí např. vstupní vodivost $G = 28 \text{ mS}$, $B = -24 \text{ mS}$; výstupní vodivost $G = 0.09 \text{ mS}$, $B = 1.9 \text{ mS}$ atd.

B. Parametr Y_{11} je 1) poměr dvou napětí, 2) poměr dvou proudů, 3) vodivost.

C. Pro určení parametru h_{11} udržujeme konstantní 1) výstupní napětí, 2) výstupní proud, 3) vodivost.

D. Parametr Y_{11} je dán vztahem 1) $Y_{11} = \frac{\Delta U_1}{\Delta I_1} ; U_1 = \text{konst.}$ 2) $Y_{11} = \frac{\Delta I_1}{\Delta U_1} ; U_1 = \text{konst.}$

2.13.10 Základní vakuové elektronky jako čtyřpolý

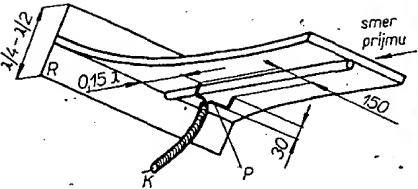
Vzpomeňte si, že jsme hned v úvodu kapitoly 2.13 hovořili o tom, že vakuové i polovodičové elektronky lze znázornit jako čtyřpolý. Toto pojetí umožňuje hodnotit tyto elektronky z obecnějšího, společného hlediska. Nařazali jsme si proto na předcházejících stránkách zdeředně některá článská čtyřpolová teorie. Těchto poznatků čtyřpolové teorie nyní použijeme při shrnujícím výkladu o vakuových a polovodičových elektronkách.

Začneme s vakuovými elektronkami. Zopakujete si ještě předtím kapitolu 2.13 a zvážte si znovu výmluvu obr. 116, 117, 119 a příslušného výkladu.

Jak se změní tyto obecně formulované rovnice pro vakuovou triodu považovanou za odpovídající čtyřpolý podle obr. 116? V tom-

● PROGRAMOVANÝ KURS ZÁKLADŮ RADIOTELEKONIKY ●

Typ	Druh	Použití	U_{CE} [V]	I_C [mA]	$\frac{h_{11E}}{h_{11E}^*}$	f_T f_x^* [MHz]	T_a T_c [°C]	P_{tot} P_C^* max [mW]	U_{CB} max [V]	U_{CE} max [V]	I_C max [mA]	T_j max [°C]	Pouzdro	Výrobce	Patice	Rozdíly				
																P_C	U_C	f_T	h_{11}	F
BCY20	Sjp	NF	6	1	10—25*	0,5*	45	300	100	100	50	150	TO-5	S	2	KF503	>	>	>	>
BCY21	Sjp	NF	6	1	10—25*	0,5*	25c	1250*	50	50	50	150	TO-5	TAG	2	KF517	>	>	>	>
BCY22	Sjp	NF	6	1	10—25*	0,5*	25c	1250*	75	75	50	150	TO-5	TAG	2	KF503	>	>	>	>
BCY23	Sjp	NF	6	1	20—50*	1,5*	25c	500*	30	10	50	150	TO-5	TAG	2	KF517A	>	>	>	>
BCY24	Sjp	NF	6	1	10—25*	1*	25c	500*	30	10	50	150	TO-5	TAG	2	KF517	>	>	>	=
BCY25	Sjp	NF	6	1	40—100*	2,5*	25c	500*	30	10	50	150	TO-5	TAG	2	KF517B	>	>	>	=
BCY26	Sjp	NF	6	1	10—25*	0,6*	25c	1250*	30	30	50	150	TO-5	TAG	2	KF517	>	>	>	=
BCY27	Sjp	NF	6	1	15—60*	1*	25c	750*	30	25	50	150	TO-5	TAG,S	2	KF517	>	>	>	=
BCY28	Sjp	NF	6	1	25—80*	1,5*	25c	750*	30	25	50	150	TO-5	TAG,S	2	KF517A	>	>	>	=
BCY29	Sjp	NF	6	1	10—40*	0,5*	25c	750*	60	60	50	150	TO-5	TAG,S	2	KFY16	=	=	>	>
BCY30	Sjp	NF	6	1	15—35*	>0,25*	25	250	64	64	50	150	TO-5	V,P,M	2	KFY16	>	=	>	>
BCY31	Sjp	NF	6	1	25—60*	>0,25	25	250	64	64	50	150	TO-5	V,P,M	2	KFY16	>	=	>	=
BCY32	Sjp	NF	6	1	35—80*	>0,25	25	250	64	64	50	150	TO-5	V,P,M	2	KFY16	>	=	>	=
BCY33	Sjp	NF	6	1	15—35*	>0,4	25	250	32	32	50	150	TO-5	V,P,M	2	KF517	>	=	>	=
BCY34	Sjp	NF	6	1	25—60*	>0,6	25	250	32	32	50	150	TO-5	V,P,M	2	KF517A	>	=	>	=
BCY38	Sjp	NF	6	10	15—45*	>0,45	90c	500	32	32	250	150	TO-5	V,P,M	2	KF517A	=	>	>	=
BCY39	Sjp	NF	6	10	15—100*	>0,45	90c	500	64	64	250	150	TO-5	V,P,M	2	KFY16	=	=	>	=
BCY40	Sjp	NF	6	10	30—160*	>0,85	90c	500	32	32	250	150	TO-5	V,P,M	2	KFY16	=	>	>	=
BCY42	SPE n	NF	5	1	45—90*	>100	25	300*	40	25	100	175	TO-18	STC-B	2	KC507	=	>	>	>
BCY43	SPE n	NF	5	1	75—150*	>100	25	300*	40	20	100	175	TO-18	STC-B	2	KC507	=	>	>	=
BCY49	Sjp	NF	6	1	>25*		25	250	15	15	20	150	TO-5	M	2	KF517	>	>	>	>
BCY50	SPE n	NF	1,5	0,1	60—300		25	300	10	5	100	175	TO-18	SEL	2	KC508	=	>	>	>
BCY50i	SPE n	NF	1,5	0,1	60—300		25	250	10	5	100	175	TO-18	SEL	2	KC508	>	>	>	=
BCY50r	SPE n	NF-nš	1,5	0,1	60—300		25	300	10	5	100	175	TO-18	SEL	2	KC508	=	>	>	=
BCY51	SPE n	NF	1,5	0,1	60—300		25	300	30	20	100	175	TO-18	SEL	2	KC507	=	>	>	=
BCY51i	SPE n	NF	1,5	0,1	60—300		25	250	30	20	100	175	TO-18	SEL	2	KC507	>	>	>	=
BCY51r	SPE n	NF-nš	1,5	0,1	60—300		25	300	30	20	100	175	TO-18	SEL	2	KC507	=	>	>	=
BCY54	Sjp	NF	6	10	20—120*	>0,45	90c	500	50	50	250	150	TO-5	V,P,M	2	KFY16	=	>	>	=
BCY55	SPE n	NF-nš	5	10	200—600	80>50	25	300	45	45	30	175	TO-18	V	2	KC507	=	=	>	=
BCY56	SPE n	NF	2		125—500*	250	25	300	45	45	100	175	TO-18	V	2	KC507	=	=	<	=
BCY57	SPE n	NF	2		240—900*	350	25	300	25	20	100	175	TO-18	V	2	KC508	=	=	<	=
BCY58	SPE n	NF	5	2	VII:120—220	>150	45c	1 W	32	32	200	200	TO-18	S	2	—	—	—	—	—
					VIII:180—310											SS	—	—	—	—
					IX:250—460											I, T	—	—	—	—
					X:380—630											I, T	—	—	—	—
					A:125—250											I, T	—	—	—	—
					B:175—350											RTC	—	—	—	—
					C:250—500											—	—	—	—	—
BCY59	SPE n	NF	5	2	D:350—700	>150	45c	1 W	45	45	200	200	TO-18	I, T	2	—	—	—	—	—
BCY65	SPE n	NF	5	2	VII:180>90	>150	45c	1 W	60	60	200	200	TO-18	S	2	—	—	—	—	—
					VIII:230>130											—	—	—	—	—
					IX:290>180											—	—	—	—	—
					X:450>260											—	—	—	—	—
BCY66	SPE n	NF	5	2	180—630*	>125	45	1 W	45	45	50	200	TO-18	S	2	—	—	—	—	—
BCY67	SPE p	NF-nš	5	2	180—630*	180	45	770	45	45	50	200	TO-18	S	2	—	—	—	—	—
BCY69	SPE n	NF	5	2	750*	150	25	300*	20	20	100	175	TO-18	CSF		KC508	=	=	=	=
BCY70	SPE p	NF	1	1	>45*	>250	25	350	50	40	200	200	TO-18	M,NM	2	—	—	—	—	—
BCY71	SPE p	NF-nš	1	10	100—600*	>200	25	350	45	45	200	200	TO-18	M,NM RTC	2	—	—	—	—	—
BCY71A	SPE p	NF-nš	1	10	100—600*	>300	25	350	45	45	200	200	TO-18	M	2	—	—	—	—	—
BCY72	SPE p	NF	1	1	>40*	>200	25	350	25	25	200	200	TO-18	M,NM	2	—	—	—	—	—
BCY78	SPE p	NF-nš	5	2	VII:120—220	200	45c	770	32	32	200	200	TO-18	S	2	—	—	—	—	—
					VIII:180—310											—	—	—	—	—
					IX:250—460											—	—	—	—	—
BCY79	SPE p	NF-nš	5	2	VII:120—220	200	45c	770	45	45	200	200	TO-18	S	2	—	—	—	—	—
					VIII:180—310											—	—	—	—	—
					IX:250—460											—	—	—	—	—
BCY85	SPE n	NF	5	2/20	A:100—300	>200	25	300	100	60	200	150	epox	TI	14	—	—	—	—	—
					B:250—400											—	—	—	—	—
BCY86	SPE n	NF	5	2/20	A:250—450	>200	25	300	80	50	200	150	epox	TI	14	—	—	—	—	—
					B:400—600											—	—	—	—	—
BCY87	SPE n	DZ-nš	10	0,05	100—450 ^{a)}	>10	25	2x150	45	40	2x30	175	TO-71	V, M	44	—	—	—	—	—
BCY88	SPE n	DZ-nš	10	0,05	100—450 ^{b)}	>10	25	2x150	45	40	2x30	175	TO-71	V, M	44	—	—	—	—	—
BCY89	SPE n	DZ-nš	10	0,05	50—450 ^{b)}	>10	25	2x150	45	40	2x30	175	TO-71	V, M	44	—	—	—	—	—
BCY90	SPE p	NF	6	1	10—35*	15			40	40	50	150	TO-18	TAG	2	—	—	—	—	—
BCY90B	SPE p	NF	6	1	10—35*	15			40	40	50	150	TO-5	TAG	2	—	—	—	—	—
BCY91	SPE p	NF	6	1	25—60*	15			40	40	50	150	TO-18	TAG	2	—	—	—	—	—
BCY91B	SPE p	NF	6	1	25—60*	15			40	40	50	150	TO-5	TAG	2	—	—	—	—	—
BYC92	SPE p	NF	6	1	40—100*	15			40	40	50	150	TO-18	TAG	2	—	—	—	—	—
BCY92B	SPE p	NF	6	1	40—100*	15			40	40	50	150								



Obr. 2. Konstrukčné usporiadanie antény „Triple-S“: R - reflektor, K - súosý kábel 52 Ω, P - prispôsobovací člen z drôtu $o \text{ } \varnothing 4 \text{ mm}$

prispôsobenia. Autor uvádza použitie prispôsobenia článkom gamma keď sa použije súosý kábel, a prispôsobenie článkom T, keď sa použije dvojvodíč. Na obrázku sú uvedené rozmery podla usporiadania pre súosý kábel 50Ω , avšak skusmo sa môže dosiahnuť prispôsobenie na impedanciu 70Ω predĺžovaním rozmeru, ktorý je udávaný kótou 150 mm. Pre tých, ktorí si na to trúfajú, je možnosť použitia bočníkov, o ktorých sa píše napr. v príručke Milana Českého „Televízne prijímacie antény“ (3. vydanie, str. 120), alebo prispôsobenie pomocou „transformácie delta“ (str. 122 cit. literatúry). Najpraktickejšie prispôsobenie sa dá dosiahnuť tzv. štvrtvlnovými pahýlmi, o ktorých sa tiež píše v zmienej literatúre na strane 123. Týmto je možné prispôsobiť ťubovoľný typ antény k ťubovoľnému napájaču. Prispôsobovacie pahyle majú podobu tyči. Je možné použiť známej televíznej dvojlinky, avšak dá sa predpokladať, že bude nutné obetovať prvý dvojvodíčový pahyl, pretože pri odstraňovaní izolácie z rôznych úsekov za účelom napojenia zvodu sa zvod dosť poškodi. Praktický návod by približne mohol spočívať v tom, že si pripravíme pahyl asi 30 cm zo známeho televízneho dvojvodíča, na ktorom urobíme v úsekokach asi po 2 cm miesta pre skúšobné napojenie riadneho zvodu.

Záver

Iste bude prípadných zaujemcov zaujímať, ako možno tieto antény porovnať s doterajšími desaťprvkovými anténami Yagi. Je známe, že najlepšie takéto antény dosahujú zisk asi 11 dB, čo znamená, že zvýšia napätie signálu asi 3,5krát. Antény „Triple-S“ môžu pri správnom prispôsobení pri zisku 18 dB zvýšiť napätie asi osemkrát, čo je skutočne pozoruhodné a stojí za experimentovanie. Inou stránkou je použitie materiálu. Medený plech je zrejmé nie najlacnejší materiál, ľahšie to bude s hliníkovým plechom. Pozoruhodné by bolo použitie kovovej sieťky, pretože hrúbka plechu z hľadiska povrchového javu vysokofrekvenčnej energie je až sekundárnu záležitosťou. Tiež použitie cuprex titu alebo cuprexcartu (materiál na plošné spoje) môže byť zaujímavé a podnetné.

K problematike diaľkového príjmu a s tým spojeného zvýšenia zisku prijímacích antén by som chcel upozorniť ná to, že poradný zbor pre televíziu by mohol prepracovať a uverejniť prístupovou formou návody na antény SIA, ktoré sú predmetom pozornosti v USA. Ide o 35krát menšie antény ako sú bežné antény Yagi, pričom tranzistory upravujú elektrickú dĺžku bez znatenej ujmy na zisku. Bližšie je o tom písané v amerických a v západonemeckých časopisoch a tiež v 4. čísle časopisu Radiový konstruktér je o tomto zmienka.

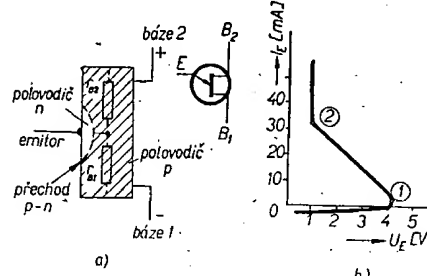
Obvody s transistory

UJT

Ing. Václav Žalud, CSc

V minulém AR jsme si vysvětlili základní principy činnosti tranzistoru s jedním přechodem (Unijunction Transistor - UJT). V tomto článku je několik nejrůznějších obvodů s tímto novým polovodičovým prvkem, z nichž čtenář nejlépe pozná, jaké jsou jeho specifické vlastnosti a možnosti jeho použití.

Základní zjednodušené uspořádání tranzistoru UJT je na obr. 1a. Jak je z obrázku zřejmé, je jeho základem polovodičová destička s vodivostí typu p, na jejíž protějších stranách jsou připojeny dva (galvanické) kontakty, tvorící bázi 1 a bázi 2. Třetí elektrodu představuje tzv. emitor, oddělený od základní destičky přechodem p-n. Pokud je napětí emitoru vůči uzemněné bázi 2 malé, je emitorový přechod p-n uzavřen, takže jím neprotéká téměř žádný proud. Překročí-li však toto napětí jistou kritickoumez U_p – danou přibližně dělicím poměrem odporů r_{B1} a r_{B2} mezi oblastí emitoru a oběma bázemi – přechod p-n se začne otevírat. Nositeli proudu, pronikající z emitoru do základní destičky, budou přitom postupovat k bázi 1 a tím zmenšovat odpor r_{B1} , což ovšem vede k dalšímu, ještě intenzivnějšímu otevíráni emito-



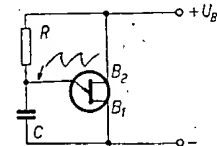
Obr. 1. a) základní uspořádání jednopřechodového tranzistoru a jeho schematická značka,
b) emitorová charakteristika UJT

rového přechodu. Celý pochod postupně nabude lavinovitého charakteru, takže tranzistor přejde skokovou změnou z výchozího stavu, odpovídajícího uzavřenému emitorovému přechodu, do stavu plně otevřeného emitorového přechodu.

Celý pochod lze sledovat na emitorové charakteristiky podle obr. 1b. Toto překlopení je důsledkem působení oblasti záporného diferenciálního vnitřního odporu, který leží mezi body 1 a 2 charakteristiky. Vzhledem k tomu řadí se UJT mezi aktivní prvky se zápornou voltampérovou charakteristikou, jako je např. tunelová dioda, čtyřvrstvová dioda atd. Težiště jeho použití je proto v oblasti nejrůznějších nelineárních obvodů, z nichž nejtypičtější si popiseme:

Relaxační oscilátor

Nejjednodušší relaxační oscilátor je znázorněn na obr. 2¹ [1]. Připojme-li na bázi 2 stejnosměrné napětí U_{BB} , bude se kondenzátor C přes odpor R exponenciálně nabíjet. Jakmile dosáhne napětí na tomto kondenzátoru hodnoty U_p , emitorový přechod se otevře, jehož odpor se zmenší na několik málo desítek

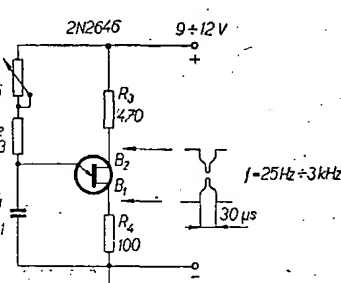


Obr. 2. Základní zapojení relaxačního oscilátoru

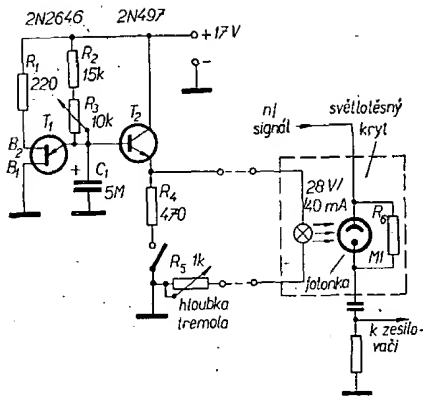
ohmů a kondenzátor se přes tento přechod rychle vybije. Dosáhne-li vybijecí proud minimální hodnoty I_T , je kondenzátor prakticky vybit, UJT „překlopí“ do výchozího stavu (tj. přechod p-n se uzavře) a celý cyklus se opakuje. Na emitoru UJT vzniká přitom napětí pilovitého průběhu, jehož opakovací kmitočet f je určen přibližně vztahem $f = 1/RC$.

Velkou výhodou tohoto skutečně jednoduchého generátoru pilotových kmitů je malá závislost kmitočtu na napájecím napětí (změna U_{BB} o 10 % způsobí změnu f jen o 1 %). Další přednosti je i relativně velký poměr maximálního a minimálního kmitočtu (při změně $R = 3 \text{ k}\Omega$ až $500 \text{ k}\Omega$ se mění kmitočet v poměru $100 : 1$). Velmi malá je i závislost kmitočtu na teplotě (neprevyšuje $0,04\text{ }^{\circ}\text{C}^{-1}$). Zapojí-li se do přívodu báze 2 vhodný odpor R_3 , lze tuto závislost ještě zmenšit, a to až k témuž dokonalé teplotní kompenzacii. Na tomto odporu se potom v době vybíjení kondenzátoru C vytváří záporný impuls, kterého lze využít v nejrůznějších aplikacích. Impuls opačné polarity je možné získat na odporu R_1 , zapojeném v přívodu báze 1. Takto upravené zapojení je na obr. 3.

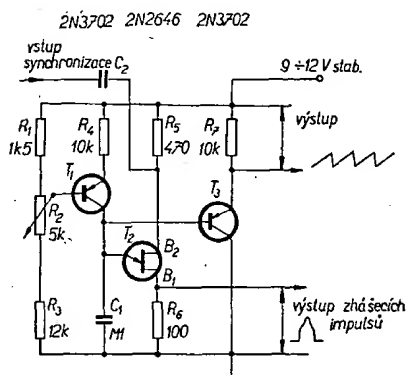
Napětí pilovitého průběhu v emitoru je na vysoké impedanční úrovni a tedy je obvykle nelze odebírat přímo, ale přes vhodný oddělovací stupeň. Naproti tomu napěťové pulsy v obou bázích jsou získávány na malých impedančích a jsou proto použitelné přímo.



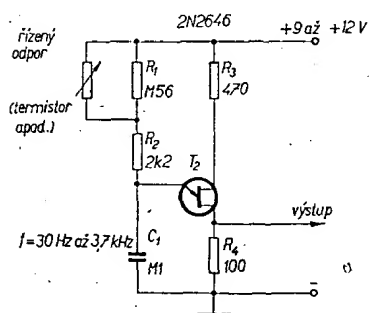
Obr. 3. Teplotně kompenzovaný relaxační oscilátor s výstupními pulsy obojí polarity



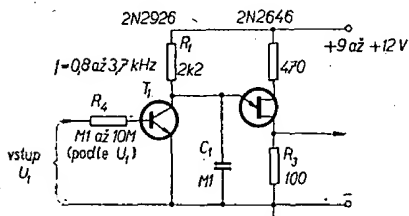
Obr. 4. Kompletní zapojení elektronického tremola s tranzistorem UJT jako zdrojem subakustických signálů. Potenciometrem R₆ se řídí kmitočet



Obr. 5. Generátor kmitů pilotovitého průběhu s vysokou linearitou



Obr. 6. Analogově číslicový odporný převodník



Obr. 7. Napěťový analogově číslicový převodník; tranzistor T₁ je zapojen paralelně s nabíjecí kapacitou C₁

Elektronické tremolo

Zajímavá aplikace popsaného relaxačního oscilátoru je na obr. 4. Je na něm znázorněno tzv. elektronické tremolo, tj. obvod dovolující měnit periodicky v rytme několika cyklů za vteřinu hlasitost akustického zesilovače. Zdrojem subakustických signálů o kmitočtu 5 až 8 Hz je tranzistor UJT T₁, který představuje prostý relaxační oscilátor. Signál z jeho emitoru se přivádí na bázi čtyřwattového bipolárního tranzistoru T₂, zapojeného jako emitorový sledovač. K emitoru druhého tranzistoru je připojená vhodná žárovka (28 V/40 mA), blikající v rytmu oscilačního kmitočtu UJT. Světlo žárovky dopadá na vakuovou fotonku (typu Clairex CL607) a tím mění periodicky její vnitřní odpor. Fotonka je zapojena jako část odporového děliče napětí na vstupu akustického zesilovače, takže periodická změna jejího odporu vyvolává žádaný jev.

Lineární generátor kmitů pilotovitého průběhu

U jednoduchého relaxačního oscilátoru podle obr. 2 je průběh napětí na kondenzátoru C při jeho nabíjení exponenciální, ideálnímu pilotovitému průběhu se tedy jen přibližuje. V některých aplikacích (např. v časových základnách osciloskopů apod.) se však vyžaduje napětí pilotovitého průběhu o vysoké linearitě. To lze získat ze složitějšího generátoru, zapojeného podle obr. 5.

Ideálního pilotovitého průběhu napěti je zde dosaženo nabíjením kondenzátoru C₁ konstantním proudem, jehož zdrojem je bipolární tranzistor T₁. Jeho emitorový proud a tedy zhruba i proud koléktorový (nabíjející kapacitu C₁) je určen v podstatě jen napětím jeho báze, tj. polohou běžece potenciometru R₂. Na koléktorovém napětí naproti tomu vůbec nezávisí a proud je tedy konstantní při libovolném napětí na kondenzátoru C₁. Konstantní nabíjecí proud potom vytváří na C₁ lineárně rostoucí napětí, představující náběhovou hranu požadovaného pilotovitého průběhu. Dosažené-li toto napětí vrcholového napětí U_p použitého UJT, dojde k jeho překlopení a k vybití C₁ již popsaným způsobem.

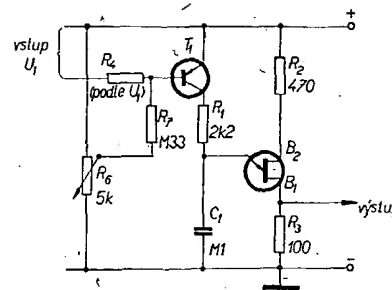
Napětí pilotovitého průběhu vznikající na emitoru T₂ se přivádí na emitorový sledovač T₃ a z jeho emitoru, již na malé impedance, k dalšímu zpracování. Napěťových pulsů na bázi T UJT je možné využít ke zhášení zpětného běhu elektronového paprsku obrazovky.

Generátor lze snadno synchronizovat zavedením vhodných pulsů do báze T UJT. Tyto pulsy modulují napájecí napětí a tím vlastně navozují podmínu pro jeho „zapálení“.

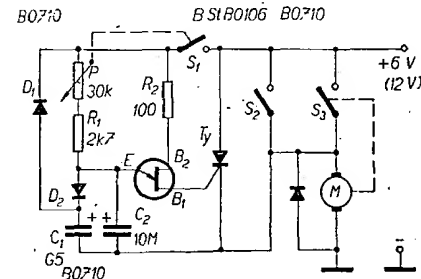
Se součástkami podle schématu je možné měnit kmitočet generátoru v rozmezí 50 až 600 Hz. Vhodnou volbou kapacity C₁ však lze bez obtíží obsahovat kmitočtové pásmo od několika cyklů za minutu až asi do 100 kHz.

Analogově číslicový převodník (odporový)

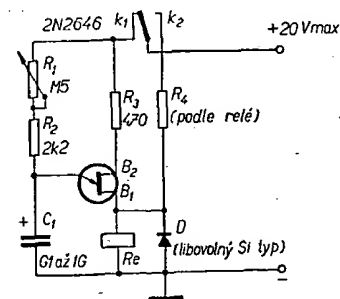
Analogově číslicový převodník podle obr. 6 převádí změny odporu řízeného napět. teplem (tj. termistoru) nebo světlem apod. na změny kmitočtu. Jeho název byl odvozen z toho, že transformuje určitou fyzikální, tj., „analogovou“ veličinu (např. teplotu), na veličinu vyjádřitelnou číslem (v tomto případě



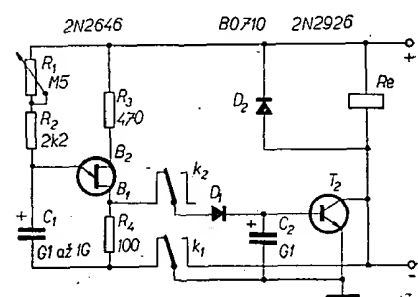
Obr. 8. Napěťový analogově číslicový převodník s tranzistorem T₁ v sérii s kapacitou C₁



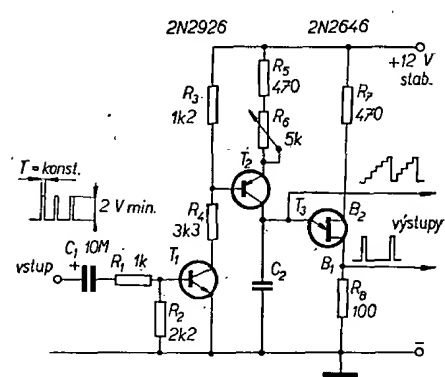
Obr. 9. Zapojení elektronicky řízeného automobilového okenního stěrače s řiditelnou délkou přestávky mezi stéracími cykly



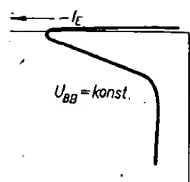
Obr. 10. Jednoduché zapojení časového relé



Obr. 11. Časové relé s menšími nároky na použité mechanické relé



Obr. 12. Generátor napětí schodovitého průběhu



Obr. 13. Emitorová charakteristika komplementárního tranzistoru s jedním přechodem - CUJT

kmitočet). Název obvodu je možná pro mnoho čtenářů méně běžný, jeho činnost je však velmi jednoduchá.

Rízený odpor (čidlo) je připojen paralelně k odporu R_1 , takže ovládá časovou konstantu emitorového obvodu RC a tedy i kmitočet tranzistoru UJT, zapojeného opět jako relaxační oscilátor. Se součástkami podle obr. 6 se kmitočet mění v mezech 800 až 3 700 Hz, takže jej lze snadno indikovat např. sluchátky, připojenými paralelně k odporu R_4 .

Tento obvod je také možné s výhodou použít např. při dálkovém měření fyzikálních veličin. V tomto případě se kmitočtem relaxačního oscilátoru moduluje vysílač. Změny tohoto kmitočtu se potom vyhodnotí na přijímací straně vhodným měřicem kmitočtu, připojeným za detektor přijímače.

Analogově číslicový převodník (napěťový)

U tohoto obvodu (obr. 7) je kmitočet rízen napětím. Tranzistor T_1 je zapojen jako proměnný odpor, ovládaný vstupním řídícím napětím U_1 . Protože je připojen paralelně ke kondenzátoru C_1 , bude jím protékat určitý díl nabíjecího proudu odporu R_1 , jinak řečeno – jeho změnami se bude opět měnit časová konstanta RC a tedy i kmitočet oscilátoru.

Určitou nevýhodou převodníku podle obr. 7 je okolnost, že u bipolárního tranzistoru T_1 se s rostoucím napětím báze, tedy s otevíráním tranzistoru, zmenšuje kolektorové napětí. Klesne-li toto napětí pod vrcholové napětí U_p tranzistoru T_2 , oscilace vysadí.

Mnohem nižšího oscilačního kmitočtu lze dosáhnout s poněkud modifikovaným zapojením podle obr. 8. Zde je bipolární tranzistor T_1 zapojen v sérii s nabíjeným kondenzátorem C_1 . Předpětí jeho báze lze libovolně volit potenciometrem R_6 ; proto je možné převádět na změny kmitočtu vstupní napětí libovolné polarity.

Elektronicky řízený automobilový okenní stěrač

Tranzistor UJT se velmi často používá v zapalovacích obvodech tyristorů. Pro ilustraci této aplikace je dále popsán automobilový okenní stěrač s řiditelnou délkou přestávky mezi jednotlivými stěracími cykly [2]. Celý obvod (obr. 9) pracuje takto: po sepnutí hlavního spínače S_1 se přes potenciometr P začnou nabíjet kondenzátory C_1 a C_2 . Po dosažení vrcholového napětí U_p na těchto kondenzátořech tranzistor UJT „zapálí“ a přes jeho elektrody E a B_2 se vybije kondenzátor C_2 . Vlivem toho se objeví na bázi I napěťový impuls, jímž zapálí tyristor T_y ; v tomto okamžiku se roztočí motor M stěrače. Kondenzátor C_1 se přitom vybije přes tyristor T_y a diodu D_1 . Dioda D_2 zabraňuje, aby tento relativně velký vybijecí proud neprotékal přes tranzistor UJT, jehož emitorový přechod není na tak velké proudy dimenzován.

Po vykonání jednoho pracovního cyklu se rozpojí koncový spínač S_3 stě-

rače a motor M se zastaví. Současně se však znova začnou nabíjet kondenzátory C_1 a C_2 a celý pochod se opakuje. Se součástkami podle schématu je možné měnit délku přestávky mezi jednotlivými pracovními cykly stěrače v rozmezí 2 až 30 vteřin.

Zapnutím spínače S_2 se vyřadí celá automatica z činnosti a stěrač pracuje v tomto případě nepřetržitě.

Casová relé

Na obr. 10 je jedno z nejjednodušších zapojení časového relé, které dovoluje dosáhnout zpoždění (mezi okamžikem připojení stejnosměrného napájení a okamžikem sepnutí relé R) v intervalu 0,5 vteřiny až 8 minut.

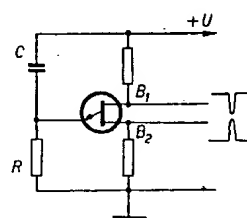
Připojí-li se k obvodu stejnosměrné napájecí napětí, bude se přes klidový kontakt k_1 relé R a odpory R_1 , R_2 nabíjet kondenzátor C_1 . Vzrostlé napětí na C_1 na vrcholovou hodnotu UJT, tranzistor překlopí, vinutím relé projde proudový impuls a relé sepnute. Tím se ovšem rozpojí jeho klidový kontakt k_1 a naopak spojí jeho samodržný kontakt k_2 . Přes k_2 a odpor R_4 je potom vinutí trvale připojeno na stejnosměrné napětí, takže relé zůstává sepnuto.

Obvod podle obr. 10 je sice jednoduchý, k jeho správné činnosti je však nutné, aby relé bylo velmi rychlé, přičemž odpor jeho cívky musí být menší než 150Ω .

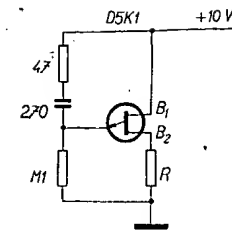
Méně přísné požadavky na relé jsou v obvodu podle obr. 11. Zde je relé R připojeno do přívodu ke kolektoru tranzistoru T_2 , přičemž je v klidovém stavu rozepnuto. Když UJT překlopí, přivede se z báze I tranzistoru T_1 přes diodu D_1 kladný impuls na bázi tranzistoru T_2 . Tímto impulsem se jednak nabije kondenzátor C_2 , jednak se otevře tranzistor T_2 a tím sepnute relé R . Na konci impulsu UJT překlopí zpět a dioda D_1 se uzavře. Kapacita C_2 se vybije do báze tranzistoru T_2 a tím udržuje relé v sepnutém stavu, a to přibližně po dobu asi 100 milisekund. Kapacita C_2 tedy působí jako expander šířky impulsu; vlivem toho může být relé R libovolný typ s vnitřním odporem větším než 100Ω a spinacím napětím 6 až 18 V. Jakmile relé začne sepnut, rozpojí se přívod k UJT, ale přívod k T_2 zůstává dosud připojen. Když je plně sepnuto, je stejnosměrné napájení zapojeno přímo přes kontakt k_1 . Relé proto zůstává trvale sepnuto, i když je T_2 uzavřen.

Generátor napěti schodovitého průběhu

Přivádějí-li se k obvodu podle obr. 12 pulsy o konstantní šířce a amplitudě, objeví se na jeho výstupu napětí schodovitého průběhu o opakovacím kmitočtu několikanásobně nižším, než je kmitočet vstupních pulsů. Obvod lze tedy použít jako dělič kmitočtu. Není-li kmitočet vstupních pulsů konstantní, lze „schodovače“ využít k počítání vstupních pulsů; přitom se na výstupu



Obr. 14. Relaxační oscilátor s CUJT



Obr. 15. Velmi stabilní vysokofrekvenční oscilátor s CUJT

objeví impuls tehdy, dosáhne-li počet vstupních pulsů jisté, předem určené hodnoty. Vlastního schodovitého průběhu můžeme využít např. v osciloskopickém snímači stejnosměrných charakteristik tranzistorů, při měření linearity zesilovačů a v celé řadě dalších aplikací.

Činnost generátoru je jednoduchá. V klidovém stavu je tranzistor T_1 uzavřen. Báze T_2 je připojena přes odpory R_3 ke kladnému pólu napájecího zdroje, takže je uzavřen i T_2 . Přivede-li se na vstup „schodovače“ kladný impuls, tranzistory T_1 a T_2 se otevřou a kondenzátor C_2 se začne nabíjet; přitom nabíjecí časovou konstantu je možné v určitých mezech ovlivnit potenciometrem R_6 . Nabíjecí proud kondenzátoru C_2 je konstantní, takže napětí na něm lineárně vzrůstá. Jakmile impuls zanikne, T_2 se uzavře a C_2 drží svůj náboj a tím i konstantní napětí. Při dalším impulsu se bude C_2 opět nabíjet a proto napětí na něm dále poroste. Po určitém počtu vstupních pulsů napětí na C_2 dosáhne vrcholového napětí na tranzistoru T_3 , ten překlopí a vypne C_2 . Tím je ukončen jeden cyklus.

Obvody s komplementárními tranzistory UJT [2]

V poslední době se kromě „klasického UJT“ stále častěji používá tzv. komplementární UJT (CUJT). Tento složený prvek se skládá ze dvou bipolárních tranzistorů a dvou odporek, zhotovených technikou integrovaných obvodů a umístěných ve společném pouzdře. Navenek se tato kombinace chová jako běžný UJT s tím rozdílem, že její emitorová charakteristika je komplementární vůči charakteristice UJT (obr. 13).

Komplementární UJT má určité výhody. Jeho výrobní proces je lépe kontrolovatelný a jeho tolerance jsou proto menší, změny parametrů s teplotou jsou podstatně menší a energetická účinnost větší než u klasického UJT. Lze tedy říci, že CUJT je obecně výhodnější než UJT. Obvody s ním jsou ovšem většinou jen doplňkovou verzí obvodů s klasickým tranzistorem UJT.

Relaxační oscilátor (obr. 14) – je zapojen prakticky úplně stejně jako oscilátor s UJT, jen polarita napětí mezi bázemi je opačná. Vlivem toho je opačná i polarita pulsů na obou bázích.

Vysokofrekvenční oscilátor (obr. 15) – je pozoruhodný tím, že obsahuje jen čtyři pasivní prvky. Jeho kmitočtová stabilita je vynikající, na kmitočtu 50 kHz se při kolísání teploty v rozmezí -25° až $+100^\circ$ C pohybuje v intervalu $\pm 0,5\%$.

Literatura

- [1] Marston, R. M.: 20. Unijunction Transistor Applications. Radio-Electronics, June 1968, str. 36 až 39, 60.
- [2] Scheibenwischer mit elektronischer Steuerung. Funkschau 1/1969, str. 14 až 15.
- [3] Spofford, W. R.: Unlocking the gates for UJT's. Electronics, April 1968, str. 56 až 60.

SUPERHÉT

T5 - "Viro"

František Nyč

Mnoho radioamatérů se zabývá stavbou malých tranzistorových přijímačů. Nejpříliš vždy čekají, co nového v této kategorii přinese příští číslo Amatérského radia. Mnozí z nich dosáhl k postavení reflexního přijímače a po bezúspěšných pokusech o stavbu superhetu zanechali další práce. Účelem tohoto článku je překlenout právě značnou mezera, která vzniká mezi reflexním přijímačem a víceobvodovým superhetem.

Technické údaje

Rozměry: 200 × 130 × 67 mm.
Počet polovodičů: 5 tranzistorů, 1 dioda.
Napájení: 9 V (2 ploché baterie).
Odběr proudu: klidový 14 mA; při plném vybuzení 30 mA.
Vlnový rozsah: SV (525 až 1 605 kHz).
Mf kmitočet: 250 kHz.
Maximální výstupní výkon: 80 mW.

Zapojení superhetu je na obr. 1. Popis a funkci jednotlivých obvodů uvedlo AR již mnohemkrát a není proto nutné je znova popisovat. Chci se proto zaměřit především na zhotovení některých méně běžných součástí, které stavba superhetu vyžaduje, na rozdíl mezi součástkami, zapojení a uvedení do chodu. Vlastnosti tohoto superhetu lze přirovnat k přijímači Zuzana. Jeho citlivost je přibližně stejná, jakostí reprodukce (velký průměr reproduktoru ARZ341) však Zuzanu předčí.

Anténa je z feritové tyčky 10 × 10 × 140 cm. Z pásku širokého asi 40 mm (nejlépe z pohlednice) navineme na tyčku dva závitý tak, aby se takto získala kostřička po tyčce snadno posouvala. Na kostřičku navineme 57 závitů vysokofrekvenčního lanka (např. 10 × 0,05 mm) s odbočkou na 6. závitu.

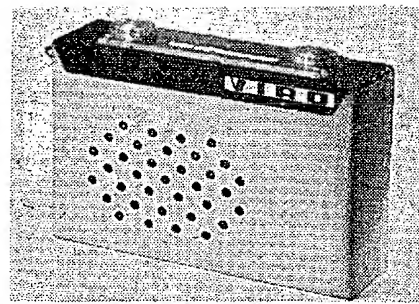
Ke zhotovení oscilátoru a mf transformátorů použijeme běžná hrničková jádra o Ø 14 mm s dodávacím jádrem. Transformátory umístíme do krytu o rozměrech 20 × 20 × 20 mm, které zhotovíme z měděného plechu tloušťky 0,5 mm. Vystříhneme z něho potřebný tvar, zahneme podle šablony a v rozích zevnitř spájíme. Do této krytu zapevníme hrničkové transformátory, které předtím zasadíme do pertinaxové destičky o rozměrech 20 × 20 × 20 mm. Do každé destičky vyřízneme otvor Ø 0,5 mm

14 mm a v každém rohu vyvrtáme dvě dírky o Ø asi 1 mm. Do nich navlékne me neizolovaný, nejlépe pociňovaný drát o Ø asi 0,5 mm a na obou stranách jej zkroutíme tak, aby nahoru i vespod vzniklo malé očko. Na toto očko pak připájíme vývody cívek a přívody od různých součástí. Sestava mf transformátoru je na obr. 2.

Cívku oscilátoru navineme drátem o Ø 0,15 mm CuPH, popř. jen CuP o Ø 0,1 mm. Je třeba pracovat velmi pečlivě a přesně. Odbočky budou podle obr. 3 na 5. a 14. závitu. Začátek cívky ponecháme dlouhý 20 mm, na 5. závitu 30 mm, na 14. závitu 40 mm a konec 50 mm. Podle délky vývodu snadno poznáme, kam který vývod máme připájet a nemůžeme je zaměnit. Konec drátu na 112. závitu zlepíme voskem. Hotovou cívku pak vložíme do hrničku, vývody vyvedeme postranní otvory a obě poloviny hrničku slepíme. Vývody opatrně zkrátíme a dobře očistěné konce pečlivě pájíme na očka v pertinaxové destičce, která jsme označili číslicemi 1, 2, 3, 4. Pak již můžeme hotovou cívku vložit do připraveného krytu a zapevnit.

Stejným postupem zhotovíme i oba mf transformátory. Obě cívky jsou navinuty drátem o Ø 0,1 mm CuP. Opět ponecháváme vývody dlouhé 20, 30, 40 a 50 mm, abychom se při pájení mohli správně orientovat. U prvního mf transformátoru označíme očka na destičce čísla 5, 6, 7 a 8; vývody cívek pečlivě připájíme. U tohoto transformátoru má primární vinutí 190 závitů. Začátek vinutí má označení 5, konec 6. Sekundární vinutí je navinuto těsně na primární a má 20 závitů stejného drátu. Začátek připájíme na očko 8 a konec na očko 7.

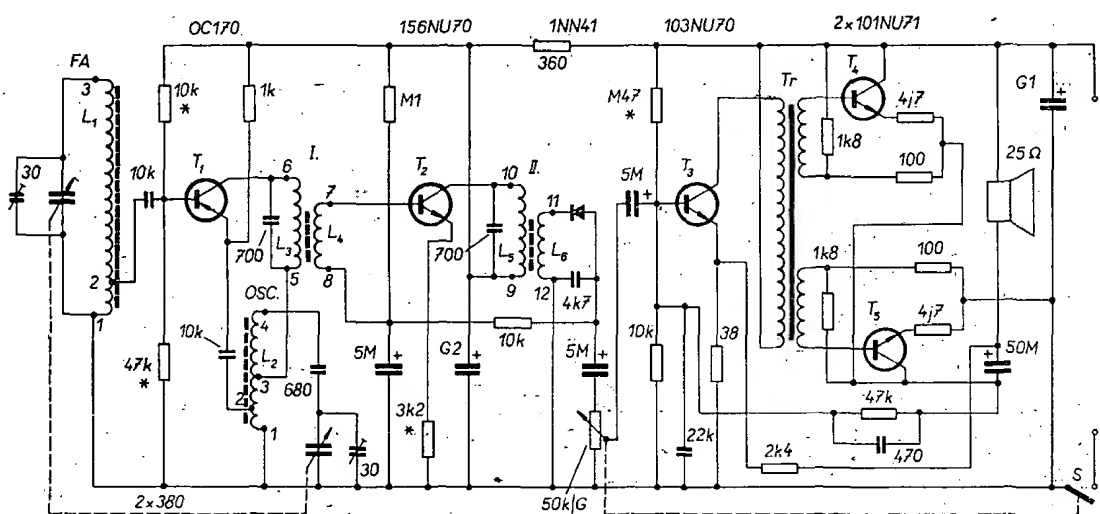
U druhého mf transformátoru označíme pájecí očka číslicemi 9, 10, 11 a 12. Postupujeme stejně jen s tím rozdílem,



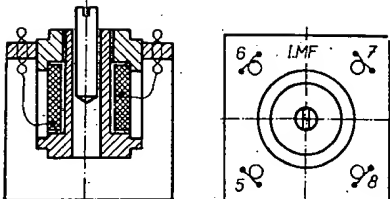
že sekundární vinutí bude mít 40 závitů. Začátek primárního vinutí vyvedeme k očku 9, konec k očku 10, začátek sekundárního k očku 12, konec k očku 11, přesně podle označení na obr. 1. Na obr. 3 je schéma všech cívek. Po dohotovení všech těchto součástí vyzkoušíme baterii a žárovku 4,5 V, není-li vinutí někde přerušeno, nebo nejsou-li špatně připájeny vývody.

Nyní se můžeme zaměřit na zhotovení panelu, který ponese všechny součástky. Rozměr volíme 190 × 120 mm, tloušťku 2 až 3 mm. Rozmístění součástí je na obr. 4. Odmeříme otvor pro magnet reproduktoru, výrezy pro baterie, otočný kondenzátor a potenciometr. Vyvrtáme otvory pro tranzistory (tranzistor OC170 má větší průměr!). Hotové transformátory buďto přilepíme na panel, nebo je poněkud zapustíme do vyříznutých otvorů. Ke stavbě přijímače je nejpohodlnější použít destičku cuprexstitu s měděnou fólií, která bude na dolní straně panelu sloužit jako zemnický spoj. To znamená, že spoje z kladného pólu baterie a ostatní budou drátové, zatímco všechny spoje ze záporného pólu baterie budou pájeny přímo na fólii. Celék je pak mnohem přehlednější i úhlednější. Na baterie zhotovíme kovový kryt, který dvěma úhelníky přinýtujeme nebo přisroubujeme k panelu. Také anténu připevníme dvěma držáky k horní stěně panelu.

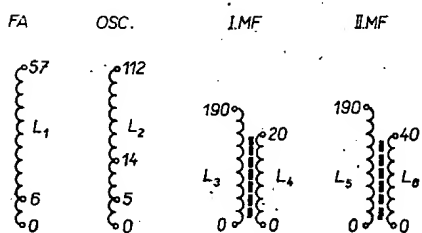
Všechny použité součástky jsou běžně k dostání. Vysokofrekvenční tranzistor OC170 je p-n-p, proto pozor – emitor je přes odpór 1 kΩ připojen na kladný pól baterie. Na koncový stupeň pro dvojčinný zesilovač volíme párované tran-



Obr. 1. Schéma zapojení superhetu Viro



Obr. 2. Uspořádání mf transformátoru



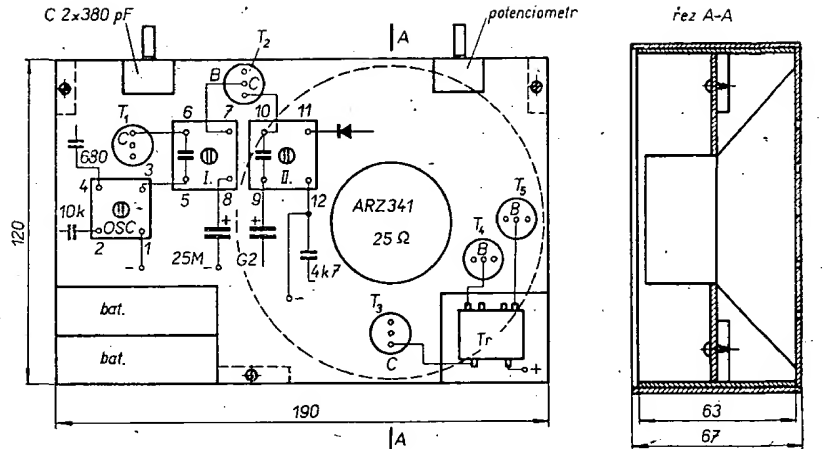
Obr. 3. Cívky superhetu Viro

zistory. Otočný kondenzátor z přijímače Doris je stále k dostání ve výprodeji za 10,- Kčs v Myslíkově ulici v Praze. Nízkofrekvenční transformátor je ze stavnice Radieta a je rovněž běžně k dostání. Na výstupu musí mít zátěž 25Ω , volíme proto reproduktor Tesla ARZ341.

Před konečnou montáží se vyplatí se staví celý přístroj na zkoušebním šasi. V tom případě nahradíme všechny odpory, označené na obr. 1 hvězdičkou, odporovými trimry. Před uvedením do chodu nastavíme trimry na největší odpor. Máme-li všechno dobře překontrolováno, zapojime do přívodu z obou baterie miliampérmetr. K seřízení správného chodu přístroje slouží odporové trimry, jimiž nastavíme nejvhodnější pracovní bod tranzistorů. Největší citlivost seřizujeme posouváním anténních cívek, vyvážením ladícího kondenzátoru trimry 30 pF a sladěním oscilátoru a meziprekvečních transformátorů. Teprve až dosáhneme maximální citlivosti, nahradíme odporové trimry pevnými odpory.

Po dokončení zkoušební konstrukce je vhodné nakreslit celou sestavu na papír, abychom při přemístování součástí na panel měli stále kontrolu a nezaměnili některé součástky nebo vývody. To platí např. o vývodech od potenciometru, kde může snadno dojít k zámčení.

Poslední prací je zhotovení skřínky. O tom jen několik slov, neboť každý amatér má v tomto oboru již svou vlastní metodu. Jako materiál se hodí letecká překližka tloušťky 2 mm. Podle obr. 4 budou díly skřínky slepeny z dvojitě překližky tak, aby po obvodu vzniklo osazení, do něhož se vpředu zacíluje a zlepí celo skřínky s vyvrtnými nebo vyřezanými otvory pro reproduktory. Vzadu se do osazení zapustí zadní kryt. Je tedy třeba slepit nejprve bočnice (nejlépe lepidlem Epoxy), po řádném zaschnutí zkosit hrany na všech čtyřech krátkých stranách a potom celou skřínku složit a slepit. Po zaschnutí a jemném obroušení ji pak dvakrát naštěme černým latexovým lakem. Konstrukci stupnice, převodů k jemnějšímu ladění a ovládacích prvků ponechávám na výrobních možnostech každého amatéra.



Obr. 4. Rozmístění součástek

AUTO HLÍDAČ

Emil Dvořák

Zařízení slouží k hlídání uzavřených vozidel za nepřítomnosti majitele. Při pokusu o vniknutí, tj. pootevření kterýchkoliv dveří, kapoty nebo víka kufru začne houkačka přerušeně signálizovat pokus krádeže, a to po dobu max. 30 s (dojde-li k okamžitému uzavření), nebo po celou dobu otevření plus max. 30 s při pozdějším uzavření. Neodráží „zájemce“ ani tuto výstrahu a vnikne do vozu, houkačka sice po 30 s umlkne, dojde-li však k zapojení zapalování, zní po celou dobu zapojení a zmlkne až po vypnutí zapalování.

Přerušovaný tón byl zvolen proto, že plynulý by mohl být považován za závadu v obvodu houkačky a také proto, že přerušovaný tón je mnohem nápadnější a pronikavější. V každém případě však doporučuji volit samostatnou houkačku, ukrytou někde pod kapotou. Zařízení se zapíná po opuštění vozidla „tajným spínačem“.

Technická data

Určení: a) pro vozidla se záporným pólem na kostře (obr. 1 a 3),
b) pro vozidla s kladným pólem na kostře (obr. 2 a 4).

Zařízení jistí: a) všechny dveře, kapotu a víko kufru, b) zapalování.

Výstražný signál: tón houkačky, přerušovaný v intervalu 0,5 s.

Doba signálu: a) po celou dobu otevření + max. 30 s,
b) po celou dobu zapojení zapalování.

Napájecí napětí: 12 V.

Odběr při hlídání: 0 A.

Odběr při činnosti: max. 0,2 A.

Popis činnosti

Schéma zapojení autohlídace je na obr. 1 až 4. Konstrukce podle obr. 1 a 3 je určena pro vozidla se záporným pólem na kostře, podle obr. 2 a 4 pro kladný pól baterie na kostře. Zapojení na obr. 3 je vylepšené zapojení z obr. 1 a na obr. 4 vylepšené zapojení z obr. 2. Důvody obou konstrukcí budou uvedeny dále v textu.

Funkci zařízení si popišeme podle schématu na obr. 1. Jde o dva samostatné časové spínací obvody, z nichž první tvoří relé Re_1 , tranzistor T_1 a kondenzátor C_1 . Tento obvod slouží k určení celkové doby přerušování signálu, po případě pro libovolný počet opakování této doby. Druhý obvod se skládá z C_2 , T_2 , R_3 , Re_2 a přeruší tón houkačky v poměru asi 1:1 (0,5 s).

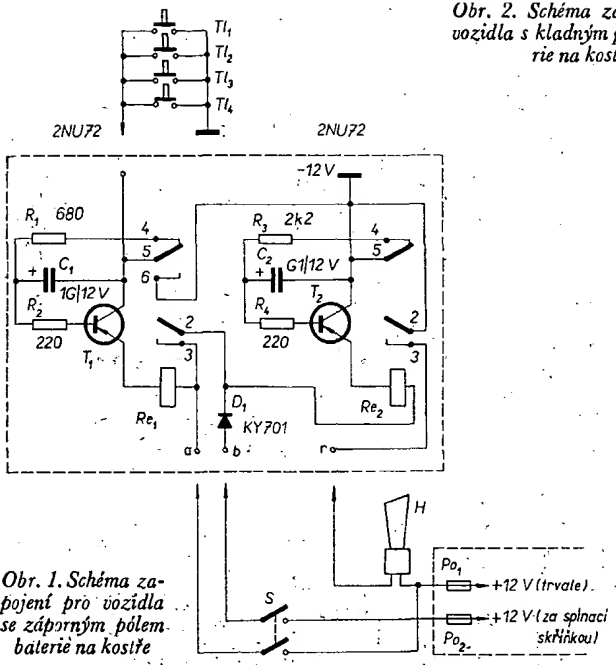


Konstrukce využívá tzv. přechodového jevu, tj. děje, který probíhá v době přechodu z jednoho stavu do druhého. V popisovaném zařízení jde o nabíjení kondenzátoru. Zařadíme-li totiž do série s kondenzátorem odpor a tento obvod připojíme ke konstantnímu zdroji stejnosměrného napětí, nedosáhne napětí na kondenzátoru ihned velikosti napětí zdroje, ale zvětšuje se podle nabíjecí křivky. Proud kondenzátoru je v okamžiku připojení maximální a je omezen jen činným odporem. Postupně se proud zmenší (napětí se zvětšuje) a blíží se nule. Nabíjení tedy trvá určitý čas; ten je dán velikostí časové konstanty RC a je tím delší, čím větší jsou kapacita a odpor.

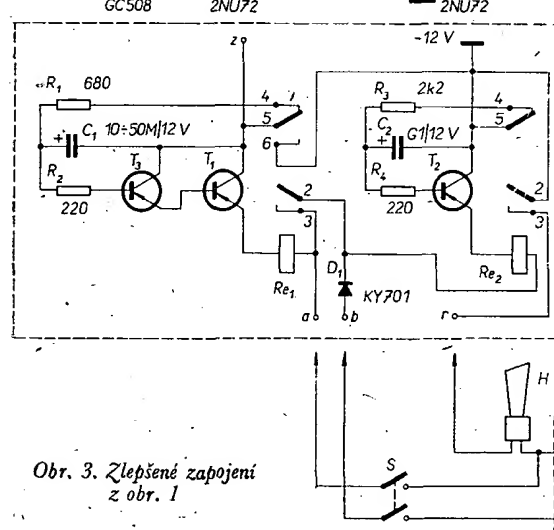
V našem případě jde o kapacitu C_1 (C_2), vstupní odpor tranzistoru T_1 (T_2), činný odpor a indukčnost vinutí relé Re_1 (Re_2). Přechodový děje je ovšem záležitost poněkud složitější, domnívám se však, že tento krátký popis stačí k ujasnění činnosti zařízení. Při návrhu je třeba vycházet z vlastností použitého relé a podle proudu jeho cívky volit vhodný tranzistor. Tím dostaneme konstanty obvodu R a L a časovou konstantu lze tedy měnit jen změnou velikosti kondenzátoru C .

Činnost obvodu

Po opuštění vozidla je třeba zapnout spínač S . Tím se přivede k hlídaci přes pojistku vozu P_0 napětí +12 V. Protože však všechny spínače T_1 až T_4 (nebo i další) jsou při uzavření dveří rozepnuty, zařízení sice „hlídá“, ale odber ze zdroje je prakticky nulový. Do-



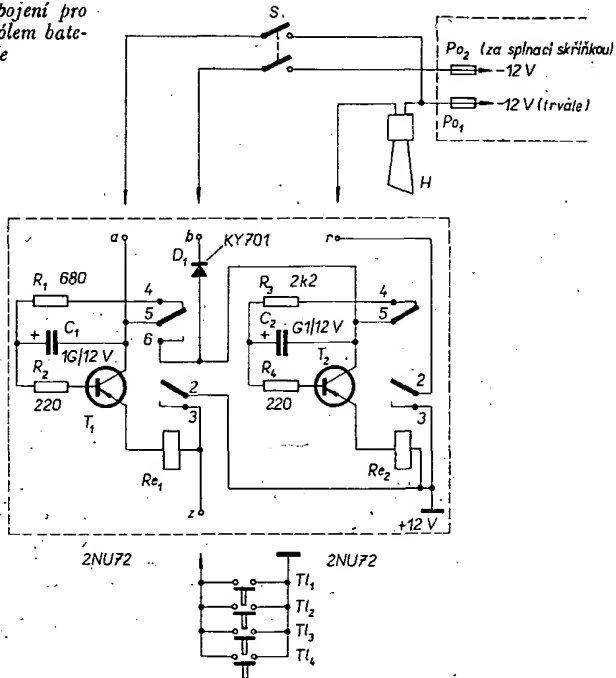
Obr. 1. Schéma zapojení pro vozidla se záporným pólem baterie na kotle



Obr. 3. Zlepšené zapojení z obr. 1

Jde-li však k sepnutí některého ze spínačů T_l, uzavře se první časový obvod: +12 V - Po₁ - S - vinutí relé Re₁ - T₁ - sepnutý dveřní kontakt T_l - -12 V. V prvním okamžiku připojení ke zdroji se každý kondenzátor chová jako vodivé spojení a proto také C₁ otevře přes ochranný odpór R₂ tranzistor T₁ a téměř celé napětí zdroje se objeví na vinutí relé Re₁, které přitáhne. Kontakty 5-6 se sepnou a tímto samodružným kontaktem je nyní obvod přímo spojen se záporným pólem zdroje. I když tedy dveře okamžitě zavřeme, zůstane první časový obvod v činnosti. Doba sepnutí je závislá na kapacitě kondenzátoru C₁. Ten se nabije a zvětšující se napětí na něm postupně uzavírá tranzistor T₁, což vyvolává postupné zmenšování proudu v obvodu T₁-Re₁ tak dlouho, až se zmenšujícím se proudem zmenší se napětí na vinutí relé na velikost, při níž toto relé rozepne (asi 4 V). Kontakty se vrátí do původní polohy - kontakty 5-4 sepnou a 2-3 rozepnou. Kondenzátor C₁ se vybije přes odpór R₁. Pokud by některý z kontaktů

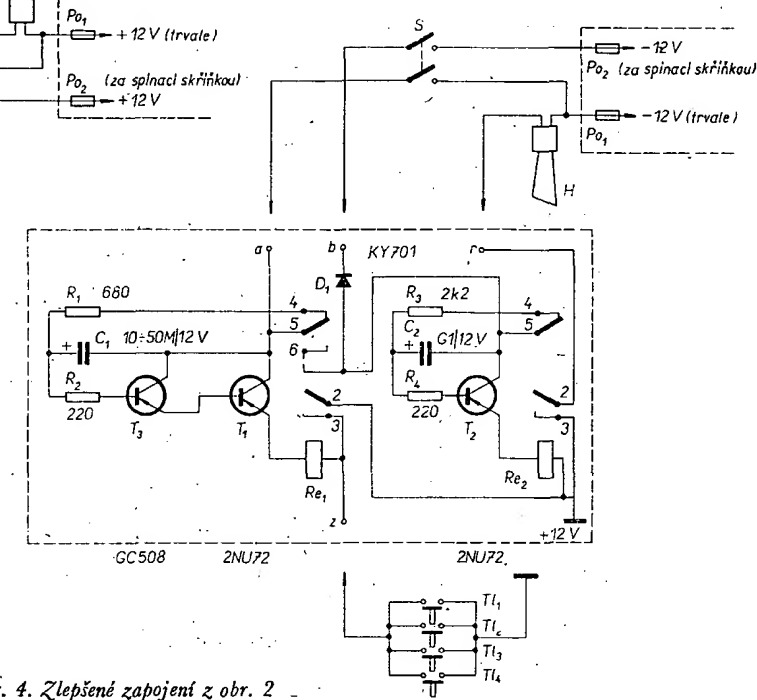
Obr. 2. Schéma zapojení pro vozidla s kladným pólem baterie na kotle



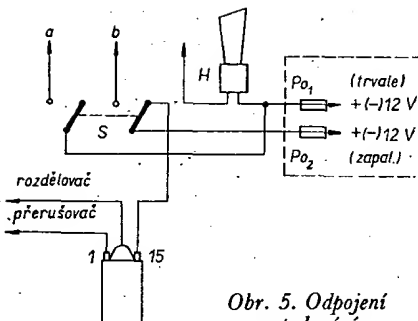
T_l zůstal spojen (otevřeno), bude se děj opakovat tak dlouho, dokud nedojde k rozpojení kontaktu. Doba, po kterou ještě po rozpojení kontaktu houkačka zní, je závislá jednak na kapacitě kondenzátoru C₁, jednak na okamžiku, kdy při nabíjení C₁ dojde k rozpojení kontaktu. Kapacitu kondenzátoru C₁ je vhodné volit tak, aby maximální doba sepnutí Re₁ byla 20 až 30 vteřin při krátkém sepnutí T_l.

Pro informaci je třeba ještě podotknout, že při opakováném spínání prvního obvodu jsou další intervaly o něco kratší. Toproto, že relé od druhého sepnutí pracuje již od bodu odpadu relé. To však není na závadu, neboť jednotlivé doby téměř splývají.

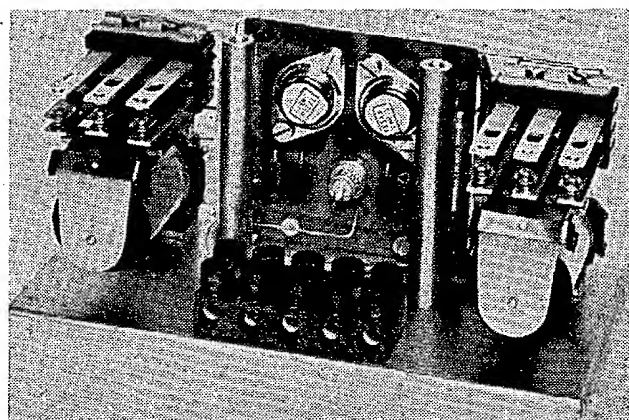
Druhý časový obvod se skládá z C₂, T₂, Re₂, R₃ a slouží k přerušování tónu v časovém poměru asi 1:1 (0,5 vteřiny). Napájecí napětí +12 V se přivádí přes



Obr. 4. Zlepšené zapojení z obr. 2



Obr. 6. Autohlídac podle obr. 3



kontakty 2-3 relé R_{e1} v okamžiku, kdy relé R_{e1} sepně.

Funkce druhého obvodu je prakticky stejná jako v prvním případě. Délku výstražného tónu lze nastavit vhodnou kapacitou C_2 a délku pomlky velikostí vybijecího odporu R_3 . Houkačka je připojena na doteky 2-3 relé R_{e2} (má-li toto relé další volný svazek, je vhodné připojit tyto doteky paralelně). Bude přerušeně signalizovat po celou dobu sepnutí R_{e1} .

Je tu však ještě další prvek – D_1 . Ta propustí na druhý obvod napětí +12 V přes Po_2 při zapnutí zapalování. Houkačka opět začne signalizovat a bude znít po celou dobu zapnutí zapalování. První obvod přitom není v činnosti. Kromě toho má dioda za úkol oddělit zařízení od zapalování.

Zapojení na obr. 3 je stejně jako na obr. 1 jen s tím rozdílem, že používá navíc tranzistor T_3 v Darlingtonově zapojení. Důvod je jednoduchý: na našem trhu je totiž velmi omezený výběr relé. Použité RP100, 12 V, má činný odpor vinutí asi 100 Ω . Chceme-li proto dosáhnout delšího času, musíme použít kondenzátor o velké kapacitě. Ve druhém obvodu jde o krátký čas, kapacita C_2 vyjde tedy ještě poměrně malá (100 μF). Horší je to v prvním obvodu, kde bylo podle obr. 1, 2 třeba použít kapacitu 1 000 μF a doba sepnutí pro uvedené relé byla i s ním jen asi 10 s. To je trochu málo a je tedy třeba buďto použít relé s odporem vinutí alespoň 200 Ω , nebo raději předřadit další, levný tranzistor T_3 . Pak lze s kapacitou $C_1 = 50 \mu\text{F}$ dosáhnout doby sepnutí 30 až 35 s. Darlingtonovým zapojením se totiž podstatně zvětší vstupní odpor obvodu a zvětší se podstatně i proudový zesilovací činitel (oba tranzistory lze považovat v tomto zapojení za jeden), což přispěje k rychlejšímu a spolehlivějšímu spinání relé R_{e1} .

Zapojení na obr. 2 a 4 jsou určena pro vozy s kladným polem na kostře. Činnost je stejná, došlo jen k několika změnám v zapojení kontaktů a přemístění diody D_1 .

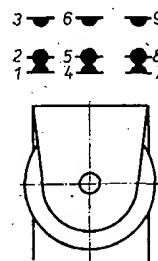
Volba součástí

U relé R_{e2} musíme počítat s tím, že jeho kontakty musí snést proud houkačky, tj. min. 4 A. Vhodný je typ RP100, 12 V (nebo ZV 14 C1). Oba druhy vyrábí ZPA Trutnov. Odpor vinutí prvního relé je 98 Ω . Toto relé má tři přepínací svazky. C_2 a C_3 budou podle schématu, jen při použití relé s větším odporem vinutí kapacitu C_2 zmenšíme a R_3 zvětšíme. Relé R_{e1} může být stejně, je však možné použít libovolné relé, které snese proud asi 0,1 A a má alespoň jeden spínací a jeden přepínací svazek. Tranzistory T_1 a T_2 je třeba volit podle typu relé. Pro RP100, 12 V, využívají tranzistor 2NU72, pro relé, které

mají odpor vinutí minimálně 200 Ω , stačí GC500. Jako T_3 lze použít tranzistor GC508. Kondenzátory C_1 a C_2 volíme podle požadované doby, dioda může být libovolná z řady KY701 až 705. Protéká jí proud max. 0,1 A.

Montáž a nastavení

Důležité je, aby zařízení bylo umístěno v kovové, dobře (nejlépe pryží) utěsněné skřínce, aby se mezi kontakty relé nedostal prach a nečistota. Po montáži a zapojení autohlídací doby zkонтrolujeme a nastavíme mimo vůz. V závorce uvedené hodnoty platí pro zapojení podle obr. 2 a 4.



Obr. 7. Označení kontaktů relé RP100, 12 V

Místo houkačky připojíme malou žárovku 12 V mezi +12 V (–) a kontakt „b“ svorkovnice. Ke kostře zařízení připojíme záporný (kladný) pól baterie. Nejprve odzkoušíme a nastavíme druhý obvod. Na kontakt 2 (6) relé R_{e1} přivedeme +12 V (–12 V). Po připojení napětí má tento obvod pracovat – žárovka se má rozsvěcovat a zhasinat v časovém intervalu asi 0,5/0,5 s. Protože však jde o opakováný děj, je třeba kontakt 4 relé R_{e1} opatrně přihnout ke kontaktu 5 tak, aby obvod spolehlivě pracoval i při napětí 10 V.

Odpojíme kladný (záporný) pól baterie od kontaktu 2 (6) relé R_{e1} a připojíme jej k bodu „b“ svorkovnice. Je-li dioda D_1 správně zapojena, musí druhý obvod opět pracovat. Délku tónu lze nastavit změnou velikosti C_2 a pomlku změnou velikosti R_3 .

Kladný (záporný) přívod 12 V odpojíme od bodu „b“ svorkovnice a připojíme k bodu „a“. Druhý pól baterie –12 V (+12 V) připojíme na okamžík k bodu „a“ svorkovnice. Celý hlídací musí pracovat. Změříme dobu příthahu relé R_{e1} a podle potřeby upravíme velikost kondenzátoru C_1 na dobu asi 20 až 30 s.

Přívod –12 V (+12 V) připojíme k bodu „a“ svorkovnice trvale. Celé zařízení bude pracovat tak, že doba činnosti prvního stupně se bude opakovat. Je ovšem nutné, stejně jako v prvním případě, přihnout kontakt 4 relé R_{e1} k

kontaktu 5 tak, aby zařízení opět spolehlivě pracovalo i při napětí 10 V. Tím je nastavení skončeno.

Montáž do vozu

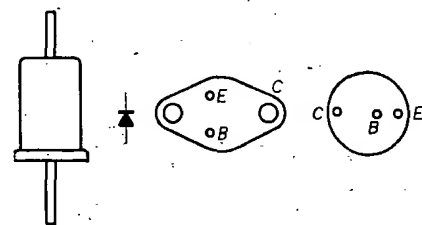
Zařízení upevníme ve voze a dobře propojíme s kostrou! Spínač S umístíme tak, aby byl dobré skryt, ale zvenčí přístupný. Výhodný je spínač ovládaný klíčkem. Jako kontakty do dveří a vík lze použít dveřní kontakty pro osvětlení kabiny při otevření dveří nebo libovolnějiné, ovšem spolehlivé. Vývod svorkovnice „a“ připojíme přes spínač S za pojistku Po_1 , na níž je i při vypnutém zapalování vozu napětí zdroje (u MB je to pojistka č. 1) a vývod „b“ přes spínač S za pojistku Po_2 , na níž se objeví napětí až po zapnutí zapalování.

Automobil není vše příliš levná a s odceněním je vždycky mnoho starostí. Chtěl jsem proto umožnit co největšímu počtu zájemců, aby si mohli svůj majetek zabezpečit. Tím lze také vysvětlit poněkud delší popis zařízení.

A ještě jednu připomíinku, o níž nebyla v popisu zmínka. Doporučují ještě kromě akustického jištění odpojovat podle obr. 5 při delším opuštění vozu zapalování. Uprava je velmi jednoduchá a jistě se vyplatí. Na obr. 6 je zařízení podle obr. 3, na obr. 7 je ještě pro úplnost označení kontaktů relé RP100 a na obr. 8 zapojení patic tranzistorů a vývodů diody.

Rozpiska součástek

R_1	- odpor 680 Ω /0,25 W
R_2, R_4	- odpor 220 Ω /0,25 W
R_3	- odpor 2,2 k Ω /0,25 W
R_{e1}, R_{e2}	- relé RP100, 12 V
D_1	- dioda KY701
T_1, T_2	- tranzistor 2NU72
T_3	- tranzistor GC508
S	- spínač 250 V/4 A
Tl	- dveřní spínač
C_1	- kondenzátor el.: 1 000 μF /12 V pro zapojení podle obr. 1 a 2, 10 až 50 μF /12 V pro zapojení podle obr. 3 a 4.
C_2	- kondenzátor el. 100 μF /12 V
H	- houkačka 12 V



Obr. 8. Zapojení diody a tranzistorů

KONVERTOR pro

145 MHz

Ing. Oldřich Hanuš

(Dokončení)

V tab. 1 jsou uvedeny základní kmitočty krystalu, výstupní kmitočet oscilátoru (příslušná 3. nebo 5. harmonická), počet násobení a výstupní kmitočet násobiče pro zvolenou mezfrekvenči.

Krystal je zapojen mezi zem a horní konec vazebního vinutí L_9 . Dolní konec vazebního vinutí L_9 je připojen na mřížku elektronky E_4' . Orientace vinutí L_9 je kritická a jednotlivé konce cívky nesmějí být zaměněny. Cívka L_9 je navinuta na společné kostře s cívkou L_{10} a je umístěna u jejího studeného konce.

Mřížkový svod elektronky E_4' tvoří odpor R_{12} . Katoda elektronky E_4' je přímo spojena se zemí.

V anodovém obvodu elektronky E_4' je rezonanční obvod složený z cívky L_{10} a kondenzátoru C_{15} . Obvod je nalaďen na výstupní kmitočet oscilátoru (příslušná lichá harmonická kmitočtu krystalu). Orientace vinutí je stejně důležitá jako orientace vinutí L_9 . Horní konec musí být připojen na anodu elektronky E_4' a na dolní konec musí být přiváděno napájeci napětí. Změna orientace jednoho z vinutí má za následek, že oscilátor nekmitá.

Počet závitů vinutí L_{10} a kapacita kondenzátoru C_{15} jsou přímo závislé na výstupním kmitočtu oscilátoru. Hodnoty uvedené ve schématu na obr. 1 platí pro 5. harmonickou základního kmitočtu krystalu v oblasti 13 až 14 MHz.

Napájeci napětí oscilátoru je 150 V a je výhodné používat napájetí stabilizované, neboť přispívá ke stabilitě kmitočtu a tím i celého konvertoru. Zvětšovat napájetí nemá význam. Vzrůstá jen zbytkové spotřeba stupňem, vytvářejí se předpoklady k vyzařování, spolehlivost činnosti oscilátoru se však nezlepší. Napájeci napětí pro oscilátor se přivádí na studený konec cívky L_{10} přes filtrační člen složený z odporu R_{13} a kondenzátoru C_{16} .

Z anody elektronky E_4 se výstupní kmitočet oscilátoru přivádí přes vazební kondenzátor C_{14} na mřížku elektronky E_4 , která pracuje jako násobič kmitočtu. Odpor R_{11} tvoří mřížkový svod této elektronky. Jeho velikost se pohybuje v rozmezí 47 kΩ až 100 kΩ a změnou lze nastavit optimální podmínky pro činnost násobiče na příslušné harmonické kmitočtu oscilátoru. Katoda elektronky E_4 – podobně jako katoda elektronky E_4' – je spojena se zemí..

V anodovém obvodu této elektronky je rezonanční obvod složený z cívky L_8 a kondenzátoru C_{13} . Obvod je nalaďen na kmitočet potřebný k získání dané mezfrekvence.

Vysokofrekvenční signál pro směšování se odebírá z vazebního vinutí L_7 (umístěného u studeného konce cívky L_8) a přivádí se souosým kabelem na katodu směšovače (elektronka E_3).

Napájeci napěti pro násobič se přivádí na studený konec cívky L_8 přes filtrační člen složený z odporu R_{10} a kondenzátoru C_{12} . Účel filtru je podobný jako u přecházejících stupňů. Stabilizace napěti není nutná, ovlivňuje však příznivě stabilitu kmitočtu.

Konvertor je postaven na destičce s plošnými spoji. Smaragd C84, rozdělené přepážkami na tři samostatné části (obr. 2).

V první jsou vstupní obvody a obvody první elektronky kaskódy, ve druhé obvody druhé elektronky kaskódy, pásmová propust pro 145 MHz, obvody směšovací elektronky a katodového sledovače.

Celkové uspořádání konvertoru je na obr. 3, umístění vstupního obvodu a neutralizační tlumivky na obr. 4. Umís-

Tab. 1. Kmitočty oscilátoru a výsledný kmitočet mezfrekvence

Rozsah předávané frekvence [MHz]	Kmitočet na výstupu násobiče [MHz]	Násobení v násobiči	Kmitočet na výstupu oscilátoru [MHz]	Harmonický číslo krystalu	Kmitočet krystalu [MHz]
3 až 5	141	2	70,5	3	23,5
		2	70,5	5	14,1
		3	47,0	3	15,6666
		3	47,0	5	9,4
		4	35,25	3	11,75
		4	35,25	5	7,05
		5	28,2	3	9,4
		5	28,2	5	5,64
4 až 6	140	2	70,0	3	23,3333
		2	70,0	5	14,0000
		3	46,0	3	15,3333
		3	46,0	5	9,2
		4	35,0	3	11,6
		4	35,0	5	7,0
		5	28,0	3	9,3
5 až 7	139	2	69,5	3	23,1666
		2	69,5	5	19,9
		3	46,3333	3	15,4444
		3	46,3333	5	9,2666
		4	34,75	3	11,5833
		4	34,75	5	6,95
		5	27,8	3	9,266
6 až 8	138	2	69,0	3	23,0
		2	69,0	5	13,8
		3	46,0	3	15,3333
		3	46,0	5	9,2
		4	34,5	3	11,5
		4	34,5	5	6,9
		5	27,6	3	9,2
9 až 11	135	2	67,5	3	22,5
		2	67,5	5	13,5
		3	45,0	3	15,0
		3	45,0	5	9,0
		4	33,75	3	11,25
		4	33,75	5	6,75
		5	27,0	3	9,0
13 až 15	131	2	65,5	3	21,8333
		2	65,5	5	13,1
		3	43,6667	3	14,5565
		3	43,6667	5	8,7333
		4	32,75	3	10,9166
		4	32,75	5	6,55
		5	26,2	3	8,7333
20 až 22	124	2	62,0	3	20,6666
		2	62,0	5	12,4
		3	41,3333	3	13,7777
		3	41,3333	5	8,2666
		4	31,0	3	10,3333
		4	31,0	5	6,2
		5	24,8	3	8,2666
28 až 30	116	2	58,0	3	19,3333
		2	58,0	5	11,6
		3	38,6666	3	12,8888
		3	38,6666	5	7,7333
		4	29,0	3	9,0
		4	29,0	5	5,8
		5	23,2	3	7,7333
		5	23,2	5	4,64

tění cívek v oscilátoru a násobiči a jejich připojení k plošným spojům je na obr. 5. Rozdělení konvertoru přepážkami na jednotlivé části a připevnění cívek ve směšovači je vidět na obr. 6.

Přepážky oddělující jednotlivé části konvertoru jsou z mosazného plechu tloušťky 0,8 mm. Jejich povrch je galvanicky postříbřen. K destičce jsou připevněny na čtyřech místech. K přepážkám jsou přinýtovány čtyři pájeci očka o Ø 3 mm. Očka jsou provléknuta otvory v destičce a na její horní straně jsou zahnuta v pravém úhlu. Ohyb očka musí být těsně hrany destičky tak, aby přepážky byly k destičce pevně připojeny. Připevnovat přepážky k destičce pouhým připájením se nedoporučuje.

Aby byl zajištěn dokonalý stínicí účinek, je třeba přepážky po celé délce styku s měděnou fólií destičky rádně propájet. Stejně důkladně je třeba propájet rohy, kde se jednotlivé díly přepážek stykají. Rozměry přepážek jsou na obr. 7.

Vstupní konektor konvertoru je připevněn na můstku z mosazného plechu tloušťky 1 mm. Povrch můstku je galvanicky postříbřen. K destičce je můstek připevněn čtyřmi šroubkami M3 a v místech styku je připájen k měděné fólii. Tvar můstku a jeho rozměry jsou na obr. 8. a 10. Mezi součástky, které nejsou na trhu k dostání a které je třeba vyrobit, patří stínici kryty na elektronky. Jsou z mosazného plechu tloušťky 0,4 mm, který je svinut do válce o průměru 22 mm. Povrch krytu je pro zlepšení vzhledu galvanicky postříbřen. Při menších náročích na povrchovou úpravu lze stínici kryty zhotovit ze železného pocívaného plechu stejné tloušťky. Rozměry plechu na stínici kryt v rozvinutém tvaru jsou na obr. 9.

Při svinování krytu postupujeme tak, že plech ovineme kolem vhodné kulatiny o průměru o 2 až 3 mm menším, než je požadovaný výsledný průměr. Použitím menšího průměru při svinování krytu vyloučíme zvětšení průměru, způsobené pružností svinovaného materiálu.

Při připevnění krytu k destičce připájíme na obvodu u jejich dolního okraje rovnoběžně s podélnou osou tři drátky o Ø 0,8 mm. Drátky přesahují po připájení dolní okraj krytu asi o 5 až 10 mm.

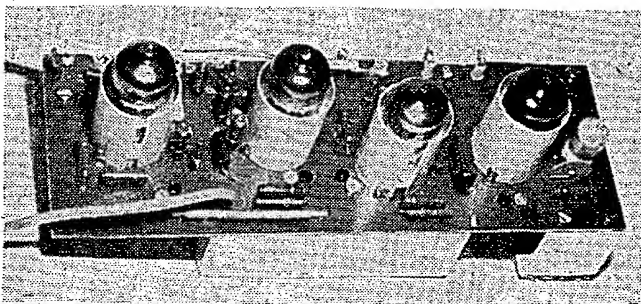
Po připájení objímky pro elektronku na destičku nasuneme na elektronky kryty a drátky přečnívající dolní okraj krytu provlékneme otvory v destičce. Drátky připájíme k měděné fólii na dolní straně destičky.

Dalšími součástkami, které si musíme sami zhotovit, jsou tlumivky používané ve žhavicích obvodech elektronek a napájecích obvodech anod. K jejich výrobě použijeme polovinu feritové tyčinky z pásmových propustí Tesla.

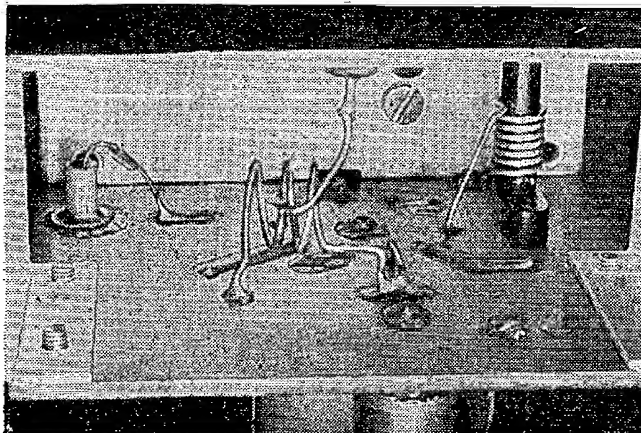
Vývody tlumivek zhotovíme tak, že na konce tyčinek navineme dva závity holého drátu o Ø 0,4 až 0,5 mm. Po navinutí závity propájíme. Při pájení je vhodné použít více kalafuny. Po zchladnutí se přebytečnou kalafunou závity přilepi k tyčince a vytvoří tak dostačné pevné spojení. Konce volných drátů, z nichž byly takto vytvořeny prstýnky pro připájení konců vinutí, ponecháme dlouhé asi 20 až 30 mm.

Na takto upravené tyčinky navineme počet závitů podle tab. 2.

Abychom zpevnili vinutí a zlepšili celkový vzhled tlumivek, natřeme je acetonovou barvou. Je výhodné volit pro jednotlivé druhy tlumivek různé barvy.



Obr. 3. Celkový vzhled konvertoru



Obr. 4. Umístění vstupního obvodu a neutralizační tlumivky

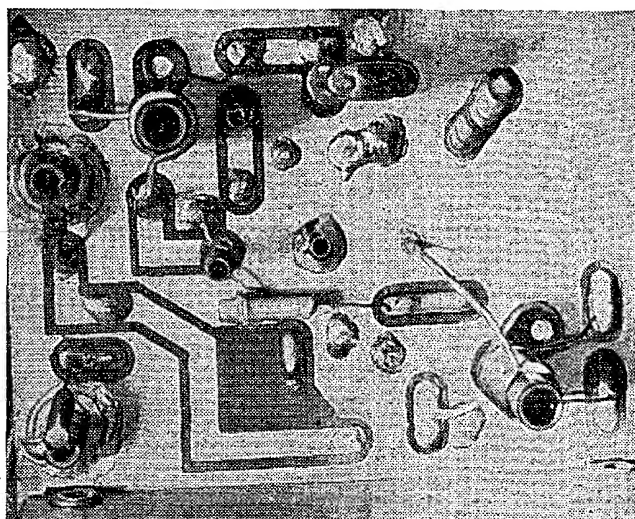
Uvádění do chodu

Po dokončení montáže konvertoru důkladně prověříme, je-li destička s plošnými spoji správně osazena součástkami podle schématu na obr. 1 a 2. Současně překontrolujeme, jsou-li součástky rádně připájeny k měděné fólii. Zvláštní pozornost věnujeme přezkoušení připevnění přepážek.

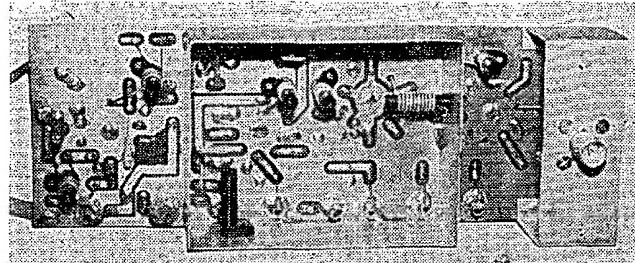
Je-li všechno v pořádku, zasuneme do objímek elektronky a pomocí GDO předladíme jednotlivé rezonanční obvody. Předladujeme za „studena“ a proto je nutné ladit vstupní obvod, neutralizační obvod, článek II a pásmovou propust o 2 až 3 MHz výš. Rezonanční obvody oscilátoru a násobiče ladíme na jmenovitý kmitočet.

Tab. 2. Údaje cívek

Cívka	Počet závitů	\varnothing drátu [mm]	Délka vinutí [mm]	\varnothing kostry (cívky) [mm]	Jádro	Poznámka
L_1	3	0,8 CuAg	10	10		odbočka 1,25 závitu od studeného konce cívky
L_2	7,5	0,6 CuAg	9	5	Siemens U17	čs. výroba, hmota N02
L_3	10	0,8 CuAg	14	5	U17	N02
L_4	7	0,8 CuAg	10	5	U17	N02
L_5	5	0,8 CuAg	10	5	U17	N02
L_6	47	0,3 CuP	17	5	20K12	čs. výroba, hmota N01, vinuti těsně závit vedle závitu
L_7	2	0,5 CuP		5		vinuto u studeného konce cívky L_8
L_8	8,25	0,8 CuAg	13	5	U17	N02
L_9	5	0,5 CuP				vinuto u studeného konce cívky L_{10}
L_{10}	7	0,8 CuAg	10	5	U17	N02
Tl_5	50	0,2 CuP				vinuto těsně na feritové tyčince
Tl_1 až Tl_4	30	0,4 CuP				vinuto těsně na feritové tyčince



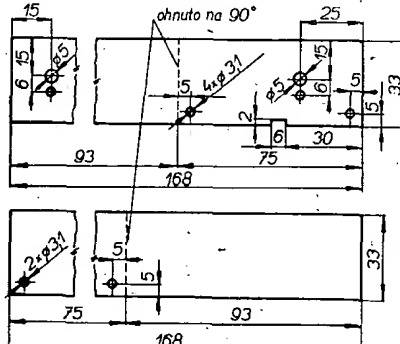
Obr. 5. Umístění cívek oscilátoru a násobiče



Obr. 6. Rozdelení konvertoru na jednotlivé části přepážkami

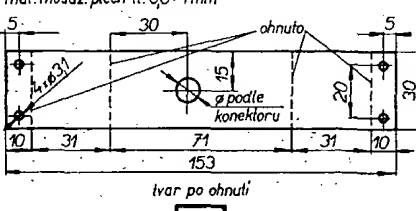
Při předlaďování pásmové propusti musíme tu polovinu, kterou neladíme, zatlumit odporem asi $1\text{ k}\Omega$. Nastavujeme střídavě jednu a pak druhou polovinu. Aby bylo zaručeno co nejpřes-

mat. mosaz. plech tl. $0,8\pm 1\text{ mm}$



Obr. 7. Rozměry přepážek

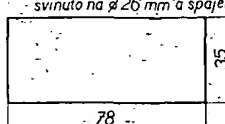
mat. mosaz. plech tl. $0,8\pm 1\text{ mm}$



Obr. 8. Nosník vstupního konektoru

mat. mosaz. plech - 4 ks

svinuto na $\varnothing 26\text{ mm}$ a spojeno



Obr. 9. Rozměry stínicího krytu na elektronky

nější předladění, musíme postup několikrát opakovat.

Při nastavování rezonančního obvodu L_6 a C_x musíme odpojit zatlumovací odpor R_6 . Obvod se nastavuje na střed přijímaného mezifrekvenčního pásmá.

Další operaci je nastavení oscilátoru a násobiče. Z konvertoru vyjmeme elektronky E_1 , E_2 a dvojité triodu E_3 , E_3' . Připojíme žhavicí napětí 6,3 V a stabilizované napájecí napětí 150 V.

GDO přepnuty do funkce diodového indikátoru naladěného na příslušnou harmonickou krystalu se přiblížíme k cívce L_{10} a zjistíme, kmitá-li oscilátor. Nekmitá-li (cívka L_{10} byla správně předladěna, elektronka je v pořádku), je nutné hledat závadu ve špatném orientaci jednoho z vinutí L_9 , L_{10} , popřípadě ve vadném krystalu. Kmitá-li, nastavíme otáčením jádra v cívce L_{10} maximální výchylku ručky měřidla na GDO.

Výstupní obvod násobiče naladíme tak, že na GDO nastavíme výsledný kmitočet násobení a přiblížíme se k cívce L_8 . Otáčením jádra této cívky naladíme obvod na maximální výchylku ručky měřidla.

Při správném nastavení rezonančních obvodů oscilátoru a násobiče protéká napájecím obvodem celkový proud asi 10 mA.

Zbývající část konvertoru naladíme nejlépe signálním generátorem. Kmitočet signálního generátoru se nastavuje na střední kmitočet přijímaného pásmá, tj. 145 MHz.

Po naladění oscilátoru a násobiče odpojíme od konvertoru napájecí napětí. Připojíme propojovací kabel, zasuneme všechny elektronky a výstup konvertoru připojíme na vstup přijímače používaného jako laděná mezifrekvenční. Připojíme obě žhavice napájecí a napájecí napětí 150 V (stabilizované). Na signálním generátoru nastavíme úroveň signálu na 20 až 50 μ V a přivedeme na vstupní konektor konvertoru. Otáčením jader cívek jednotlivých obvodů nastavujeme maximální výchylku ručky S-metu na přijímači. Současně se zvětšováním výchylky ručky S-metu úměrně zmenšujeme úroveň signálu ze signálního generátoru.

Při nastavování jednotlivých rezonančních obvodů postupujeme od pásmové propusti směrem ke vstupním obvodům.

Po naladění vstupních obvodů doloďíme jádrem cívky L_6 rezonanční obvod mezifrekvenční tak, aby v celém rozsahu pásmá byl zisk stejný.

Po nastavení konvertoru se zmenšeným napětím připojíme plné napětí 250 V a celý postup nastavování několikrát opakujeme.

Konečné nastavení konvertoru prověřujeme ve spolupráci s protistanicí přímo na pásmu.

Potřebnou úroveň signálu pro nastavování je možné upravit různým natáčením antény protistanice.

Nejvhodnější úroveň signálu pro konečné nastavení je taková, kdy se signál pohybuje těsně nad hranicí šumu.

S přijímačem jako laděnou mezifrekvenční se vstupní citlivostí 5 μ V je

citlivost na vstupu konvertoru pro odstup signál-šum 10 dB 0,1 μ V.

Zrcadlová selektivita je minimálně 50 dB a šumové číslo 2,3 kT₀. (Měřeno s přijímačem K12.)

POLOTRANZISTOROVÝ TRANSCEIVER

Jaroslav Kremlíčka, OK1-15677

Transceiver je ideálním zařízením pro provoz SSB – to v každý amatér. Jeho přednosti je jednoduchá obsluha, což je důležité zvláště při závodech. Také finanční náklady jsou při stavbě přijímače a vysílače klasickým způsobem mnohem vyšší. Zvláště těžké je sehnat dva stejně dobré krystalové filtry. Snažil jsem se proto o co nejjednodušší zapojení a o využití stavebních prvků současné pro příjem i vysílání. Tak vznikl transceiver, jehož schéma je na obr. 1.

Popis zapojení.

Signál z antény se přivádí přes kontakty anténního relé A , indukční vazbou z L_1 na vstupní rezonanční obvod a z něj na emitor tranzistoru T_1 . Tranzistor je typu OC170 (GF517 apod.) a pracuje v zapojení s uzemněnou bází. Potenciometr v bázi slouží k ručnímu řízení citlivosti. Zesílený signál z kolektoru postupuje na druhý rezonanční obvod a na balanční směšovač. Kondenzátory C_1 a C_2 jsou dvě sekce kvartálu 4 × 17 až 170 pF. Za zmínku stojí neobvyklé řazení indukčnosti. Indukčnost pro nejnižší rozsah je trvale zapojena na ladící kondenzátor a do obvodu. Ostatní indukčnosti pro vyšší pásmá se připojují paralelně. Ušetří se tím přepinací kontakty na vazebních vinutích a funkce zůstane stejná.

Do balančního směšovače, který tvoří diody D_1 a D_2 , přichází kromě signálu ze vstupního vf zesílovače ještě signál z VFO. Balanční směšovač je zařazen pro lepší potlačení mezifrekvenčního kmitočtu na vstupu. Použitý kmitočet 4 455 kHz je blízko pásmá 3,5 MHz; jinak byly potíže s odstraněním nepřijemného zakmitávání. Vyvážení balančního směšovače se nastaví trimrem 1 k Ω na maximální potlačení mezifrek-

venčního kmitočtu (měřeno od anténního konektoru).

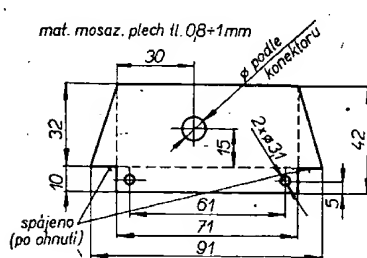
Za směšovačem (obvod L_9) je zařazen kapacitní dělič, který přizpůsobuje impedanci pro krystalový filtr. Za filtrem následuje dvoustupňový mezifrekvenční zesilovač v běžném zapojení, společný pro příjem i vysílání. Za zesilovačem je zapojen demodulátor (směšovač), který tvoří čtveřice diod D_3 až D_6 (GA206). Jeho činnost přepíná relé C . V klidové poloze relé C je na střed vinutí L_{12} přivedeno napětí z oscilátoru nosné a na výstup připojen nf transformátor T_{r3} . Při příjemu pracují diody jako vyvážený demodulátor. Pro optimální činnost je třeba, aby impedance primáru T_{r3} a velikost odporu mezi středem vinutí L_{14} a kostrou byly stejné.

Transformátor T_{r3} je nutné dobře magneticky stinit.

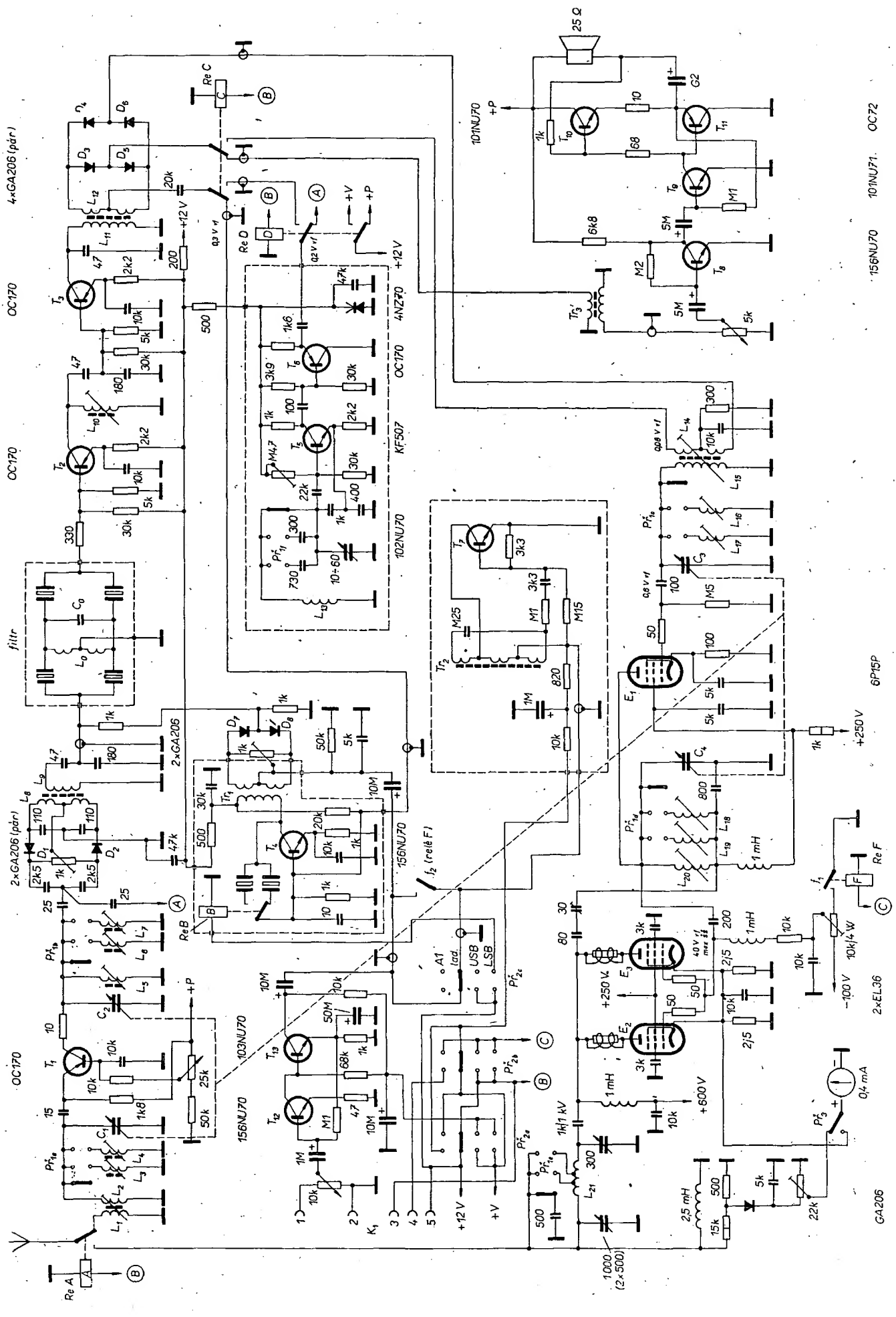
VFO tvoří oscilátor s emitorovým sledovačem. Na oscilátoru (T_5) je kremíkový tranzistor KF507 v zapojení s kapacitním děličem. Rozsahy se přepínají přepínačem P_{r1} , tj. řazením přídavných kondenzátorů v sérii s indukčností L_{13} . Vf napětí z emitorového sledovače T_6 přepínají kontakty relé D buďto do vstupního směšovače při příjmu, nebo do balančního směšovače při vysílání. Druhý pár kontaktů relé D přepíná na

Tab. I.

Označení	Počet závitů	Průměr drátu [mm]	L [μ H]	Jádro	Poznámka
L_1	3	0,11	—	kostra o \varnothing 7 mm, jádro M6 × 5	na L_2
L_2 , L_5 , L_{15} , L_{20}	37	5 × 0,05	13	kostra o \varnothing 7 mm, jádro M6 × 5	křížově
L_3 , L_6 , L_{16} , L_{18}	27	0,24	4	kostra o \varnothing 7 mm, jádro M6 × 5	válcově
L_4 , L_7 , L_{17} , L_{18}	11	0,24	0,9	kostra o \varnothing 7 mm, jádro M6 × 5	
L_{14}	2 × 6	0,11	—	kostra o \varnothing 7 mm, jádro M6 × 5	na L_{15}
L_8	2 × 4	0,11	—		na L_9
L_9 , L_{16} , L_{11}	22	5 × 0,05	27	hrničkové \varnothing 14	válcově
L_{12}	2 × 4	0,11			na L_{11}
L_{13}			1,2		vpálené stříbro do keramiky



Obr. 10. Držák vstupního konektoru



Obr. 1. Schéma transceiveru

pájení jednotlivých stupňů při příjmu a vysílání. Napájecí napětí oscilátoru je stabilizováno Ženerovou diodou 4NZ70. Všechny pevné kondenzátory ve VFO jsou slídové, vyvařené ve vcelém vosku, aby nenavlhaly.

Ovládání vysílače je vyvedeno na pětirozpojný mikrofonní konektor. Na kolíky 1 a 2 se připojí mikrofon s malou impedancí. Velmi dobré služby prokazuje reproduktor 25 Ω (Zuzana), použitý jako mikrofon. Kolíky 3 a 5 jsou spojeny s tlačítkem na mikrofonu, které přepojí z příjmu na vysílání po připojení napětí 12 V na relé A, D, C. Telegrafní klíč připojíme při provozu A1 na kolíky 4 a 5. Druh provozu se volí přepínačem Př_{2a,b,c}, který má čtyři polohy: provoz A1, ladění, USB, LSB. Při poloze A1 je zapojeno napájení pro generátor 1 000 Hz sinusového průběhu (T_7), a telegrafní klíč připojuje 12 V na relé F v rytmu telegrafních značek. Relé F připojí kontaktem f₂ výstup generátoru 1 000 Hz na balanční modulátor vysílače a kontaktem f₁ zakládaje koncový stupeň vysílače. Je třeba seřídit kontakty relé F tak, aby nejprve sepnuly kontakty f₂ a potom f₁. Při odpadu kotvy relé je postup rozpojení kontaktů opačný.

Při poloze „ladění“ je přepnuto na vysílání, není však zakládován koncový stupeň. Tato poloha je sice pro transceiver zbytečná, oceníme ji však při použití dalšího přijímače. Jako modulační signál slouží signál z generátoru 1 000 Hz. V další poloze přepínače Př_{2a,b,c}, „USB“, se připojí napájecí napětí mikrofonního zesilovače a relé F se připojí paralelně k ostatním relé. Poloha „LSB“ je stejná s předcházející jen s tím rozdílem, že relé B přepojuje druhý krystal v oscilátoru nosné.

Oscilátor nosné je osazen tranzistorem T₄ (156NU70). Při přeplování napájení je možné použít OC170 (GF517). Oscilátor je řízen krystalem. V kolektrovém obvodu je zapojen transformátor, který napájí balanční modulátor vf napětím. Vývážení nosné se nastaví trimrem 1 kΩ, na jehož běžec se přivádí modulační napětí z mikrofonního zesilo-

váče. Signál DSB se přivádí přes přizpůsobovací odporový dělič na krytalový filtr, který propustí jen jedno postranní pásmo, a dále na společný mezifrekvenční zesilovač. Čtvrtice diod D₃ až D₆ pracuje při vysílání jako směšovač signálu jednoho postranního pásmá se signálem VFO, který se přivádí přes kontakty relé C a D na střed vinutí L₁₂. Výstup balančního směšovače je připojen dalším kontaktem relé C na vstupní rezonanční obvod budiče (vinutí L₁₄). Budič je osazen elektronkou E₁ 6P15P, která má větší strmost než EL83, což se přiznivě projeví na vyšších pásmech. Přes tuto velkou strmost je stupeň (při stínění v objímce elektronky) dostatečně stabilní. V anodě je zapojen další rezonanční obvod, z něhož se budí koncový stupeň. Oba stupně jsou laděny v souběhu s obvody přijímače dvěma sekci kvartálu 17 až 170 pF (C₃ a C₄).

Koncový stupeň je osazen dvěma elektronkami EL36. Pokud chceme zařízení používat jen na síť, můžeme použít PL36 nebo PL500 a žhavit je přes kondenzátor. Protože tyto elektronky mají dost velkou kapacitu mezi anodou a první mřížkou, je třeba zavést neutralizaci koncového stupně. Uvedené elektronky mají podle katalogu anodovou ztrátu max. 10 W! Při napětí anody 600 V se elektronka snadno přetíží a zničí. Proto jsem použil dvě v paralelním zapojení a zatěžují je maximálně 70 W příkonu. Mohu však doporučit sovětské 6P13S nebo 6P31S, které sice mají o něco menší strmost, mají však mohutnější katodu a snášeji proto bez poškození i větší příkony.

Výstup koncového stupně je přizpůsoben k anténě článkem II. Ladící kondenzátor v anodě je přijímačový typ o kapacitě 500 pF. Počítáme-li se špičkovým příkonem 70 W, je na něm 420 V špičkového napětí, což mezery 0,5 mm vydrží bez průrazu. Je jen třeba opatřit kondenzátor krytem z izolačního mate-

riálu proti vnikání prachu, který se usazuje na deskách a způsobuje průrazy. Sám jsem použil kondenzátor, který má vzdálenost desek jen 0,3 mm, a pro vysílač zatížený anténou zcela vyhovuje.

Použity materiál

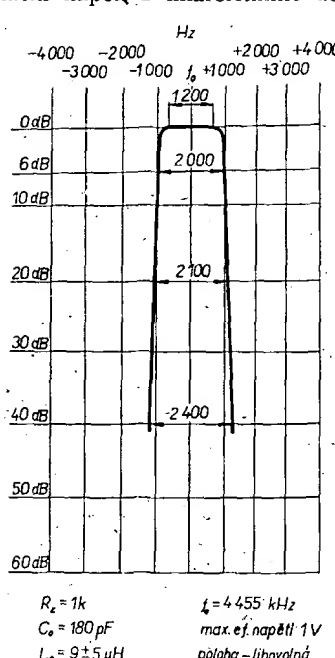
Ladící kondenzátor vstupu přijímače a budiče vysílače je čtyřnásobný, kapacita je 17 až 170 pF; před časem se prodával ve výprodeji. Pochází pravděpodobně z přijímače K12a. Přijímač relé B, C a D jsou malý inkurantní typ se dvěma přepínačními kontakty. Plné je nahradí miniaturní relé, které je k dostání v prodejně Radioamatér v Praze. Relé A a F jsou kulatá střední (Tesla) pro napětí 12 V.

Největší potíže bude dělat krytalový filtr. Sestavil jsem jej z krystalů, které jsou k dostání v prodejně Radioamatér v Praze. Pro filtr s oscilátorem nosné jich stačí pět. Vybereme např. dva s kmitočtem $f = 4\ 454,166$ kHz a tři s nižším kmitočtem $f = 4\ 452,777$ kHz [1]. Dva s kmitočtem $f = 4\ 454,166$ kHz (vyšší) necháme beze změny. Další dva ($f = 4\ 452,777$ kHz) vyměneme z krytu a jódováním upravíme na odstup 1,8 kHz od první dvojice. Krystaly vložíme do krytu, které zapojíme nebo jinak hermeticky uzavřeme. Poslední krystal upravíme jódováním tak, aby jeho kmitočet ležel na kmitočtově nižším boku filtru, 20 až 25 dB pod vrcholém. Kmitočtový průběh takto vyrobeného filtru je na obr. 2. K výrobě můžeme použít kterékoli krystaly, které se v prodejně prodávají.

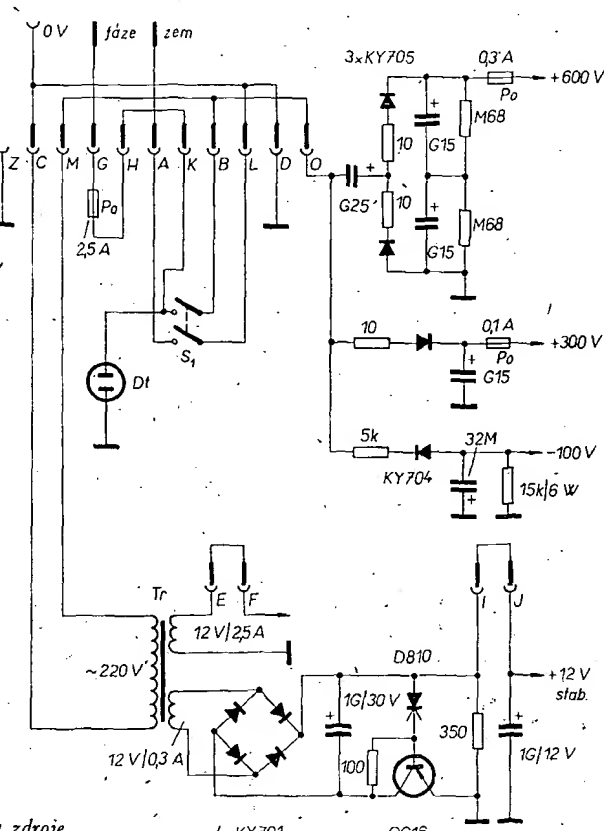
Takto získané horní postranní pásmo směšujeme s kmitočtem VFO, který je:

pro pásmo
3,5 MHz 7 955 až 8 255 kHz,
7 MHz 11 455 až 11 555 kHz,
14 MHz 9 545 až 9 895 kHz.

Jednoduchým výpočtem zjistíme, že vysíláme a tedy i přijímáme na 3,5 a 7 MHz dolní postranní pásmo, na 14 MHz horní postranní pásmo. Obe-



Obr. 2. Kmitočtový průběh filtru



Obr. 3. Schéma zdroje

jdeme se tedy bez přepínacího relé. B v oscilátoru nosné, kde vystačíme jen s jedním krystalem. Ten, komu stačí několik pevně nastavených kmitočtů, může použít místo VFO krystalový oscilátor s krystaly z RM31, jejichž kmitočty jsou v [2].

Ladící kondenzátor VFO volíme co nejjakostnější, s malou vůlí v ložiskách a na keramice. Nejlepší je kondenzátor s frézovaným rotorem a statorem, jehož vnější kapacitu upravíme sériovým kondenzátorem nebo odsoustržením části rotorových plášťů. Celý VFO je třeba stítnit uzavřením do kovového krytu.

Transformátor T_1 má 500 záv. a 2×100 záv. drátu o $\varnothing 0,11$ mm CuP na kostřičce o $\varnothing 5$ mm bez jádra. T_2 má 3×500 záv. drátu o $\varnothing 0,11$ mm CuP na feritovém jádře E-0930016, střední sloupek 5×5 mm. T_3 má 1 200 záv. a vinutí připojené na vstup nfp zesilovače má 1000 záv., obojí drátem o $\varnothing 0,11$ mm CuP na jádře E-0930016.

Vinutí L_1 je na keramice o $\varnothing 45$ mm a má 18 závitů. Odbočka pro 7 MHz je na 11. záv., pro 14 MHz na 5. záv., počítáno od anod E_2 a E_3 . Tlumivka v anodách PA má 35 záv. (vinuto všebe) a 120 záv. (vinuto křížově) na $\varnothing 18$ mm drátem 0,25 CuH, ve dvou sekčích ve vzdálenosti 10 mm. Ostatní vinutí jsou v tab. 1.

Napájecí zdroj je umístěn ve společné skříni transceiveru a jeho schéma je na obr. 3. Stejnosměrné napětí se získává násobením a usměrněním síťového napětí. Transformátor dodává napětí ke žhavení elektronek a napájecí napětí pro tranzistorové obvody. Toto napětí je stabilizováno jednoduchým stabilizátorem. Doutnavka indikuje správné připojení k síti; svítí jen tehdy, je-li zemnice vodič na kostře zařízení. Jen tehdy můžeme zapojit síťový spínač S_1 bez nebezpečí úrazu elektrickým proudem. Na to pozor při použití tohoto nebo i jiného zdroje, kde se usměrněuje napětí sítě!

Aby bylo možné napájení i z akumulátoru, jsou všechna napětí vyvedena na nožovou zásuvku. Na schématu zdroje je zakresleno propojení na síť 220 V. Při bateriovém provozu, kdy chceme využít jen přijímače, připojíme tři ploché baterie na kontakt $J(+)$ a $Z(-)$. Při provozu z měniče se napětí z autobaterie přivádí přes spínač S_1 na žhavení elektronek (F), napájení tranzistorů (J) a na vstup měniče. Střídavé napětí z měniče se přivádí na kontakt O a usměrňuje se obvyklým způsobem jako síťové napětí 220 V. Obvod pojistky připojujeme jen při napájení ze sítě. Při napájení z měniče musí být obvod autobaterie jištěn zvláštním jističem alespoň na 15 A.

Žhavení elektronek je 12 V. Elektronky PA jsou žhavena v sérii, E_1 je žhavena přes odporník $8,2 \Omega / 6$ W. Filtrační elektrolytické kondenzátory ve zdroji vysokého napětí jsou typy WK 704 78, 32/32/20 μ F na 350 V.

Celé zařízení je postaveno na kostře z duralového plechu o rozměrech 300×280 mm. Části s tranzistory jsou na plošných spojích, budič a PA je zapojen klasicky. Stupnice je kruhová, cejchovaná pro každé pásmo zvlášť. Celkové rozměry transceiveru jsou $320 \times 320 \times 130$ mm.

Literatura

- [1] Hloušek, L.: Vysílač pro 145 MHz. AR 11/67, str. 340.
- [2] Váňa, V.: Použití krystalů z RM31 do vysílačů 145 MHz. AR 2/69, str. 74.



Výsledky ligových soutěží za září 1969

OK LIGA

Kolektivity			
1. OK2KZR	629	4. OK1OHH	300
2. OK3KWK	613	5. OK2KFP	268
3. OK1KYS	374		

Jednotlivci

1. OK1AKU	1 206	14. OK3TOA	334
2. OK2BDE	1 135	15. OK3ZIR	332
3. OK2PAE	1 111	16. OK1JDJ	300
4. OK3CFL	957	17. OK1AOU	291
5. OK2HI	794	18. OK3DT	290
6. OK2QX	633	19. OK1AOR	284
7. OK1ATZ	602	20. OK2PDZ	277
8. OK2BPE	504	21. OK2BOT	220
9. OK3ALE	435	22. OK1DOH	216
10. OK2ZU	383	23. OK1DBM	200
11. OK1KZ	372	24. OK1DAV	187
12. OK1APV	353	25. OK1EP	157
13. OK1AOJ	337	26. OK1AMI	143

OL LIGA

1. OL2AIO	414	3. OL1ALM	240
2. OL5ALY	310		

RP LIGA

1. OK1-6701	1 238	3. OK2-17762	405
2. OK1-17354	506	4. OK1-17963	141

První tři ligové stanice od počátku roku do konce září 1969

OK stanice - kolektivy

1. OK3KWK	8 bodů	(1+1+1+1+2+2+2),
2. OK1KTH	14 bodů	(2+2+2+3+1+4),
3. OK1KYS	15 bodů	(3+4+3+1+1+3); následují 4. OK2KFP 21 b., 5. OK1KZR 22 b., 6. OK1KTL 32 b a 7. OK3KIO 38 bodů.

OK stanice - jednotlivci

1. OK2PAE	9 bodů	(1+1+1+2+1+3),
2. OK2BHV	15 bodů	(2+3+3+3+3+1),
3. OK1AKU	24 bodů	(6+4+4+3+3+6+1); následují 4. OK2QX 25 b., 5. OK2BPE 43 b., 6. OK1ATZ 43,5 b., 7. OK2HI 51 b., 8. OK1JKR 60 b., 9. OK1IAG 61 b., 10. a 11. OK1AOR a OK2ZU po 62 b., 12. OK1AOV 76 b., 13. OK1AMI 78 b., 14. OK2BOT 100 b., 15. a 16. OK1DAV a OK1KZ po 115 bodech.

OL stanice

1. OL2AIO	8 bodů	(1+2+2+1+1+1),
2. OL5ALY	9 bodů	(1+1+1+2+2+2+1),
3. OL1ALM	14,5 bodu	(1+2+5+2+3+3+3); následuje OL1ALM 22,5 bodu. Zde je na místě poznámka, že vedoucí stanice OL2AIO navázal již přes 9 tisíc QSO jako OL a do února, kdy mu končí OL-koncese, to chce dotáhnout na 10 000!

RP stanice

1. OK1-13146	6 bodů	(1+1+1+1+1+1),
2. OK1-6701	10 bodů	(1+2+2+2+2+2+1),
3. OK1-17354	19 bodů	(4+2+4+4+3+2); následuje 4. OK1-15835 22 b., 5. OK2-17762 28 bodů.

Byly hodnoceny jen stanice, které během devíti měsíců t. r. poslaly alespoň 6 hlášení a jejichž dopisy byly doručeny do 15. října 1969.

Změny v soutěžích od 10. září do 10. října 1969

,S6S"

V tomto období bylo uděleno 9 diplomů S6S za telegrafická spojení č. 3 918 až 3 926 a 3 diplomu za spojení telefonická č. 878 až 880. V závorce za známkou je uvedeno pásмо doplňovací známky v MHz.

Pořadí CW: OK1AVI (14), G3TIF (14) OK1AWF (14), SM7EFJ (14), OK1FAV (14), OK1ARZ (14), DM3CCM (3,5), DM3SDG a DM2BOB (14).

Pořadí fone: WA9YOU, 4X4HT, IIMOE.

Doplňovací známku za telegrafická spojení na 80 metrech dostane italská stanice 11IZ k základnímu diplomu č. 359.

,100 OK"

Dalších 8 stanic, z toho 5 v Československu, získalo základní diplom 100 OK č. 2 259 až 2 266 v tomto pořadí:

OL6AIU (573. diplom v OK), YU3JS, OK2CIM (574.), OK1DKB (575.), OK3CAN (576.), OK1MAA (577.), W9EZ a DM2BOJ.

,200 OK"

Doplňovací známku za 200 předložených různých lístků z Československa dostala tyto stanice: č. 210 OL6AIU k základnímu diplomu č. 2 259, č. 211 OL1ALM k č. 2 180 a 11IZ k č. 337.

,300 OK"

Doplňovací známka za 300 potvrzených spojení s OK staniciemi byla zaslána stanici OL6AIU s č. 96 k základnímu diplomu č. 2 259, č. 97 stanici 11IZ k č. 337.

,400 OK"

Doplňovací známku č. 50 dostala stanice OL6AIU k základnímu diplomu č. 2 259, č. 51 OK2BMH k č. 1 944, č. 52 DL1ZV k č. 2 156, č. 53 OK1KZD k č. 1 437 a č. 54 11IZ k č. 337.

,500 OK"

Dalším „pětistovkarem“ je OL6AIU. Dostane diplom č. 34. Blahopřejeme!

,KV 150 QRA"

Podle pravidel pro tuto novou soutěž byly vydané diplomy v tomto pořadí:

č. 1 OK1IQ, Laco Didecký, Seč u Chrudimi, č. 2 OK2QX, ing. Jiří Peček, Přerov, č. 3 OK1ATZ Jan Ježdík, Praha, č. 4 OK1KTH, Prosečné, č. 5 OK3BG, Tibor Polák, Nové Zámky, č. 6 OK2BOT, Jaromír Popolek, Hranice, č. 9 OK1DVK, Vojtěch Krob, Praha, č. 10 OK1AR, Zdeněk Kopacký, Habartov, č. 11 OK3QQ, Jozef Oravec, Nové Město nad Váhom, č. 12 OK3YAK, Vladimír Schwarzbacher, Hronec, č. 13 OK1FF, Vladimír Kott, Praha.

,KV 250 QRA"

Diplom s č. 1 získal OK1IQ, Laco Didecký, Seč.

,P75P"

3. třída

Diplom č. 296 byl přidělen stanici OK2BIP, A. Brennerovi, Hodonín.

,P-400 OK"

Doplňovací známka s č. 4 byla zaslána stanici OK1-8188 k základnímu diplomu č. 171. K překnemu úspěchu gratulujeme.

* * *

Byly vyřízeny žádosti doslé do 15. října 1969.

OK, OL a RP LIGA – pravidla platná pro rok 1970

1. Soutěž je celoroční, začíná 1. ledna a končí 31. prosince 1970.

2. Do soutěže se započítávají všechna úplná spojení navázána během jednoho kalendářního měsíce – bez ohledu na způsob (fone, CW) – na krátkých vlnách. Každý nový prefix se hodnotí 5 body, opakován prefix 1 bodem. Prefixy se počítají podle soutěže WPX.

3. Soutěží zvlášť kolektivky a jednotlivci. Výsledky budou měsíčně oříškovány v časopise Amateřské rádio.

4. Každý měsíc bude v obou kategoriích stanoven pořadí podle součtu bodů dosažených v tom kterém měsíci a označený také tri nejlepší stanice od začátku roku.

5. Měsíční hlášení, pokud je součet bodů v jednom měsíci nejméně 100, se posílá vždy nejdříve do 10. následujícího měsíce na adresu pořadatele, uvedeného na zvláštních tiskopisech, které zašle na požádání zdarma výhradně Ustřednímu radioklubu, Praha 4-Branišov, Vlnitá 33.

6. Aby mohla být stanice hodnocena v konečném celoročním pořadí, musí zaslat během roku nejméně šest měsíčních hlášení.

7. Pořadí vítězů – v každé kategorii zvlášť – se na konci roku stanoví tak, že se seče číslice označující pořadí (tj. umístění) stanice za nejlepších šest měsíců. Vítěz stanice s nejmenším počtem bodů.

8. V každé kategorii dostanou první tři věcnou cenu a prvních deset diplom.

OL LIGA

Tato soutěž je přístupná jen stanicím OL. Pravidla jsou podobná jako u OK ligy s tím rozdílem, že soutěží jen jednotlivci a jen v pásmu 160 m. Měsíční, průběžné a celoroční hodnocení je jako u OK ligy. Na konci roku dostanou první tři věcnou cenu, prvních deset diplom.

RP LIGA

Soutěž je přístupná všem registrovaným posluchačům, kteří nemají povolení na provoz amatérského vysílače OK nebo OL. Jejich úkolem je odposlouchat a zapsat do staničního deníku co nejvíce počet oboustranných spojení vysílacích stanic, přičemž se každý nový prefix **přímo poslouchané stanice hodnotí 5 bodů, opakován prefix 1 bodem**. Ostatní podmínky jsou stejné jako u předcházejících kategorií.

Na konci roku dostanou první tři věcnou odměnu, prvních deset diplom.

Všeobecná ustanovení

1. Stanice, která zašle během kalendářního roku méně než čest hlášení, nebude hodnocena. V úvahu mohou být brána jen hlášení, která podle poštovního razítka budou podána na poště vzdály od 10. každého měsíce.

2. Minimální hranice pro měsíční hlášení je u všech kategorií stanovena na 100 bodů; s menším počtem bodů nebude brána v úvahu.

3. Měsíční i celoroční výsledky otiskuje Amatérské radio.

4. Ustřední radioklub si vyžádá na podnět pořadatele staniční deníky ke kontrole přímým vyžádáním účastníka; jinak se deníky nezasílají!

Jak to bude v roce 1970 s dlouhodobými soutěžemi

Ponukouzlo pozmeněná pravidla ligových soutěží přinášíme na jiném místě v tomto čísle. Ke změnám došlo v bodovém hodnocení, kde místo 3 bodů za každý nový prefix se od 1. ledna 1970 bude počítat 5 bodů. Bude tedy třeba být na pásmu vybravější a neopakovat do omezení spojení se stejnými prefixy. Tím se soutěž zrychlí a stane se zábavnější. Celá pravidla ligových soutěží přinášíme na četné žádosti nových majitelů konceši, pro které je ročník Amatérského radia 1966 nedostupný.

Krátkodobé závody

Jejich pravidla budeme uveřejňovat vždy tak, aby se zájemcům o závody dostala včas do ruky. Proto dnes upozorňujeme na:

„Závod třídy C“. Ten se letos koná jako obvykle druhou nedělí v lednu, tj. 11. ledna 1970. První část závodu je od 05.00 do 07.00 SEC, druhá od 07.00 do 09.00 SEC. Kategorie: jednotlivci, RO kolektivních stanic, OL, posluchači. Pásma 1,8 a 3,5 MHz s příkonem podle povolovacích podmínek a jen CW. V pásmu 3,5 MHz je dovoleno pracovat v kmitočtovém rozsahu 3 540 až 3 600 kHz. Výzva do závodu je „CQ C“. Předává se šestimístný kód složený z RST a čísla spojení, např. 569091. Bodování: 3 body za úplné spojení, za chybějící zájemce bod 1 bod. Násobitelem je každá nová značka stanice, s níž bylo navázáno spojení během závodu, přičemž pásmo nerozhoduje. V každé části závodu je možné pracovat s toutéž stanicí na každém pásmu jen jednou. Konečný výsledek tvoří součin součtu bodů z obou pásem (u OL jen z 160 m) a součtu násobitelů.

Deník se piše za každé pásmo zvlášť; ostatní podle Všeobecných podmínek.

Jakékoli překročení soutěžních a zejména povolovacích podmínek (kmitočet, příkon) bude trestáno příjemněm disqualifikací.

„Telegrafní pondělky na 160 m“. Pozor! Pravidla zůstávají stejná jako v roce 1969, závod však bude začínat ve 20.00 hod., a končí již ve 21.00 SEC každě druhá a čtvrté pondělí. V lednu 1970 tedy ve dnech 12. a 26. ledna. Ostatní podmínky jsou v AR 1/68, str. 37.

„QRPP závod“ se v roce 1970 koná 9. února od 15.00 do 17.00 SEC ve dvou etapách po jedné hodině v rozsahu kmitočtů 3 540 až 3 600 kHz, jen telegraficky. Výzva do závodu je „CQ TR“ a vyměňuje se kód složený z okresního znaku a RST (např. BHV589). Za úplné spojení se počítá jeden bod, za neúplné spojení nebo za spojení s chybou ve značce nebo kódu se nepočítá žádný bod.

Spojení s toutéž stanicí je možné ve druhé části závodu opakovat. Násobitelem je každý nový okres včetně vlastního, s nímž stanice během celého závodu pracovala. Součet bodů z obou etap, násobený počtem okresů, s nimiž bylo během celého závodu navázáno úplné spojení, dává konečný výsledek. Posluchači se mohou zúčastnit na stejných podmínek. V závode platí Všeobecné podmínky.

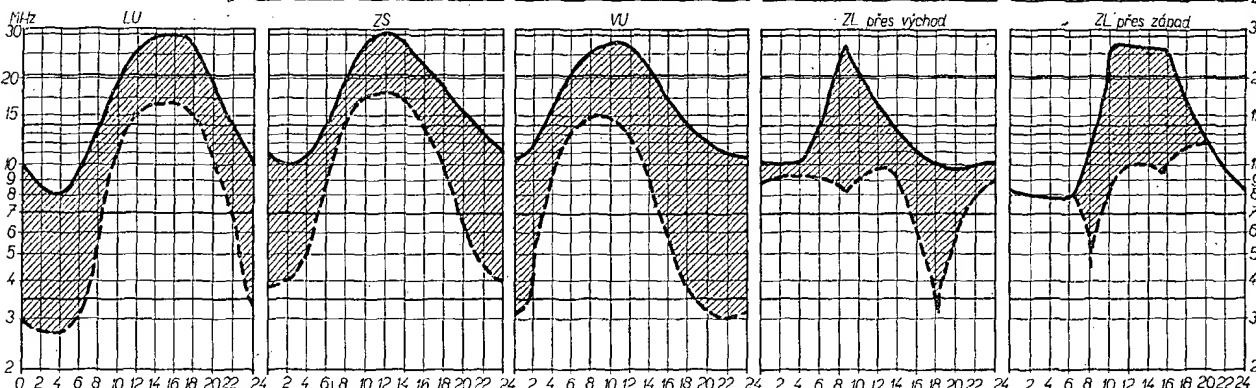
Deníky, které nebudou obsahovat všechny předepsané údaje včetně výpočtu výsledku, podpisu a čestného prohlášení, že byl použit příkon 1 W a dodrženy i ostatní soutěžní a povolovací podmínky, jakož i pozdě odeslané deníky nebudou hodnoceny.

K dalším závodům se vrátíme v dalších číslech AR.



na ledn 1970

Rudriku vede
dr. Jiří Mrázek,
OK1GM



Co nás čeká v roce 1970

Sluneční činnost je již definitivně za svým maximum, ale nezdá se, že bude rychle slábnout, spíše naopak. V době uzávěrky tohoto čísla se hodnoty relativního čísla udržovaly stále kolem 100 nebo dokonce nad 100 a nejevily klesající tendenci. Poslední maximum sluneční činnosti bude zřejmě velmi plochá a proto můžeme počítat jen s nepatrným poklesem na hodnotu 80 koncem roku 1970.

Z toho ovšem výplývá, že podmínky šíření krátkých vln na velké vzdálenosti budou i v příštím roce poměrně dobré; budou se v mnoha podobat podmíinkám roku 1969. Pásma 14, 21 a 28 MHz budou nejlepší kolem obou rovnodenností a dosáhnou i po celé zimní období (poslední dva z nich samozřejmě hlavně odpoledne a v podvečer). Pásma 7 MHz bude výhodně odpoledne, v noci a k ránu, ale i na 80 a 160 m se můžeme dočkat dálkových překvapení, zejména v druhé polovině noci

a k ránu, především v zimě a na jaře. Pásma tichá na 80 m, která nám tolik narůzuji provoz na blízké vzdálenosti, nebudou ještě tak velká. Musíme však s nimi počítat v zimních měsících ve druhé polovině noci a někdy také večer kolem 18 až 21 hodin. Pásma 10 m bude pro DX-provoz v letních měsících téměř uzavřeno, ožije však častými short-skipovými signálními díky letní mimofádně vrstvy E; bude to zejména od konce května do poloviny srpna, kdy se současně objeví přiznivé podmínky i pro zachycení vzdálených televizních vysílačů v prvním pásmu.

Celkově lze tedy očekávat i v nadcházejícím roce dobré podmínky, takže ruší se zařízení pro pásmo 10 m bylo určitě ještě předčasně.

Předpověď na ledn 1970

Charakteristickou vlastností budou pásma ticha na pásmu 3,5 MHz a poměrně dobré podmínky na pásmu 21 MHz. Provoz na krátké vzdálenosti v pásmu 80 m bude narušován pravidelně ve druhé polovině noci a zvláště asi hodinu před východem Slunce. Kromě toho se v některých dnech vyskytne větší pásmo ticha i kolem 18 až 19. hodiny. Potom bude zvolna ustupovat, až kolem půlnoci prakticky vymizí, aby se později objevilo

znova. Tento neobvyklý půlnocní jev je způsoben určitým pomalým „kmitáním“ elektronové koncentrace kolem jakési střední hodnoty. Kromě toho je třeba připomenout, že na pásmu 80 m se v některých dnech (průměrně lze očekávat 2 až 4 takové dny v měsíci) objeví v denní době mimorádně velký útlum, což poznáme na zmenšení dosahu vysílače.

Dopravní podmínky na 21 a 28 MHz souvisí se sluneční činností, která stále ještě zůstává intenzivní. Zejména odpoledne a v podvečer lze v některých dnech využít těchto pásem k DX-provozu, je však třeba počítat s rychlým ukončením příznivých podmínek a nedělat proto příliš dlouhá spojení. Někdy stačí jedna až dvě minuty k tomu, aby protistanice zmizela. Jistě lze tedy i září zažít a neuvedomili byste si přítom, že v zimních měsících klesá večer elektronová koncentrace vrstvy F2 a tedy i hodnota nejvyššího použitelného kmitočtu pro daný směr za celý rok nejrychleji. Proto se brzy pásmo 28 MHz a krátce nato i 21 MHz uzavřou. Dokonce i pásmo 20 m bude ve druhé polovině noci prakticky nezpůsobilé pro pravidelná spojení na zámořské vzdálenosti. Pásma 40 m to však během nočních hodin plně vynahradí a lovci DX-stanic si přijdou na své dokonce i na 80 a 160 m, bude-li celá cesta probíhat noční polokouli Země.



Rubriku vede ing. Vladimír Srdík, OK1SV

DX-expedice

Velká expedice na ostrov Kure byla ohlášena na listopad 1969. Pořadatelem měl být KH6GKV a značka měla být lomena /KURE/. Měla pracovat na všech pásmech, CW i SSB. Pokud se s ní někomu podařilo navázat spojení, zaslal QSL-listek na adresu: 530 Pelliér Ave, Honolulu, Hawaii 96818; je třeba přiložit SASE nebo SAE a dva IRC.

VE3EUB slibil novou expedici na ostrov St. Kitts, Lucia, St. Martin, Monserrat, Sin Marten a Anguilla. QSL na jeho domovskou adresu.

Letos odložená expedice na Franz Josef Land, která má pracovat zejména SSB, je plánována na březen až duben 1970.

XE1PJL/XE4 byl opět na ostrově Revilla Gigeno. Zdržel se tam však jen jediný den (2. 9. 69) a pracoval jen na 3,5 a 7 MHz telegraficky, tj. pomohl hlavně amatérům USA k bodání do 5B-DXCC. QSL na jeho domovskou adresu.

PJ8MM byla značka expedice na ostrov St. Martin ve dnech 25. až 26. 10. 1969. Posádku tvořili velmi silný tým: K9RHN, W9ZRX, W9ZTD, K4MZU, W9POK, W2JAE, K4BAI a WA5GFS. Pracovali na pásmech 28 až 3,5 MHz, na 7 MHz dokonce s rotacní směrovkou. Je pravděpodobné, že tato expedice používala ještě značky PJ0MM a PJ8DZ.

Nepotvrzená zpráva uvádí expedici WB6URS/MM, která prý má navštítit ZD5, TU2 a GW8.

Další expedice na ostrov Coco (TI9) se měla uskutečnit první týden v prosinci 1969 pod vedením TI8JI. Kolem 26. ledna 1970 tam má jet druhá expedice pod vedením K6JGS/HK3, který zatím shání další zkušené operátory.

Několikrát ohlášená a opět odvolaná expedice na ostrov Bajo Nuevo (HK0) se přeče jen uskuteční v březnu 1970.

Skupina amatérů v čele s VS6AA oznamuje, že se přeče jen velmi ráda pokusila o expedici na Spratley Island (IS9), ještě v prosinci 1969. Obavají se však, jaké bude jejich přijeti domorodců.

Během CQ-WW-DX Contestu 1969 měla pracovat skupina vedená W3MSK také pod značkou PJ8MM (ve třídě více operátorů). Tato značka je pravděpodobně „pujčovaná“ všem expedicím na tento ostrov.

Zprávy ze světa

Taiwan má další aktívny stanici – značku BV1USD, která tam pracuje již od 31. srpna 1969, obvykle na kmitočtu 14 270 kHz SSB. Občas vysílá i telegraficky na dolním konci pásmu.

Podle nepotvrzených zpráv z pásmech pracoval prý XT2AA nějaký čas z republiky Malí jako TZ2AA. Manažerem je WA5REU.

CQ-SSB diplomu za 100, 200 a 300 zemí 2 × SSB vydává opět po kratičké přestávce časopis „CQ“. Země pro ně se shodují se zeměmi pro DXCC, který však tyto diplomy nenahrazuje.

Portugalské Guineu bude opět lépe dosažitelná. Z této poměrně velmi obtížně dostupné země bude od ledna 1970 pracovat CT1FL pod značkou CR3FL. Také tamní CR3DK oznamuje, že začne opět vysílat po návratu z dovolené.

Galapágys reprezentuje již delší dobu jen HC8FN, který se nyní zaměřil na pásmo 7 MHz. Vysílá většinou kolem 09.00 GMT SSB na kmitočtu 7 225 kHz.

Zprávy o nových BY-stanicích v Číně se začinají potvrzovat. Tak na East-DX-Contestu pracoval stanice BY5BB telegraficky na kmitočtu 14 025 kHz kolem 13.00 GMT.

PY7AWD, jehož QTH je Fernando Noronha Island, byvá slyšet i u nás kolem 02.30 GMT na kmitočtu 3 509 kHz nebo 7 012 kHz.

Také 8RIJ pracuje ve stejnou dobu telegraficky na kmitočtech 3 505 nebo 7 005 kHz. Z New Hebrides se po delší přestávce opět ozval YJ8JM na kmitočtu 14 040 kHz kolem 7.00 GMT.

Není však snadné se ho dovat pro velké rušení stanicemi, které ho volají.

7P8AB pracuje nyní i na kmitočtech 7 002 nebo 7 005 kHz telegraficky od 05.00 GMT.

VP8KO (South Orkney) oznamuje, že v současné době pracuje i na kmitočtech 7 005 nebo 3 505 kHz pro 5B-DXCC. Na stejných kmitočtech pracuje i VP8FL na Falkland Islands. Obvykle však najdete VP8KO navečer na 28 MHz SSB.

QSL-informace: DL7FT vyrábíte nyní QSL-agendu této stanicí: EA6AR, EA6AS, EA6BG, EA6BH, F9UC/FC, HB0LL, OY2A, TU2AY, TU2AZ, TU2BB, 3A2EE, 3A0CU, 3V8BZ, KL7EBK, KR6JT, KZ6JT, KZ5EK a W4UAF/KH6. QSL pro 9X5AA zasílejte výhradně přímo na adresu:

Leo G. Gyr, US Ambassador in Rwanda, dale: ZC4AK a ZC4TK na WA2CMW. ZC4CB na W2CTN.

Rozmístění stanic v Antarktidě: VP8PL je na Falklandech, VP8KO, VP8JH a VP8QJ jsou na South Orkneys, VP8KQ, VP8JI, VP8JG, VP8JW a VP8KN jsou přímo v Antarktidě.

Somálský reprezentují v současné době dvě stanice: 6O1KV na kmitočtu 14 180 kHz kolem 14.00 GMT a 6O1GN na kmitočtu 14 225 kHz, oba s 1000 W.

Ke změně prefixu má dojet i ostrova Anguilla, který měl dosud používat značku VP2K (což se plete se St. Kitts Island). Nyní má Anguilla používat prefiks VP2H. Aby se to ještě víc popletlo, právě tam pracuje nějaká skautská expedice pod značkou VP2GB!!

Na ostrově Rhodos jsou t. č. dvě aktivní stanice: SWOB a SVOWB a SVOWA.

Piráti se nám opět utěšeně rojí: kromě již oznámeného ZM7ES se objevuje XV5X, HVOAP, zneužita byla i značka FL8M (v srpnu 1969), „černochem“ je i 7XOV na 7 MHz a nejnověji byly označeny i titul další výtečníci: XZ2DW, BV2USV a ZA2VR.

VK9XI je Christmas Island, VK9WD je New Guinea, VK9LB je Norfolk Island a VK9KY je Cocos Keeling Island.

JX2XK pracuje z Bear Island, ovšem neplatí již dávno za samostatnou zemí DXCC, ale jen za Swalloward.

VP2DAJ byl opět zaslechnut z ostrova Dominica na kmitočtu 14 189 kHz. Jde o expedici, nebo je tam stabilní?

Na Novém Zélandu došlo ke změně prefixu, a to iž od 1. října 1969 do 31. 12. 1970 u příležitosti dvoustého výročí přistání kapitána Cooka v roce 1769. Rada ZL-STAR změnila značky na ZM1, 2, 3, 4 a 5. QSL-listky se zaslaly na jejich původní značky. Při této příležitosti jsem byl požádán o zveřejnění pravidel nového, příležitostného diplomu, nazvaného ZM-Cook Bi Centenary Award. Žadatel musí mít spojení z 50 různými ZM-stanicemi v uvedené době, a to s prefixy ZM1 až ZM4 (ZM5 je Antarktida). K žádosti je třeba připojit seznam stanic a všechna potřebná data. QSL se nevyžaduje, musí však být zasláno potvrzení URK. Diplom stojí 3 IRC. K diplomu budou vydávány ještě kupony za CW nebo fone a za jednotlivá pásmá.

TR8DG, t. č. jediná dosažitelná stanice v Gabonu, pracuje zajemná SSB na kmitočtu 21 275 kHz. Je to bývalý TN8AA a udatná adresu: P. O. Box 356, Libreville, Gabon. Je vásnivý filatelistou a jeho první zaslálené QSL-listky jsou vždy filatelistickým skvostem.

VR1Q na ostrově Tarawa (Gilberts Islands) se objevil na kmitočtu 21 219 kHz po 04.00 GMT a říkal, že co nejdéle dostane Quad, takže bude mit konečně mnohem silnější signál.

Na 3,5 MHz se již objevují pěkné DX-stanice, např. T1SEP na 3 805 kHz, CT2AT (3 505 kHz), KZ5II (3 507 kHz), 9Y4AA (wkrd OK1STU), VP9GJ (wkrd OK1VDK), PY7AWD z Fernando Noronha Isl., ZL3GQ, 5Z4LY, EA9NG, CE8AA a W8XXX. Podívejte se na toto pásmo občas v noci a časné ráno. Evropská síť, pomocí níž se lze dovolat, pracuje denně na 3 798 kHz SSB.

ZD5B pracuje na 14 MHz, převážně SSB na kmitočtu 14 234 kHz v časných odpoledních hodinách.

CEOAE (klubovní stanice na Easter Island) je pravidelně každé pondělí na kmitočtu 21 403 kHz od 23.00 GMT. QSL-listky opravdu vyzvánějí a za každé spojení.

Tom, VR6TC, pokračuje ve svých pověstných skedech: na kmitočtu 22 223 kHz od 00.00 GMT na, 21 350 kHz od 21.00 GMT vždy ve čtvrték a od 06.00 GMT ve středu. Objevuje se už i na CW, kde s ním měl spojení OK1BP!

První diplomy 5B-DXCC byly již vydány. Číslo 1 dostal W4QCW, č. 2 DL7AA a č. 3 WIEWT – dokonec jen za telegrafii. Další žádosti však jsou již na cestě!

VK9RJ na ostrově Nauru prosi o zaslání QSL-listků jen průměnou na adresu: R. J. Wirth c/o OTC, Nauru Island, Central Pacific. K6UJW touží už neni jeho manažerem.

Také značce 7P8AR je třeba zasílat QSL-listky přímo, neboť jeho bývalý manažer W4BRE přestal tu funkci vykonávat.

Na ostrově Tristan da Cunha jsou t. č. jen dvě aktívny stanice: ZD9BM a ZD9BN. Alan, ZD9BE, jež vrátil domů.

Značka KM6BI se opět objevila z Midway Isl. Má nového operátora, který nyní vyrábí zdržené QSL-listky za svého předchůdce na této stanici. Adresa je: RMC Robert Cormick, Amateur Radio Station KM6BI, FPO San Francisco, Calif., 96614, USA.

Brunei bude brzy úplně opuštěná: VS5TJ a VS5MH odejeli domů již v říjnu 1969, poslední – Erik, VS5PH – oznamuje, že se vrací v příštím roce.

CE9AT má pravidelné skedy se svým QSL-manažerem CE3ZN každý pátek ve 21.55 GMT na 23 185 kHz. Po skedech je možné s ním pracovat.

Do dnešní rubriky přispěli: OK1ADM, OK1ADP, OK2QR, OK1HA, OK2BRR, OK3BG, OK1DVK a OK1KVB. Zprávy opět zasílejte do osmého v měsíci na adresu: Ing. Vladimír Srdík, P. O. Box 46, Hlinsko v Čechách.



Radio (SSSR), č. 9/69

Vertikální anténa pro pět pásem – Signální generátor se čtyřmi tranzistory – Budík SSB s velkou účinností – Ztrojovač na 430 MHz – Opravy televizních přijímačů – Ochrana tranzistorových stabilizátorů – Přenosný tranzistorový přijímač – Měřicí přístroje a měření – Měniče kmitočtu s dynamickým ovládáním – Doutnavka ve fotorele – Dvojtranzistorový přijímač – Tranzistorový měřič kmitočtu – Trojité Cubical Quad – Přehled usměrovacích diod středního výkonu.

Radioamatér (Jug.), č. 9/69

Moderní elektronický klíč MM-10 – Přijímač-vysílač pro dálkové ovládání – Změna kmitočtu oscilátoru křemíkovou diodou – Swiss Quad – Generátor napětí schodovitého průběhu jako dělič kmitočtu – Nf zesilovač s komplementárnimi tranzistory – Dvojtranzistorový přijímač – Tranzistorový měřič kmitočtu – Trojité Cubical Quad – Přehled usměrovacích diod středního výkonu.

Radioamatér (Jug.), č. 10/69

Dekadicí systém ke kalibraci – Jakostní přijímač pro amatérská pásmá – Konvertor pro příjem signálů Apolla – Polovodiče, základy fyziky a použití – Učte se a hrajte si s námi (9) – Základní typy antén – Malý monitor modulace – Čtyřkanálový přijímač pro dálkové ovládání – Tranzistorový regulátor teploty – Křemíkový tranzistor jako Zenerova dioda.

Funkamatér (NDR), č. 9/69

Amatérský dozvuk – Úprava přijímače Selga pro příjem krátkých vln – Elektronický stěrač do auta – Nabíjecí akumulátory s vypínací automatickou – Zkoušec tranzistorů – Naše první zapojení pro KV – Tranzistorový zesilovač ve třídě A s krouzovým pracovním bodem – Stabilní konvertor pro KV se synchronizovaným oscilátorem – Dvojčinný koncový zesilovač s transformátory K40 a K41 – Určení svodového odporu elektrolytických kondenzátorů – Tranzistorový přijímač pro pásmo 20 m, SSB – Tranzistorový transceiver pro všechna amatérská pásmá SSB (dokončení) – Magnetofon Tesla B47 – Jednoduchý elektronický klíč – Zlepšení konvertoru pro pásmo 2 m.

Radio, Fernsehen, Elektronik (NDR), č. 17/69

Operační zesilovače (1) – Úvod do číslicové techniky (2) – Nové generátory pro pásmo GHz – Informace o polovodičích (60), výkonové tranzistory GD240 až GD244, germaniové diody GAY60 až GAY64 – Principy přenosu barevné televize – Kolorimetrie (1) – Soustava barevné televize SECAM (dokončení) – Technologie MOS – Výpočet antén Yagi (2) – Tranzistorový pulsní osciloskop CI-35.

Radio, Fernsehen, Elektronik (NDR), č. 18/69

K technice paměti s feritovými jádry (1) – Přijímací antény pro UKV – Úvod do číslicové techniky (dokončení) – Informace o polovodičích (61), germaniové diody GAY240 až GAY244 – Kolorimetrie (2) – Výpočet antén Yagi (dokončení) – Operační zesilovače (dokončení) – Číslicové křemenné hodiny.

Radioamatér i krátkofalowiec (PLR), č. 9/69

Amatérský magnetofon – Televizní přijímač Granit – Měření statických parametrů tranzistorů – Rezonanční obvody – Tranzistorový přijímač.

Rádiotechnika (MLR), č. 10/69

Zajímavá zapojení s elektronikami a tranzistory – První integrovaný obvod Tungsram – Jednoduchý výpočet filtrů Collins – VFO pro 3,5 MHz – Teorie směšování – Vliv slunečních skvrn na šíření elektromagnetických vln – Měřicí generátory KV – Přijímač Sanyo 9-TP 20 – Stabilizace kmitočtu oscilátorů VKV – Nf zesilovač bez transformátorů – Výpočet obvodu stejnosměrného proudu.

Radio i televizija (BLR), č. 7/69

Soustava barevné televize SECAM – Rentgenové záření v barevných televizorech – Tranzistor FET pro mikrovlnná pásmá – Tranzistorový voltmetr – Občanská radiostanice RSD 64-AM – Časové relé s tytanovem – Anténa Inverted V – Detektor AM a produkt-detektor pro amatérský přijímač.

Funktechnik (NSR), č. 17/69

Obrazový zesilovač v moderním barevném televizním přijímači – Integrované maticové obvody

V LEDNU



se konají tyto závody (čas v GMT):

Datum, čas	Závod	Pořadatel
3. 1. 19.00—21.00	Závod OL	ÚRK
11. 1. 05.00—09.00	Závod třídy C	ÚRK
12. 1. 19.00—20.00	Telegrafní pondělek	ÚRK
18. 1. 10.00—12.00	Provozní aktiv na 145 MHz	ÚRK
26. 1. 19.00—20.00	Telegrafní pondělek	ÚRK

V lednu se koná také závod CQ WW 160 m, jelikož termín se nám však do uzávěry nepodařilo zjistit.



v barevném televizním přijímači – Dálkové ovládání pro barevné televizní přijímače – Integrovaný obvod pro demodulační kmitočtové modulovaných signálů – Synchronizační obvody bez nastavování – Jakostní rozhlasový přijímač Opus Studio 201 firmy AEG-Telefunken – Alpha 3, první aktívni autoanténa na světě – Generátor napětí trojúhelníkového, pilovitého a pravoúhlého průběhu – Logické obvody – Amatérský příjem signálů meteorologických družic – Německá rozhlasová výstava Stuttgart 1969.

Funktechnik (NSR), č. 18/69

Dnešní stav barevné televize v USA – Spolehlivost televizních přijímačů – Obrazový zesilovač v moderním barevném televizním přijímači – Lipský podzimní veletrh 1969 – Drátové spoje bez pájení – Tranzistorový milivoltmetr – Elektrotechnické požární ochrany – Logické obvody.

INZERCE

První tučný řádek Kčs 20,40, další Kčs 10,20
Příslušnou částku poukážte na účet č. 300-036
SBCS, Praha, správa 611, pro Vydavatelství
MAGNET, inzerce, Praha 1, Vladislavova 26.
Uzávěrka 6 týdnů před uveřejněním, tj. 14. v měsíci. Neopomeneť uvést prodejní cenu.

PRODEJ

Nové nepoužité AF139 (130), AF101 (45); výkon tranzistor 20 W (60). J. Rímanek, Petřvald 819, o. Karviná.

Masky na obr. 59 cm (Orchidea) (80), týristory 11 A (200). A. Patera, kolej Strašov, bl. 4/417, Praha 6.

Součástky na telev. Camping – mf dil (1 000), rozkladý (740), obrazovka 28 (430), vf trafo (150), tranzistor KU605 (200), vychyl. cívky (130), kálový volný (700), tlumivka (40), síťové trafo (100), KVK dil Akcent (300), vše nové. M. Cmunt, Praha 4-Pankrác, Kotorská 1575.

Reproduktoře ARO811 ø 35, 2 x ARO711 ø 27, nová membrána. J. Korbelář, Uvaly 609 u Prahy.

Gramofon FUGA, dobrý stav, málo používané (1 000). J. Kobr, Proseč 4, p. Rovensko p. Tr., o. Semily.

Tranz. amat. zesilovač 10 W (1 000), 4-rychl. gramofonové šasi (200), gramodesky 45 ot./min. (á 2). J. Kobr, Proseč č. 4, p. Rovensko p. Trosk., o. Semily.

DPS STROJ CREED STR. KOMPL. (600), krystal 7,850 – 7,950 MHz (á 20), RE125C (á 80), E180F (á 25), RL12P35, PCC88 (á 20), LS4 (á 15), RV12P2000 (á 8), AZ1, 6Z4, EL84, 6K7 (á 5), RX RSI připr. k úpr. na 3,5 MHz (150), výb. RVL 250 w vchod. pro hor. sl. (80), lit.-SIX „Opr. televis“ (10) KOL. „Soudob. radioelektr.“ (15), Cajka „Výp. zákl. vý obv.“ (15). Potřebujete krytiny z RM31 A4000(5) větší množ., 3,500 – 24,500 – 25,000 – 25,500 MHz. J. Hanzl, Břeclav, Finskojslova 46.

Ss V-A-mV, 59° rozsahů (550), µA-metr 3 rozs. 0-50, 0-100, 0-50 µA (350). J. Šafařík, Tuchoňský 64, o. Ústí n. L.

Elektron. voltmetr Philips (300), tónový generátor Philips (300); tranzist. předzesilovač pro stereo s přenoskou Shure V-15, novou (300). Fr. Tichý, Zborovská 25, Praha 5.

TX 80-10 m se zdrojem, vše v panelu (2 200). Ing. Štanc, Příbram VII/46.

KOUPĚ

Torn Eb, R3, J. Tesař, Kostelní, Vel. Meziříčí.
Měř. př. UNIMET. J. Klusáček, Hornická 313, Stochov, o. Kladno.

RŮZNÉ

Navijím a převijím trafa a tlumivky. V. Svoboda, Radotín, Riegrova 373/11.

Neslyšíte v autě svůj „tranzistorák“?

V prodejnách TESLA vám v nejbližší době předvedou přídavný zesilovač AZA 010, který je přizpůsoben hlavně pro vozy s baterií 12 V se záporným (–) pólem na kostře vozu. Je však použitelný i ve vozech s baterií 6 V, stejně jako ve vozech s „ukostřeným“ kladným (+) pólem baterie.

Zesilovač může být ve voze volně uložen i vestavěn. Má dvě připojovací stíněné šnůry – jednu s koncem pro přívod napětí a pro připojení na kostru, druhou šnůru pro připojení k tranzistorovému přijímači. Příslušenství: držák pro připevnění ve voze, závitořezné šrouby do plechu a šrouby s maticemi (á 2 ks), podrobný návod.

TESLA

DOBRÉ VÝROBKY
DOBRÉ SLUŽBY

